

FAKULTA STROJNÍHO INŽENÝRSTVÍ
VYSOKÉHO UČENÍ TECHNICKÉHO V BRNĚ
ÚSTAV STROJÍRENSKÉ TECHNOLOGIE
Technická 2896/2, 616 69 Brno

Prof.Ing.Milan Forejt, CSc.
Doc.Ing.Anton Humár,CSc.
Doc.Ing.Miroslav Píška, CSc.
Dr.Ing.Libor Janíček

EXPERIMENTÁLNÍ METODY

HE1, HE1-K, (HE2)
SYLABUS

pro magisterský studijní program 23-01-T Strojní inženýrství
obor strojírenská technologie – obrábění – tváření, svařování - management,
II.stupeň. 2.ročník magisterského studia



Brno, říjen 2003 (dopl.2017)

OBSAH

| | strana |
|---|-------------------------------------|
| Osnova předmětu | 3 |
| Výpis kurzu VUT v Brně - karta předmětu he2 | 4 |
| 1. Měření opotřebení řezného nástroje. | Doc.Ing. Anton Humář, CSc. 7 |
| 2. Zpracování závislostí trvanlivost - řezná rychlosť. | Doc.Ing. Anton Humář, CSc. 15 |
| 3. Měření teploty řezného nástroje. | Doc.Ing. Anton Humář, CSc. 21 |
| 4. Analýza řezných vlastností vrtáků z rychlořezné oceli s PVD povlaky. | Doc.Ing. Miroslav Píška, 32 |
| 5. Analýza řezných vlastností hrubovacích fréz. | Doc.Ing. Miroslav Píška, CSc. 41 |
| 5.a Určení kroutícího momentu při řezání závitů maticovým závitníkem. | Doc.Ing. Miroslav Píška, 45 |
| 6. Technologické zkoušky objemové tvaritelnosti. | Dr.Ing.Libor Janíček 52 |
| 7. Zkoušky pro zjišťování koeficientu tření s vlivem maziv. | Dr.Ing.Libor Janíček 60 |
| 8. Zjišťování rázových sil a napětí při Taylorově testu. | Prof.Ing.Milan Forejt, CSc. 58 |
| 9. Provedení Taylorova testu a jeho vyhodnocení. | Prof.Ing.Milan Forejt, CSc. 73 |
| 10. Zjišťování dynamických mechanických vlastností materiálů metodou Hopkinsonova testu . | Prof.Ing.Milan Forejt, CSc. 79 |
| | |

Osnova předmětu

Magisterský studijní program 23-01-T Strojní inženýrství
obor strojírenská technologie –obrábění – tváření - svařování - management,
II.stupeň. 2.ročník magisterského studia

Název předmětu: **EXPERIMENTÁLNÍ METODY - he2**

Garant předmětu: **Prof.Ing.Milan Forejt, CSc**

Charakter předmětu: **povinný předmět**

Rozsah: **2 - 2** (dělení C2b), 6 kreditů **z, zk**

Stručná anotace předmětu, cíle

Předmět se zabývá základními metodami měření a vyhodnocování průvodních jevů obrábění a tváření. Předmět zahrnuje mechanické zkoušky, kvalitativní a kvantitativní hodnocení opotřebení, měření řezných sil a odporů, tvářecích a vyhazovacích sil, přetvárných odporů, rychlostí deformací, měření teplot a tepla, kmitání. Vše z hlediska jednotlivých metod obrábění, tváření a pracovních podmínek nástroje, (použití dynamometrů, kalorimetrů, různých snímačů a přístrojů na zpracovávání signálů). Předmět se dále zabývá využitím světelných a elektronových mikroskopických metod vyhodnocování morfologie povrchů nástroje a obrobků.

Experimental methods

The subject deals with the basic methods of measuring and evaluating attendant phenomena in machining and metal-forming. They include mechanical testing, qualitative and quantitative evaluation of wear, measuring of cutting forces and resistance, metal-forming and ejecting forces, resistance to plastic strain, strain rates, temperature & heat, and oscillation. The evaluation is dealt with from the viewpoint of the individual methods of machining and metal-forming and the operating conditions of the tool. Also discussed is the application of the methods of light and electron microscopy when assessing the morphology of the surface of tools and workpieces.

Cílem předmětu je seznámit studenty se specializovanými experimentálními metodami, které jsou nutné pro posuzování funkčních vlastností řezných a tvářecích nástrojů, obrobitelnosti a tvařitelnosti materiálů ve výrobní a výzkumné sféře. Zdůraznit význam a použití technických měření a zkoušek pro rozvoj oborů technologie obrábění a tváření.

Předmět zabezpečují: Prof.Ing.Milan Forejt, CSc., Doc.Ing.Anton Humář, CSc., Doc.Ing.Miroslav Píška, CSc.
Dr.Ing.Libor Janíček

Rozsah a obsahové zaměření

- 1.Opotřebení nástroje, kritéria, měřící metody a zařízení.
- 2.Teplo a teplota (měřící metody, snímače přístroje, zpracování).
- 3.Řezné síly a odpory (dynamometry, snímání a vyhodnocování veličin).
- 4.Kmitání (principy, experimentální zařízení, snímače, přístroje).
- 5.Mikroskopické metody (analýza morfologie povrchu nástroje a obrobku).
- 6.Experimentální technologické zkoušky tvařitelnosti.
- 7.Zkoušení tření a maziv ve tváření.
- 8.Měření tvářecích a vyhazovacích sil, zjišťování napjatosti.
- 9.Zjišťování přetvárných odporů za vyšších rychlostí deformací.
- 10.Zjišťování dynamických mechanických vlastností materiálů.

Karta předmětu
Výpis kursu VUT v Brně

Obsah: Anotace kurzu, Doporučená literatura, Zajištění výuky kurzu, Rozsah a hodnocení kurzu.

Fakulta : **Fakulta strojního inženýrství**

Kód kurzu : **he2**

Název kurzu : **Experimentální metody**

Datum poslední úpravy karty kurzu he2 : 3/11/2003

Anotace kurzu

Školní rok : 2003/2004

Datum anotace : 25/07/03

Prerekvizity:

| Fakulta kurzu | Zkratka kurzu | Název kurzu |
|---------------|---------------|--------------------------------|
| FSI | hto | Teorie obrábění |
| FSI | hta | Teorie tváření |
| FSI | ho1 | Speciální technologie obrábění |
| FSI | hh1 | Technologie tváření |
| FSI | hpt | Počítačová podpora technologie |

Navazující kurzy:

| Fakulta kurzu | Zkratka kurzu | Název kurzu |
|---------------|---------------|----------------------|
| FSI | hzp | Závěrečný projekt 1. |
| FSI | hzr | Závěrečný projekt 2 |

Anotace kurzu:

Předmět se zabývá základními metodami měření a vyhodnocování průvodních jevů obrábění a tváření. Předmět zahrnuje mechanické zkoušky, kvalitativní a kvantitativní hodnocení opotřebení, měření řezných sil a odporů, tvářecích a vyhazovacích sil, přetvárných odporů, rychlostí deformací, měření teplot a tepla, kmitání. Vše z hlediska jednotlivých metod obrábění, tváření a pracovních podmínek nástroje, (použití dynamometrů, kalorimetrů, různých snímačů a přístrojů na zpracovávání signálů. Předmět se dále zabývá využitím světelných a elektronových mikroskopických metod vyhodnocování morfologie povrchů nástroje a obrobků.

Experimental methods

The subject deals with the basic methods of measuring and evaluating attendant phenomena in machining and metal-forming. They include mechanical testing, qualitative and quantitative evaluation of wear, measuring of cutting forces and resistance, metal-forming and ejecting forces, resistance to plastic strain, strain rates, temperature & heat, and oscillation. The evaluation is dealt with from the viewpoint of the individual methods of machining and metal-forming and the operating conditions of the tool. Also discussed is the application of the methods of light and electron microscopy when assessing the morphology of the surface of tools and workpieces.

Prof. Ing. Milan Forejt, CSc., tel. 541 142 623,

Cíle a úkoly kurzu:

Cílem předmětu je seznámit studenty se specializovanými experimentálními metodami, které jsou nutné pro posuzování funkčních vlastností řezných a tvářecích nástrojů, obrobitelnosti a tvařitelnosti materiálů ve výrobní a výzkumné sféře. Zdůraznit význam a použití technických měření a zkoušek pro rozvoj oborů technologie obrábění a tváření.

Získané znalosti a dovednosti:

Absolvent předmětu je schopen tvůrčím způsobem podílet se na provádění a vyhodnocování potřebných experimentů v technologických procesech obrábění a tváření. Získá přehled o potřebných měřicích metodách a měřicích zařízení s automatizovanými výstupy a hodnocením pomocí výpočetní techniky.

Literatura, na níž je předmět vystavěn:

Maximálně tři knihy (alespoň jedna zahraniční kniha, nikoli naše skripta) obecně akceptované a užívané na zahraničních a našich universitách, obsahující podstatnou část předmětu. Tyto prameny nemusí být k dispozici studentům.

| | Autor | Název | Vydavatel |
|---|-------------|---|--|
| 1 | Broch,J.T.: | Mechanical vibration and Shock | K.Larsen & Son A/S Glostrup, Denmark, 1984 |
| 2 | Group of | Metals Hanbook, Volume 8, Mechanical | ASM 1985 |
| 3 | Veles,P. : | Mechanické vlastnosti a skúšanie kovov. | ALFA Bratislava, SNTL Praha, 1985 |

Literatura doporučená studentům:

Literatura studentům k dispozici (např. materiály vydané fakultou).

| | Autor | Název | Vydavatel |
|---|-------------------------------|---|-----------------------|
| 1 | Medek,J.: | Experimentální metody | VUT Brno 1993 |
| 2 | Čech,J.-Pernikář,J.-Beneš.M.: | Strojírenská metrologie | P.C. Dir, s.r.o. Brno |
| 3 | Meloun,M.-Militký,J.: | Statistické zpracování experimentálních | PLUS s.r.o. Praha |

Zajištění výuky kurzu:

Výuku zajišťuje : **ÚSTAV STOJÍRENSKÉ TECHNOLOGIE**(kód ústavu - 3310),
Fakulta strojního inženýrství

Garant kurzu : **Prof. Ing. Milan Forejt CSc. ,**

Tel.: : 541 142 623

E-mail: : forejt@ust.fme.vutbr.cz

Rozsah a hodnocení kurzu:

Způsob ukončení : zkouška a zápočet

Počet kreditů : 6

Semestr : Letní

Hodnocení:

(požadavky pro zápočet a zkoušku, způsoby a termíny průběžné kontroly výuky, způsob výsledného hodnocení předmětu, vymezení povinné výuky.)

Podmínkou udělení zápočtu je prezence ve cvičení, splnění zadaných úkolů a odevzdání písemných protokolů v předepsané obsahové a grafické formě. Pokud tuto podmínu student nesplní, může učitel v odůvodněných

případech stanovit náhradní podmínku. Zkouška ověřuje teoretické znalosti přednesené problematiky z oblasti obrábění a tváření současně, je písemná a ústní. Při klasifikaci lze v odůvodněných případech přihlédnout k tomu, jak je student hodnocen vedoucím cvičení.

Rozvrhové jednotky:

| Typ výuky | Časová jednotka | Počet hodin za čas.jednotku | Celkový počet hodin za semestr |
|-----------------|-----------------|-----------------------------|--------------------------------|
| Přednáška | týden | 2 | 20 |
| Laborat.cvičení | týden | 2 | 20 |

Osnova rozvrhových jednotek:

Přednáška:

1. Opotřebení nástroje, kritéria, měřící metody a zařízení.
2. Řezné sily a odpory (dynamometry, snímání a vyhodnocování veličin).
3. Teplota a teplota (měřící metody, snímače přístroje, zpracování).
4. Kmitání (principy, experimentální zařízení, snímače, přístroje).
5. Mikroskopické metody (analýza morfologie povrchu nástroje a obrobku).
6. Experimentální technologické zkoušky objemové tvařitelnosti.
7. Zkoušky pro zjištování koeficientu tření a maziv ve tváření.
8. Měření tvářecích a vyhazovacích sil, zjištování napjatosti.
9. Zjištování přetvárných odporů za vyšších rychlostí deformací.
10. Zjištování dynamických mechanických vlastností materiálů.

Laboratorní cvičení:

1. Měření opotřebení nástroje v průběhu funkce a vyhodnocení hodnot.
2. Zpracování závislosti trvanlivost-řezná rychlosť z hodnot opotřebení.
3. Měření a vyhodnocení závislosti teploty řezného nástroje na čase a NM.
4. Analýza řezných vlastností vrtáků z RO s PVD povlaky.
5. Analýza řezných vlastností hrubovacích fréz.
- 5a. Určení kroutícího momentu při řezání závitu maticovým závitníkem
6. Komplexní pěchovací zkouška a vyhodnocení přetvárných odporů, přetvárné práce a rychlostí deformace.
7. Zjištování průběhu součinitele tření během tvářecího procesu.
8. Zjištování rázových sil a napětí při Taylorově testu.
9. Provedení Taylorova testu na pneumatickém kanónu a jeho vyhodnocení.
10. Zjištování dynamických mechanických vlastnosti materiálů metodou Hopkinsonova testu.

1. MĚŘENÍ OPOTŘEBENÍ ŘEZNÉHO NÁSTROJE

1.1. Fyzikální podstata opotřebení

Opotřebení je běžným důsledkem funkce všech strojních součástí, které jsou ve vzájemném kontaktu a relativním pohybu. Při obrábění dochází v důsledku řezného procesu k relativnímu pohybu nástroj-obrobek a nástroj-tříška, i ke kontaktu nástroje s obrobkem (na hlavním a vedlejším hřbetě a špičce nástroje) a odcházející třískou (na čele nástroje), což musí nutně vést k opotřebení nástroje.

Proces opotřebení nástroje je velmi složitý děj, který závisí na mnoha faktorech (fyzikální a zejména mechanické vlastnosti obráběného a nástrojového materiálu, druh obráběcí operace, geometrie nástroje, pracovní podmínky, řezné prostředí, atd.) a v jehož průběhu působí mnoho odlišných fyzikálně-chemických jevů (mechanizmů opotřebení). K základním mechanizmům opotřebení patří zejména:

- **abraze** (brusný otěr vlivem tvrdých mikročástic obráběného materiálu i mikročástic uvolněných z nástroje),
- **adheze** (vznik a okamžité následné porušování mikrosvarových spojů na stýkajících se vrcholcích nerovností čela a třísky, v důsledku vysokých teplot a tlaků, chemické příbuznosti materiálů a kovově čistých styčných povrchů),
- **difúze** (migrace atomů z obráběného do nástrojového materiálu a naopak, a z ní vyplývající vytváření nežádoucích chemických sloučenin ve struktuře nástroje),
- **oxidace** (vznik chemických sloučenin na povrchu nástroje v důsledku přítomnosti kyslíku v okolním prostředí),
- **plastická deformace** (důsledek vysokého tepelného a mechanického zatížení, kumulovaného v čase), která se může ve svém nejpříznivějším důsledku projevit ve formě tzv. lavinového opotřebení,
- **křehký lom** (důsledek vysokého mechanického zatížení, např. přerušovaný řez, nehomogenity a vmeštka v obráběném materiálu, atd.).

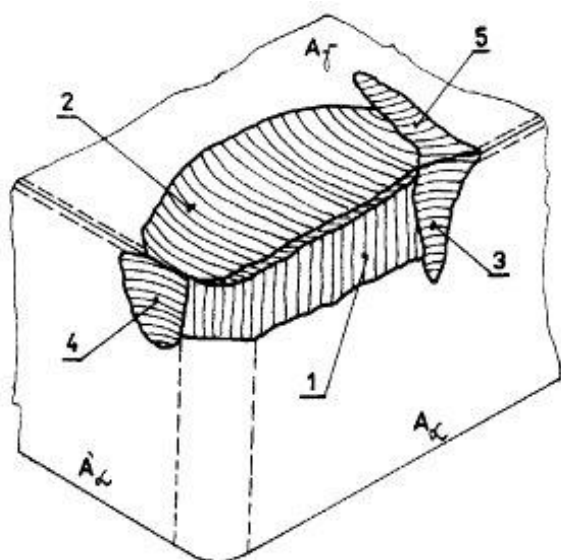
Abraze a adheze jsou též obvykle označovány jako fyzikální mechanismy opotřebení, difúze a oxidace jako chemické, všechny působí v průběhu času plynule, s tím, že časový okamžik začátku jejich působení nemusí být vždy shodný. Plasticke deformace a křehký lom jsou naproti tomu mechanizmy, které působí náhle, v daném okamžiku a obvykle způsobí okamžité ukončení činnosti nástroje (náhlá změna tvaru břitu nástroje, lavinové opotřebení nebo ulomení špičky). Hřbet nástroje se opotřebovává především v důsledku abraze a oxidace, čelo v důsledku adheze, difúze, abraze a oxidace. Na skutečnost, zda se nástroj bude více opotřebovávat na hřbetě nebo na čele (příp. na špičce), mají výrazný vliv i další faktory, jako je např. geometrie nástroje, druh operace (hrubování, dokončování) a v neposlední řadě i řezné podmínky (řezná rychlosť, posuv, šířka záběru ostří, řezné prostředí).

První dva mechanismy opotřebení jsou též obvykle označovány jako fyzikální, druhé dva jako chemické, všechny čtyři působí v průběhu času plynule, s tím, že časový okamžik začátku jejich působení nemusí být vždy shodný. Plasticke deformace a křehký lom jsou naproti tomu mechanizmy, které působí náhle, v daném okamžiku a obvykle způsobí okamžité ukončení činnosti nástroje (náhlá změna tvaru břitu nástroje, lavinové opotřebení nebo ulomení špičky). Hřbet nástroje se opotřebovává především v důsledku abraze a oxidace, čelo v důsledku adheze, difúze,

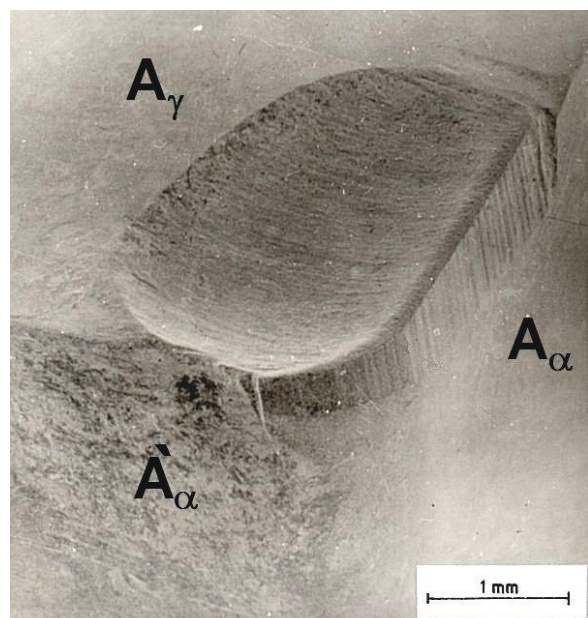
abraze a oxidace. Na skutečnost, zda se nástroj bude více opotřebovat na hřbetě nebo na čele (příp. na špičce), mají výrazný vliv i další faktory, jako je např. geometrie nástroje, druh operace (hrubování, dokončování) a v neposlední řadě i řezné podmínky (řezná rychlosť, posuv, hloubka řezu a chlazení).

1.2. Formy opotřebení

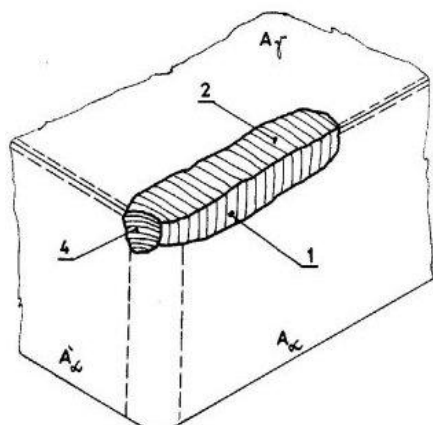
Vzhled břitu nástroje ze slinutého karbidu, se všemi typickými formami opotřebení, je uveden na obrázku číslo 1.1, vzhled břitu nástroje z řezné keramiky na obrázku číslo 1.3. Jednotlivé formy opotřebení jsou na obou obrázcích označeny následovně: 1 - fazetka opotřebení na hřbetě, 2 - výmol na čele, 3 - primární hřbetní rýha, 4 - sekundární (oxidační) hřbetní rýha, 5 - rýha na čele. Na obrázcích 1.2 a 1.4 jsou dokumentovány opotřebené plochy nástroje ze slinutého karbidu resp. řezné keramiky.



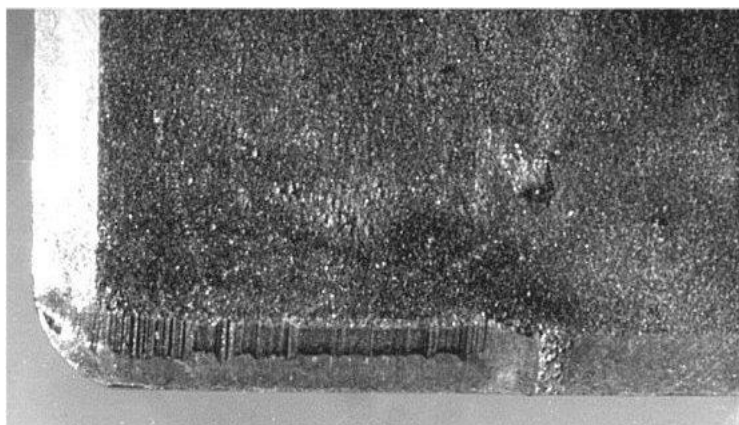
Obr.1.1 Formy opotřebení břitu
nástroje z SK



Obr.1.2 Opotřebený břít nástroje z SK



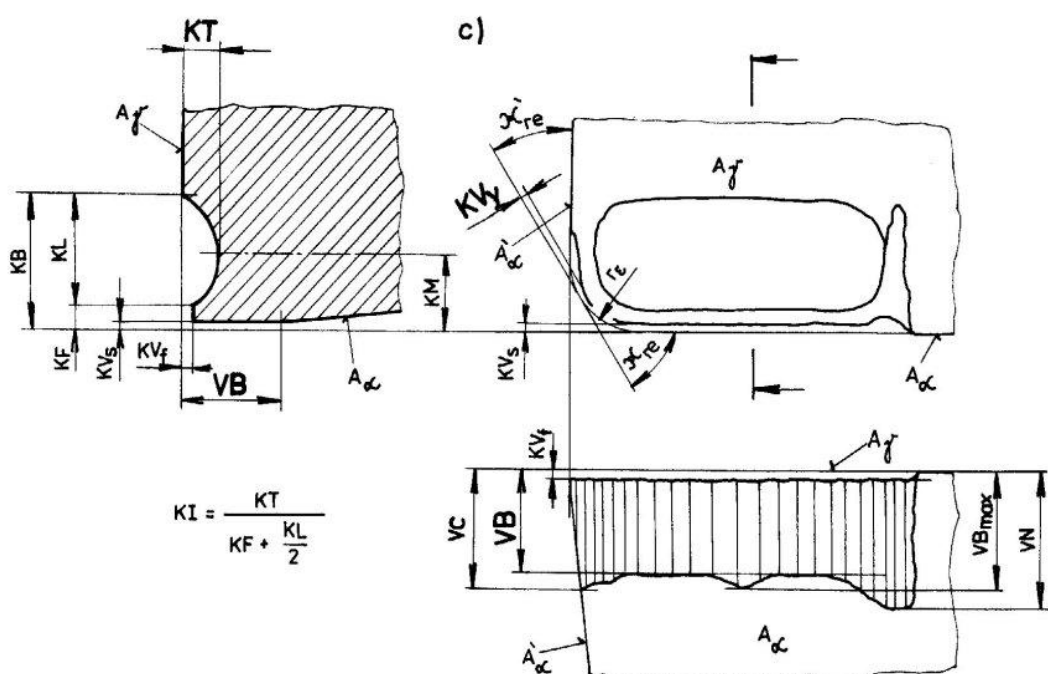
Obr.1.3 Formy opotřebení břitu
nástroje z ŘK



Obr.1.4 Břitová destička z ŘK
opotřebená na čele

1.3. Kritéria opotřebení

Kritéria, kterými je opotřebení kvantifikováno, jsou uvedena na obrázku č.1.5 (nejčastěji užívaná kritéria, **VB** - šířka fazetky opotřebení na hřbetě, **KT** - hloubka výmolu na čele, **KV_y** - radiální opotřebení špičky, jsou zvýrazněna většími písmeny). Kritérium **KV_y** je významné zejména u dokončovacích operací, protože způsobuje změnu rozměru obroběné plochy. Označování jednotlivých kritérií odpovídá místním zvyklostem, které se poněkud liší od normy ČSN ISO 3685, která označuje kritéria opotřebení na hřbetě **VB_C** (VC na obrázku č.1.5), **VB_B** (**VB**), **VB_{Bmax}** (**VB_{max}**) a **VB_N** (**VN**).



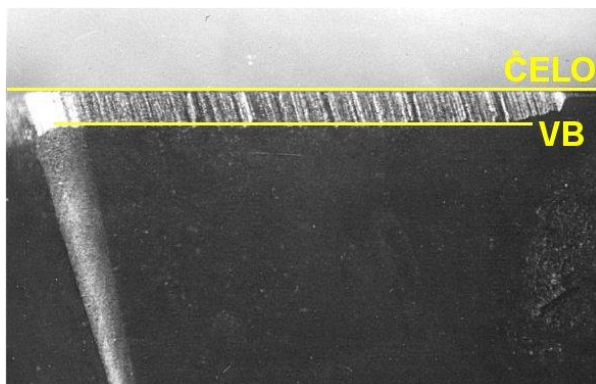
Obr.1.5 Kritéria opotřebení řezného nástroje

1.4. Měření opotřebení

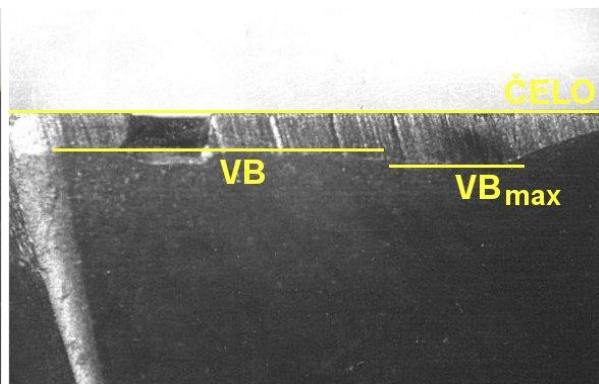
Klasifikace metod pro stanovení opotřebení řezného nástroje:

- **přímé metody:**
 - * měření vybraného kritéria opotřebení (**VB** - pomocí dílenského mikroskopu, **KT** - pomocí profiloměru, **KV_y** - délkovým měřidlem); diskontinuální metoda - po přerušení nebo skončení činnosti nástroje,
 - * vážení břitové destičky (diskontinuální metoda),
 - * optické sledování funkční plochy (diskontinuální metoda),
 - * elektrické metody (kontinuální):
 - odporové (vyhodnocování změn odporu v místě kontaktu nástroje s obrobkem; sledování chování tenké vrstvy odporového materiálu, naneseného na hřbet nástroje; odporový snímač, který se opotřebovává zároveň s nástrojem),
 - indukční,

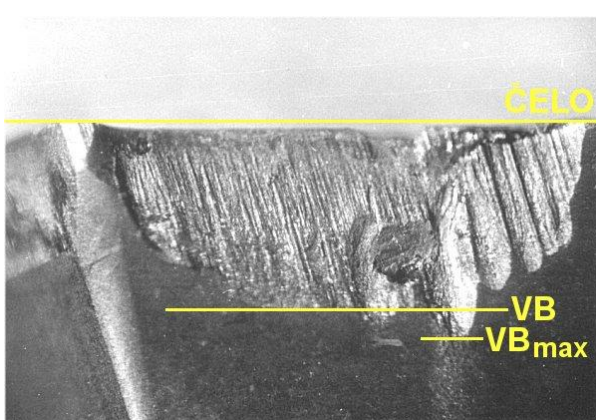
- sledování vzájemné polohy nástroje a obrobku,
- * ultrazvukové metody (kontinuální),
- * pneumatické metody (kontinuální),
- * radioaktivní metody (kontinuální):
 - ozářený nástroj,
 - mikroizotopový snímač,
- * měření rozměrů obrobku (kontinuální),
- nepřímé metody (kontinuální):
 - * měření a vyhodnocování jednotlivých složek rezné sily,
 - * měření a vyhodnocování elektrického příkonu obráběcího stroje,
 - * měření kmitání (amplituda kmitů, zrychlení, parametry akustické emise),
 - * měření teploty rezání,
 - * měření struktury povrchu obrobene plochy (parametry Ra, Ry, apod.),
 - * sledování druhotných projevů opotřebení (subjektivní metody):
 - lesklé proužky na obrobene ploše,
 - charakteristický zvuk,
 - změna tvaru a barvy trásky.



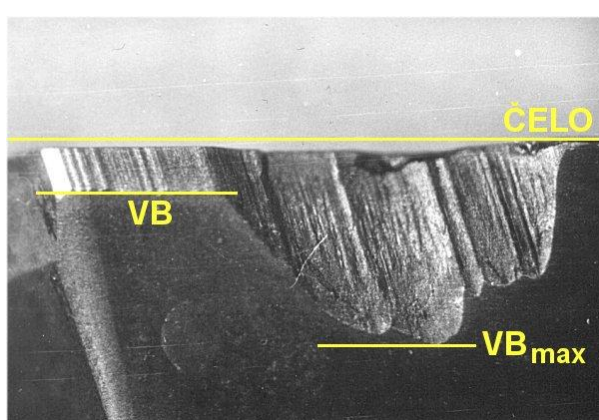
Obr.1.6 Pravidelná nízká hodnota VB



Obr.1.7 Poměrně pravidelná nízká hodnota VB, vylomené ostří

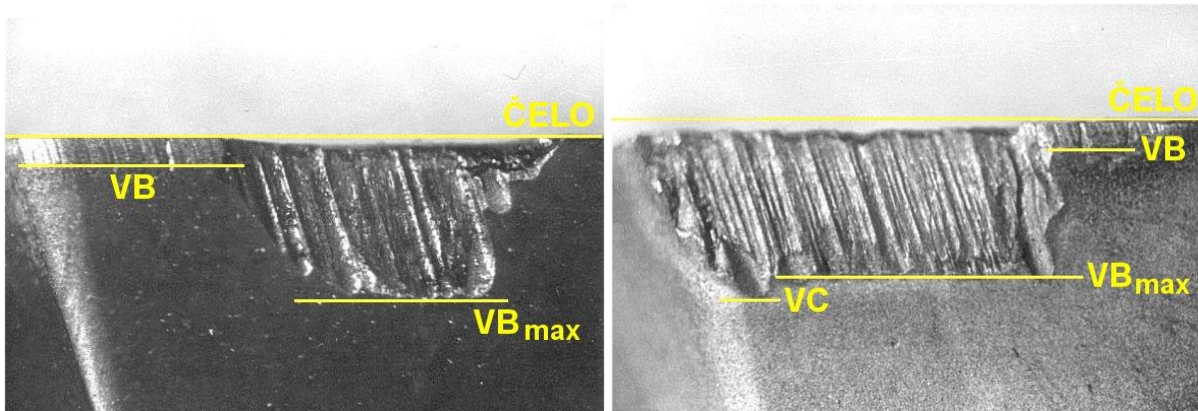


Obr.1.8 Pravidelná vysoká hodnota VB



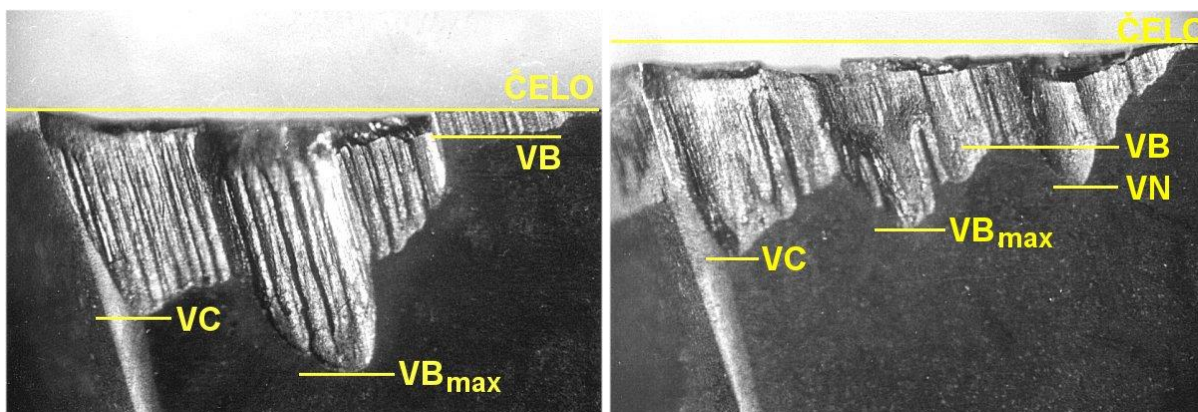
Obr.1.9 Nízká hodnota VB kombinovaná

s vysokou hodnotou VB_{max}



Obr.1.10 Nízká hodnota VB kombinovaná s vysokou hodnotou VB_{max}

Obr.1.11 Převládající hodnota VB_{max}



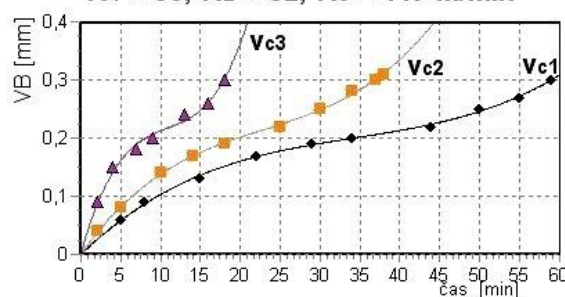
Obr.1.12 Převládající hodnoty VC a VB_{max}

Obr.1.13 Převládající hodnoty VC, VN a VB_{max}

V praxi jsou pro měření opotřebení nástroje nejčastěji používány metody přímého měření základních kritérií opotřebení, zejména **VB** a **KT**. Hodnoty **VB** jsou měřeny pomocí malého dílenského mikroskopu tak, že se nitkový kříž nastaví do základní polohy, na čáru představující čelo nástroje, a poté se přesune do polohy, kde se kryje s měřeným kritériem opotřebení (ukázky jsou uvedeny na obrázcích číslo 1.6 až 1.13). Naměřené hodnoty jsou vynášeny do závislostí $VB=f(\text{čas})$ - viz obrázky č.1.14 a 1.15.

Soustružení

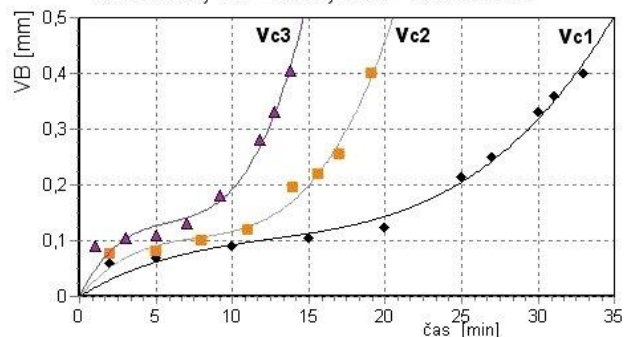
Obráběný materiál: ložisková ocel
14 209
Nástroj: CSSNR 2525 L12
Břít. destička: SNGA 120808 TN 03020
keramika DISAL 100
 $a_p = 1,0 \text{ mm}$, $f = 0,075 \text{ mm}$
 $v_c1 = 53$, $v_c2 = 82$, $v_c3 = 117 \text{ m/min}$



Obr.1.14 Časový průběh křivek opotřebení při obrábění ložiskové oceli

Soustružení

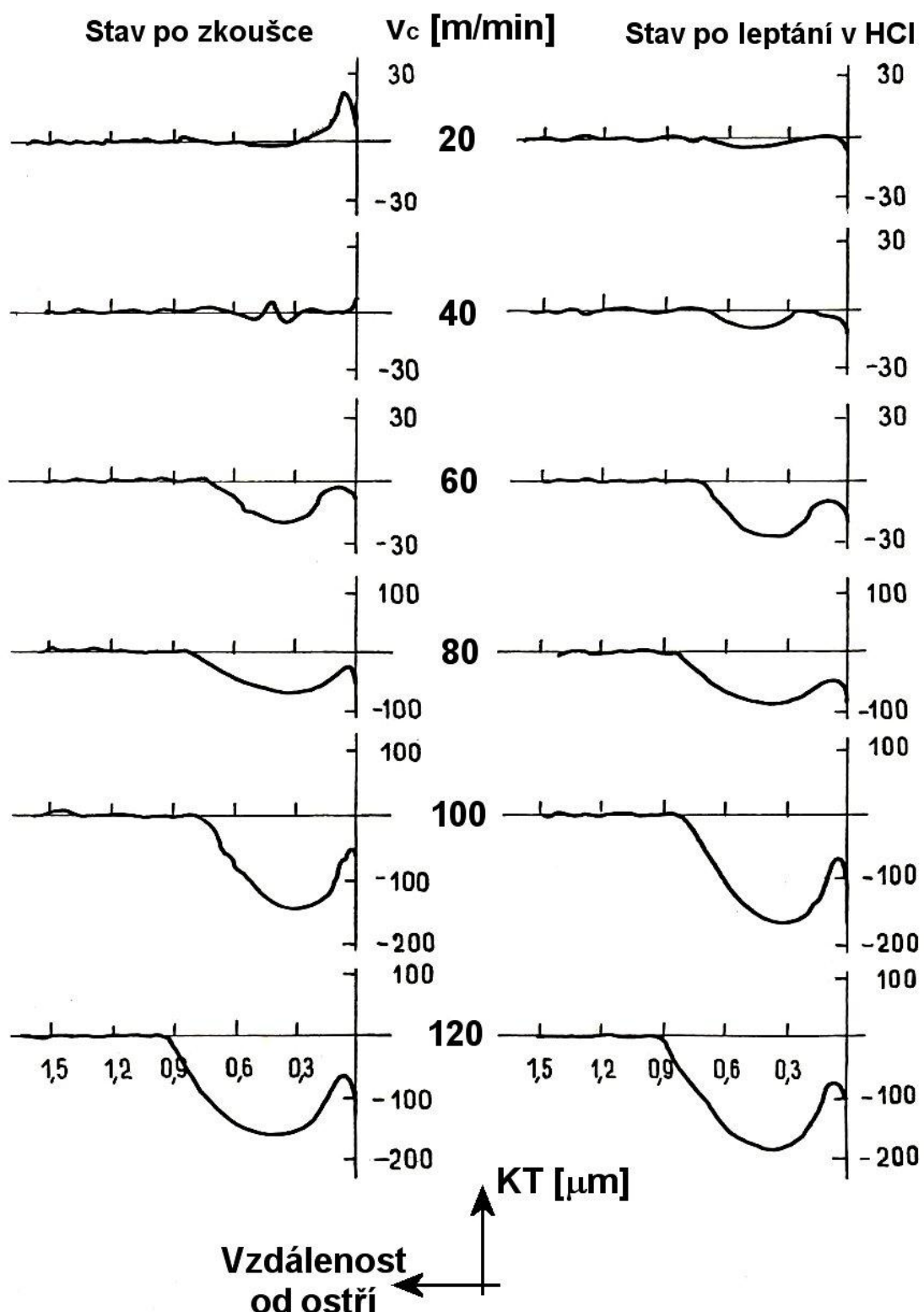
Obráběný materiál: ocel 12 050.1
Nástroj: PSBNR 2525 M12
Břít. destička: SNUN 120408
Sumitomo AC10
 $a_p = 2,0 \text{ mm}$, $f = 0,22 \text{ mm}$
 $v_c1 = 250$, $v_c2 = 280$, $v_c3 = 320 \text{ m/min}$



Obr.1.15 Časový průběh křivek opotřebení při obrábění oceli 12 050.1

Ukázky záznamů měření hodnot **KT** pomocí profiloměru Hommel-Tester-T (přístroj na měření parametrů struktury povrchu) jsou uvedeny na obrázcích č.1.16 a 1.17. Na obrázku č.1.16 je zaznamenána hloubka výmolu na břitových destičkách ze slinutého karbidu K10 po soustružení vysocepevné oceli (mez pevnosti v tahu $R_m=1480 \text{ MPa}$, mez kluzu $R_p0,2=1300 \text{ MPa}$, vrubová houževnatost $KCU3= 23 \text{ J cm}^{-2}$) řeznými rychlosťmi $v_c=20\div120 \text{ m min}^{-1}$ (šířka záběru ostří $a_p=1,5 \text{ mm}$, posuv na otáčku $f=0,156 \text{ mm}$, doba obrábění $T=5 \text{ min}$). Záznamy byly snímány přibližně uprostřed délky výmolu, ve stavu po zkoušce a na stejném místě destičky ve stavu po odleptání náruštu v kyselině chlorovodíkové.

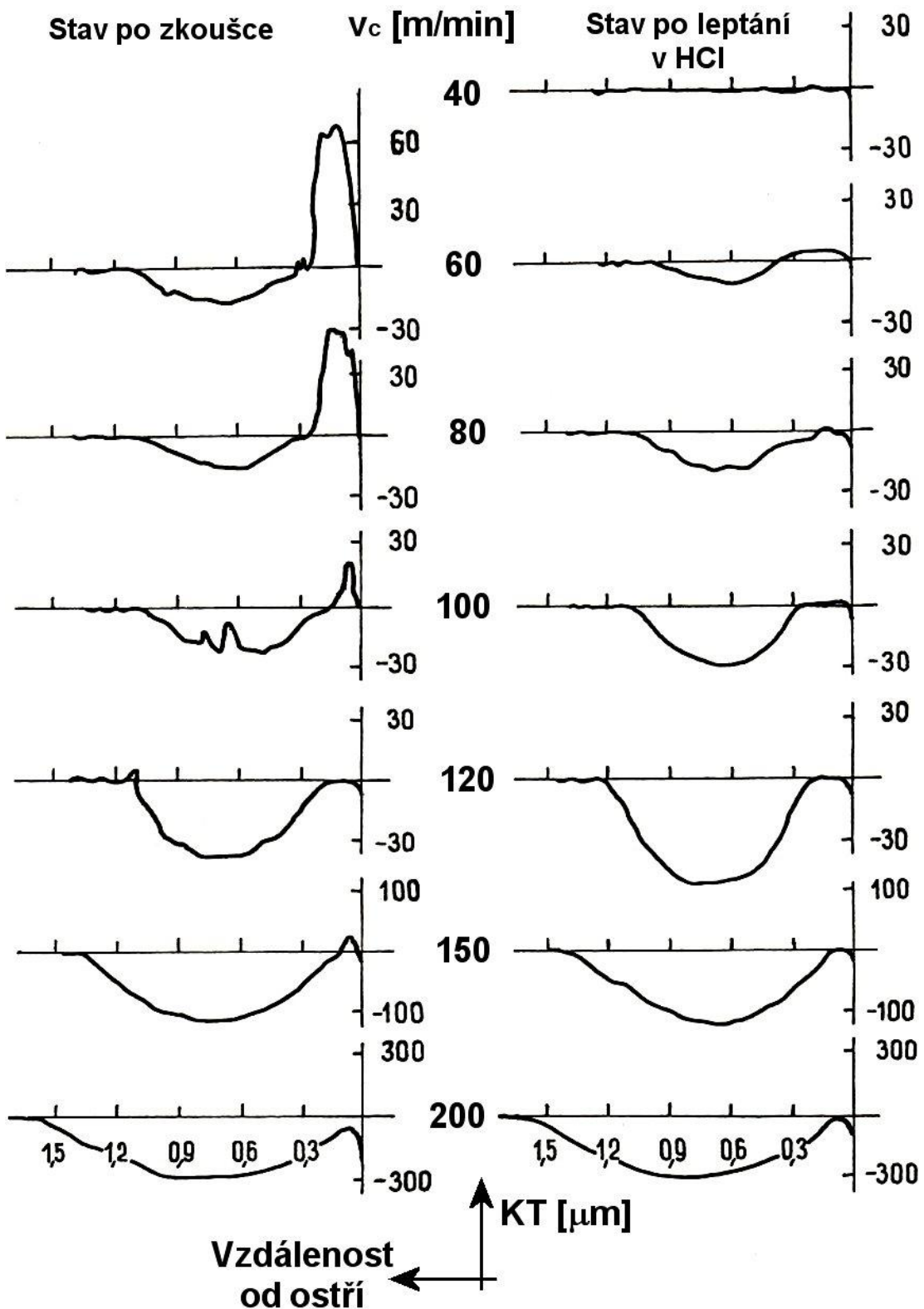
Na obrázku č.1.17 je zaznamenána hloubka výmolu na břitových destičkách ze slinutého karbidu K10 po soustružení oceli 12 050.1 řeznými rychlosťmi $v_c=40\div200 \text{ m min}^{-1}$ (šířka záběru ostří $a_p=1,5 \text{ mm}$, posuv na otáčku $f=0,156 \text{ mm}$, doba obrábění $T=5 \text{ min}$). Záznamy byly opět snímány přibližně uprostřed délky výmolu, ve stavu po zkoušce a na stejném místě destičky ve stavu po odleptání náruštu v kyselině chlorovodíkové.



Obr. 1.16 Hloubka výmolu na čele destiček po soustružení vysocepevné oceli

Výsledky měření hloubky výmolu na obrázcích č. 1.16 a 1.17 jednoznačně potvrzují známou skutečnost, že slinutý karbid K10 není vhodný pro obrábění ocelí. Je z nich též zřejmé, že intenzita

opotřebení se zvyšuje s narůstající řeznou rychlostí a je znatelně vyšší při obrábění vysocepevné oceli.



Obr. 1.16 Hloubka výmolu na čele destiček po soustružení oceli 12 050.1

2. ZPRACOVÁNÍ ZÁVISLOSTÍ TRVANLIVOST-ŘEZNÁ RYCHLOST

Z hodnot řezných rychlostí v_{ci} až v_{c5} a jím odpovídajících trvanlivostí T_1 až T_5 uvedených v tabulce č.2.1 zpracujte průběhy $T-v_c$ závislostí. Vyhodnocení provedte:

- a) graficky,
- b) graficko - analyticky,
- c) pomocí zjednodušené lineární regresní analýzy s využitím metody nejmenších čtverců,
- d) libovolným způsobem s využitím osobního počítače.

Tab.2.1 Zadané hodnoty

| Číslo zadání | Hodnoty v_{ci} [$m \text{ min}^{-1}$], hodnoty trvanlivosti T [min] | | | | | | | | | |
|--------------|---|-------|----------|-------|----------|-------|----------|-------|----------|-------|
| | $i = 1$ | | $i = 2$ | | $i = 3$ | | $i = 4$ | | $i = 5$ | |
| | v_{ci} | T_i | v_{ci} | T_i | v_{ci} | T_i | v_{ci} | T_i | v_{ci} | T_i |
| 1 | 145 | 80 | 175 | 30 | 220 | 10 | 255 | 5,0 | 305 | 2 |
| 2 | 150 | 78 | 175 | 28 | 220 | 90 | 260 | 4,5 | 300 | 2 |
| 3 | 155 | 76 | 175 | 26 | 220 | 8 | 255 | 5,0 | 310 | 2 |
| 4 | 160 | 74 | 175 | 24 | 210 | 10 | 260 | 4,5 | 305 | 2 |
| 5 | 140 | 82 | 180 | 30 | 210 | 90 | 270 | 5,0 | 300 | 2 |
| 6 | 145 | 80 | 180 | 28 | 210 | 8 | 255 | 4,5 | 310 | 2 |
| 7 | 150 | 78 | 180 | 26 | 200 | 10 | 260 | 5,0 | 295 | 2 |
| 8 | 155 | 76 | 180 | 24 | 200 | 90 | 260 | 4,5 | 295 | 2 |
| 9 | 160 | 74 | 180 | 30 | 200 | 8 | 250 | 5,0 | 295 | 2,5 |
| 10 | 140 | 82 | 180 | 28 | 220 | 10 | 255 | 4,5 | 300 | 2,5 |
| 11 | 145 | 80 | 185 | 26 | 220 | 90 | 275 | 5,0 | 300 | 2,5 |
| 12 | 150 | 78 | 185 | 24 | 220 | 8 | 260 | 4,5 | 300 | 2,5 |
| 13 | 155 | 76 | 185 | 30 | 210 | 10 | 270 | 5,0 | 310 | 2,5 |
| 14 | 160 | 74 | 185 | 28 | 210 | 90 | 260 | 4,5 | 305 | 2,5 |
| 15 | 140 | 82 | 185 | 26 | 210 | 8 | 255 | 5,0 | 295 | 2,5 |
| 16 | 145 | 80 | 190 | 24 | 200 | 10 | 250 | 4,5 | 305 | 2,5 |
| 17 | 150 | 78 | 190 | 30 | 200 | 90 | 260 | 5,0 | 300 | 3 |
| 18 | 155 | 76 | 190 | 28 | 200 | 8 | 270 | 4,5 | 310 | 3 |
| 19 | 160 | 74 | 190 | 26 | 220 | 10 | 275 | 5,0 | 295 | 3 |
| 20 | 140 | 82 | 190 | 24 | 220 | 90 | 260 | 4,5 | 300 | 3 |
| 21 | 145 | 80 | 170 | 30 | 220 | 8 | 255 | 5,0 | 300 | 3 |
| 22 | 150 | 78 | 170 | 28 | 210 | 10 | 270 | 4,5 | 310 | 3 |
| 23 | 155 | 76 | 170 | 26 | 210 | 90 | 250 | 5,0 | 305 | 3 |
| 24 | 160 | 74 | 170 | 24 | 210 | 8 | 275 | 4,5 | 300 | 3 |
| 25 | 140 | 82 | 170 | 30 | 200 | 10 | 260 | 5,0 | 295 | 3 |

Vypracování a)

Základní $T-v_c$ závislost je vyjádřena vztahem

$$T = \frac{C_T}{v_c^m} \quad [\text{min}], \quad (2.1)$$

kde: C_T [-] - konstanta, $m = \operatorname{tg} \alpha$ [-] - exponent,

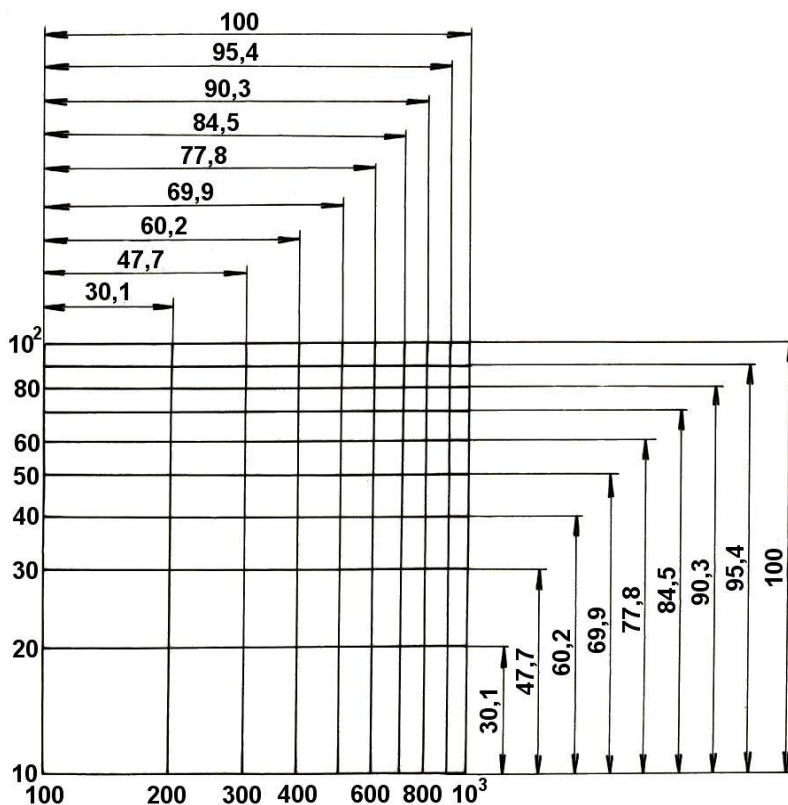
v_c [m min^{-1}] - řezná rychlosť,

nebo vzhledem k velmi vysoké a nepraktické hodnotě konstanty C_T (řádově $10^9 \div 10^{13}$) častěji ve tvaru

$$v_c = \frac{C_v}{T^{1/m}} \quad [\text{m min}^{-1}], \quad (2.2)$$

kde: C_v [-] - konstanta (protože $C_v = C_T^{1/m}$, je řádová velikost konstanty C_v pouze $10^2 \div 10^3$).

Pro grafické zpracování $T-v_c$ závislosti je třeba, na milimetrovém papíru a v logaritmických souřadnicích, vytvořit osy pro trvanlivost (svislá osa, rozsah hodnot $T=1 \div 100$ minut, tedy dvě dekády) a řeznou rychlosť (vodorovná osa, $v_c=100 \div 1000 \text{ m min}^{-1}$, jedna dekáda). Příklad vytvoření stupnic jedné dekády velikosti $100 \times 100 \text{ mm}$ (rozsah $T=10 \div 100$ minut, $v_c=100 \div 1000 \text{ m min}^{-1}$) je uveden na obrázku číslo 2.1.



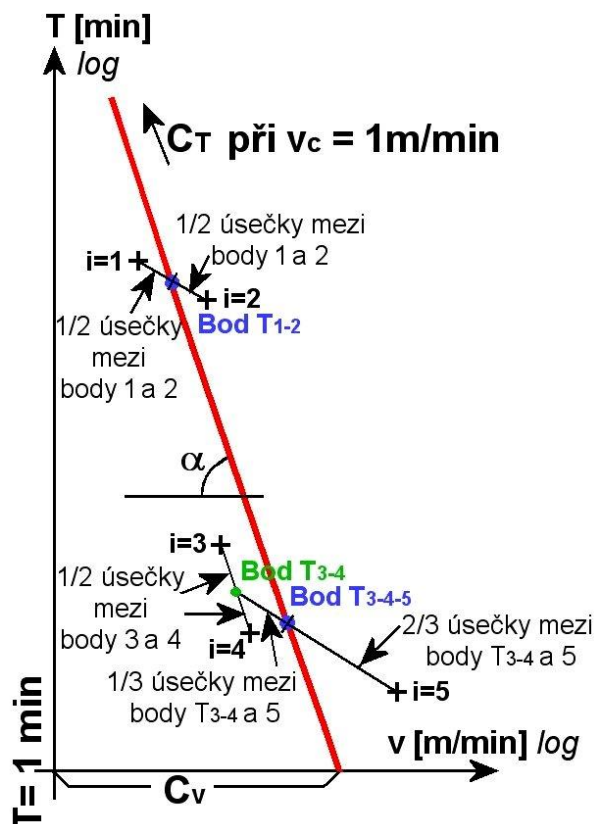
Obr.2.1

Do připraveného diagramu jsou postupně vynášeny jednotlivé body o souřadnicích T_1-v_{c1} až T_5-v_{c5} (na obrázku č.2.2 označeny $i=1$ až $i=5$). Protože závislost $T-v_c$ je v logaritmických souřadnicích vyjádřena přímkou, je třeba z pěti vynesených bodů vytvořit dvě těžiště, aby proložení přímky zadanými body bylo zcela jednoznačné a v rámci použité grafické metody co nejpřesnější.

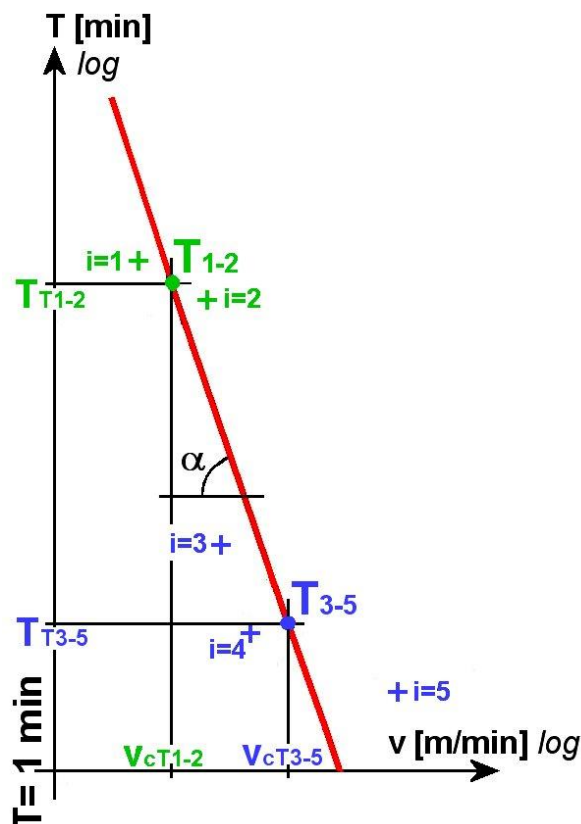
Těžiště jsou v daném případě vytvořena z bodů **1** a **2** (těžiště \mathbf{T}_{1-2}) a z bodů **3-5** (těžiště \mathbf{T}_{3-5}) následujícím postupem:

- těžiště \mathbf{T}_{1-2} leží uprostřed spojnice bodů **1** a **2**,
- spojením bodů **3** a **4** a rozpuštěním vytvořené spojnice se získá bod \mathbf{T}_{34} , který se spojí s posledním zadáným bodem **5**; spojnice bodů \mathbf{T}_{34} a **5** se rozdělí na třetiny a druhé těžiště pro proložení $\mathbf{T}-\mathbf{v}_c$ závislosti (\mathbf{T}_{3-5}) leží na této spojnici ve vzdálenosti $2/3$ její délky od bodu **5**.

Hodnota exponentu \mathbf{m} se stanoví jako tangenta úhlu α , hodnota konstanty \mathbf{C}_v se odečítá na ose řezné rychlosti tam, kde vytvořená přímka $\mathbf{T}-\mathbf{v}_c$ tuto osu protíná (je to hodnota řezné rychlosti pro trvanlivost $T=1$ min). Hodnotu konstanty \mathbf{C}_T nelze z grafického zpracování odečítat a proto se vypočítá z již stanovených hodnot \mathbf{C}_v a \mathbf{m} : $\mathbf{C}_T = \mathbf{C}_v^{\mathbf{m}}$.



Obr.2.2



Obr.2.3

Vypracování b)

U této metody se poloha dvou těžišť (\mathbf{T}_{1-2} a \mathbf{T}_{3-5} - obr.2.3), vytvořených pro jednoznačné grafické proložení $\mathbf{T}-\mathbf{v}_c$ závislosti pěti zadanými body stanoví výpočtem

$$\log \mathbf{T}_{1-2} = \frac{1}{2} \sum_{i=1}^2 \log \mathbf{T}_i , \quad (2.3)$$

$$\log \mathbf{v}_{c_{T1-2}} = \frac{1}{2} \sum_{i=1}^2 \log \mathbf{v}_{ci} , \quad (2.4)$$

$$\log T_{T3-5} = \frac{1}{3} \sum_{i=3}^5 \log T_i , \quad (2.5)$$

$$\log v_{c_{T3-5}} = \frac{1}{3} \sum_{i=3}^5 \log v_{ci} . \quad (2.6)$$

Hodnota exponentu **m** se vypočítá podle vztahu

$$m = \operatorname{tg} \alpha = \frac{\log T_{T1-2} - \log T_{T3-5}}{\log v_{c_{T3-5}} - \log v_{c_{T1-2}}} . \quad (2.7)$$

Z logaritmováním vztahu (2.1) a následnou úpravou se vytvoří vztah pro výpočet hodnoty konstanty **C_T**

$$\log T = \log C_T - m \cdot \log v_c \Rightarrow \log C_T = \log T + m \cdot \log v_c , \quad (2.8)$$

$$\log C_T = \log T_{T1-2} + m \cdot \log v_{c_{T1-2}} = \log T_{T3-5} + m \cdot \log v_{c_{T3-5}} , \quad (2.9)$$

$$C_T = \exp(\log C_T) . \quad (2.10)$$

Z logaritmováním vztahu (2.2) a následnou úpravou se vytvoří vztah pro výpočet hodnoty konstanty **C_v**

$$\log v_c = \log C_v - \frac{1}{m} \cdot \log T \Rightarrow \log C_v = \log v_c + \frac{1}{m} \cdot \log T , \quad (2.11)$$

$$\log C_v = \log v_{c_{T1-2}} + \frac{1}{m} \cdot \log T_{T1-2} = \log v_{c_{T3-5}} + \frac{1}{m} \cdot \log T_{T3-5} , \quad (2.12)$$

$$C_v = \exp(\log C_v) . \quad (2.13)$$

Vypracování c)

Pro soubor náhodných veličin **v_{ci}** a **T_i**, prezentovaných body **P_i** se v logaritmických souřadnicích **log v_c** a **log T** (obr.2.4) určí poloha těžiště (bod **T**) podle vztahů

$$\log v_{cT} = \frac{1}{n} \sum_{i=1}^n \log v_{ci} , \quad (2.14)$$

$$\log T_T = \frac{1}{n} \sum_{i=1}^n \log T_i , \quad (2.15)$$

kde: **n** [-] - počet dvojic náhodných veličin (počet bodů **P_i**).

V bodě **T** se zavede pomocný souřadnicový systém **log ξ** a **log η** a určí odpovídající souřadnice bodu **P_i**, **log ξ_i** a **log η_i**. Po přenesení bodu **P_i** do bodu **P_{iy}**, který leží na výsledné přímce **T-v_c** závislosti, lze určit souřadnice **log ξ_{iy}=log ξ_i** a **log η_{iy}**, hodnota **Δ log η_i** bude považována za odchylku bodu **P_i** od výsledné přímky a určí se podle vztahu

$$\Delta \log \eta_i = \log \eta_i - \log \eta_{iy} . \quad (2.16)$$

Podle obrázku č.2.4 dále pro směrnici výsledné přímky platí

$$\operatorname{tg} \alpha = \frac{\log \eta_{iy}}{\log \xi_i} = b \quad (2.17)$$

a po vyjádření $\log \eta_{iy}$ ze vztahu (2.17) a dosazení do (2.16)

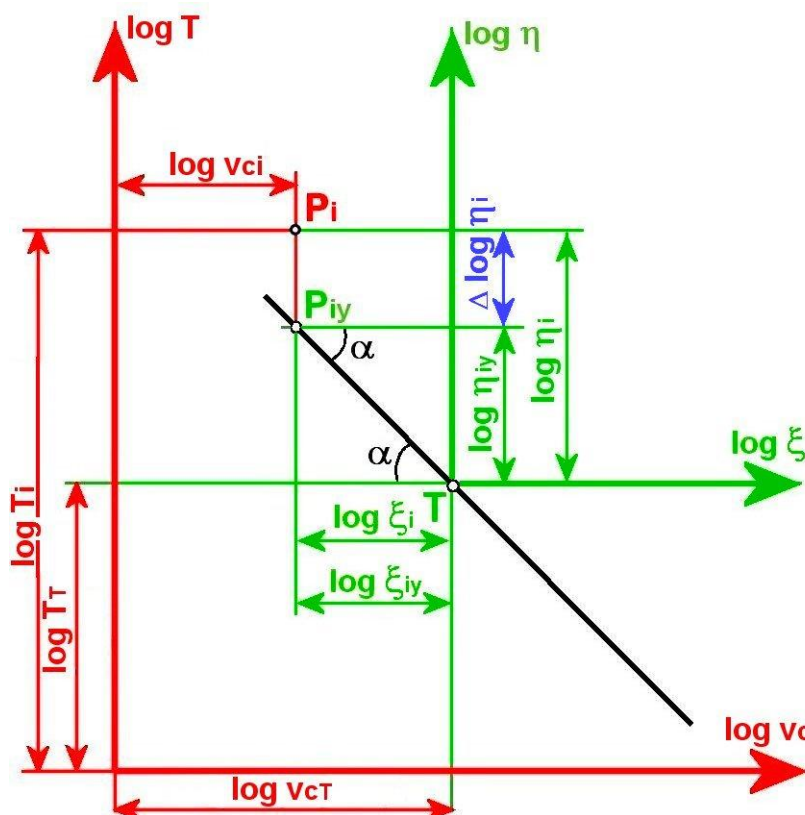
$$\Delta \log \eta_i = \log \eta_i - b \cdot \log \xi_i . \quad (2.18)$$

Čtverec odchylky se získá umocněním vztahu (2.18)

$$(\Delta \log \eta_i)^2 = (\log \eta_i)^2 - 2 \cdot b \cdot \log \xi_i \cdot \log \eta_i + b^2 \cdot (\log \xi_i)^2 \quad (2.19)$$

a vztah pro součet čtverců odchylek bude mít tvar

$$\sum_{i=1}^n (\Delta \log \eta_i)^2 = \sum_{i=1}^n (\log \eta_i)^2 - 2 \cdot b \sum_{i=1}^n \log \xi_i \cdot \log \eta_i + b^2 \sum_{i=1}^n (\log \xi_i)^2 . \quad (2.20)$$



Obr. 2.4

Podle principu metody nejmenších čtverců je třeba těžištěm (bodem T) proložit výslednou přímku tak, aby součet čtverců odchylek podle vztahu (2.20) byl minimální. Hledá se tedy, na základě volby sklonu výsledné přímky (vyjádřeno směrnicí b), extrém funkce (2.20), který lze získat její derivací podle argumentu b

$$\frac{d}{db} \sum_{i=1}^n (\Delta \log \eta_i)^2 = 0 - 2 \sum_{i=1}^n \log \xi_i \cdot \log \eta_i + 2 \cdot b \sum_{i=1}^n (\log \xi_i)^2 . \quad (2.21)$$

Podmínkou extrému funkce je, že její první derivace musí být rovna nule

$$- 2 \sum_{i=1}^n \log \xi_i \cdot \log \eta_i + 2 \cdot b \sum_{i=1}^n (\log \xi_i)^2 = 0$$

z čehož po úpravě vznikne vztah pro stanovení směrnice výsledné přímky

$$\mathbf{b} = \frac{\sum_{i=1}^n \log \xi_i \cdot \log \eta_i}{\sum_{i=1}^n (\log \xi_i)^2} . \quad (2.22)$$

V souladu se vztahem (2.8) lze napsat

$$\log C_T = \log T_T + m \cdot \log v_{cT} , \quad (2.23)$$

kde hodnota exponentu $m=-b$ a podle vztahu (2.10) vypočítat hodnotu konstanty C_T .

V souladu se vztahem (2.11) lze napsat

$$\log C_v = \log v_{cT} + \frac{1}{m} \cdot \log T_T \quad (2.24)$$

a podle vztahu (2.13) vypočítat hodnotu konstanty C_v .

Pro lepší přehled je vhodné při výpočtu souřadnic těžiště T a hodnoty směrnice b výsledné přímky $T-v_c$ závislosti zapisovat postupně všechny vypočtené hodnoty do přehledových tabulek číslo 2.2 a 2.3:

- souřadnice $\log v_{cT}$ se vypočítá tak, že hodnota v buňce 1) tabulky č.2.2 se podělí pěti,
- souřadnice $\log T_T$ se vypočítá tak, že hodnota v buňce 2) tabulky č.2.3 se podělí pěti,
- exponent m se stanoví jako podíl hodnot v buňce 4) tabulky č.2.3 a buňce 3) tabulky č.2.2, násobený hodnotou -1.
-

Tab.2.2

| i | v_{ci} [m min ⁻¹] | $\log v_{ci}$ | $\log \xi_i = \log v_{ci} - \log v_{cT}$ | $(\log \xi_i)^2$ |
|----------|---------------------------------|---------------|--|------------------|
| 1 | | | | |
| 2 | | | | |
| 3 | | | | |
| 4 | | | | |
| 5 | | | | |
| Σ | --- | 1) | 0 | 3) |

Tab.2.3

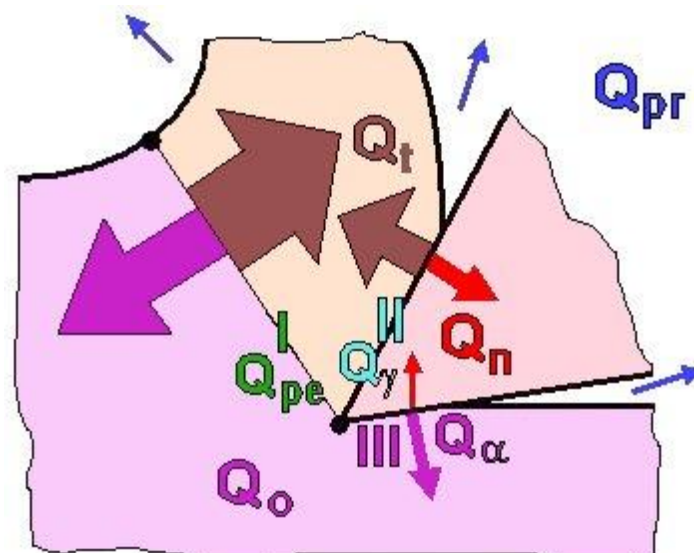
| i | T_i [min] | $\log T_i$ | $\log \eta_i = \log T_i - \log T_T$ | $\log \xi_i \cdot \log \eta_i$ |
|----------|-------------|------------|-------------------------------------|--------------------------------|
| 1 | | | | |
| 2 | | | | |
| 3 | | | | |
| 4 | | | | |
| 5 | | | | |
| Σ | --- | 2) | 0 | 4) |

3. MĚŘENÍ TEPLITOTY ŘEZNÉHO NÁSTROJE

3.1. Tepelná bilance řezného procesu

Během obráběcího procesu se téměř veškerá práce řezání transformuje v teplo. Teplo řezného procesu Q_e , vzniklé při odebrání určitého množství materiálu, je přibližně rovné práci řezného procesu E_e , takže $Q_e \approx E_e$. Vzniklé teplo výrazně ovlivňuje řezný proces, protože:

- negativně působí na řeznou vlastnosti nástroje,
- ovlivňuje mechanické vlastnosti obráběného materiálu,
- ovlivňuje pěchování a zpevňování obráběného materiálu,
- ovlivňuje podmínky tření na čele i hřbetě nástroje.



Obr.3.1 Vznik a odvod tepla při obrábění

Teplo při obrábění (obr.3.1) vzniká v oblasti primární plastické deformace **I** (Q_{pe} - v důsledku plastických a elastických deformací), v oblasti sekundární plastické deformace **II** (Q_γ - v důsledku tření mezi čelem nástroje a třískou a v oblasti **III** (Q_α - v důsledku tření hlavního hřbetu nástroje o přechodovou plochu na obrobku). Vzniklé teplo je odváděno třískou (Q_t), nástrojem (Q_n), obrobkem (Q_o) a řezným prostředím (Q_{pr}) - obr.3.1. Na základě předpokladu, že vzniklé a odvedené teplo musí být v rovnováze, lze vytvořit rovnici tepelné bilance řezného procesu v následujícím tvaru:

$$Q_{pe} + Q_\gamma + Q_\alpha = Q_t + Q_n + Q_o + Q_{pr} \quad [J].$$

Největší množství tepla vzniká v oblasti primární plastické deformace **I**, následuje oblast sekundární plastické deformace **II**. Teplo, vznikající v oblasti hřbetu, by mělo být udržováno na co možná nejnižších hodnotách, proto je třeba volit úhel hřbetu co největší a zamezit výraznému opotřebení hřbetu, které ve svém konečném efektu úhel hřbetu dále zmenšuje. Množství vzniklého tepla závisí na vlastnostech obráběného materiálu, geometrii nástroje a řezných podmínkách.

Podíl jednotlivých složek tepla, odváděného třískou, obrobkem, nástrojem a prostředím, závisí na tepelné vodivosti materiálů obrobku a nástroje, na řezných podmínkách (především řezné rychlosti), řezném prostředí (způsobu chlazení a mazání) a na geometrii břitu řezného nástroje. Největší část tepla vzniklého při obrábění je u řezných procesů, které využívají nástroj s definovanou geometrií, odváděna ze zóny řezání třískou. Celkové množství tepla, vzniklého při obrábění, lze měřit pomocí kalorimetru.

Z hlediska efektivnosti procesu řezání jsou podíly tepelné energie odvedené jednotlivými účastníky řezného procesu důležité z následujících důvodů:

- teplo odvedené nástrojem: velké množství tepla odvedené nástrojem znamená vysokou teplotu nástroje - teplota výrazně zvyšuje intenzitu opotřebení a proto dochází ke snížení trvanlivosti a životnosti nástroje,
- teplo odvedené obrobkem: pokud do obrobku přechází velké množství vzniklého tepla, má to negativní vliv na kvalitu obroběného povrchu a to zejména s ohledem na tahová vnitřní pnutí, která podstatně snižují spolehlivost součástí při jejich funkci,
- teplo odvedené řezným prostředím: velké množství tepla odvedené okolním prostředím znamená, že do nástroje a obrobku přejde menší díl vzniklého tepla, čímž se zmenší jeho negativní vlivy na nástroj a obrobek,
- teplo odvedené třískou: (podobně jako u tepla odvedeného řezným prostředím).

3.2. Měření teploty řezného nástroje

Teplota nástroje je ovlivněna zejména podílem tepla, které přechází do nástroje v oblastech I, II a III. Je závislá především na velikosti kontaktní plochy mezi třískou a nástrojem, velikosti řezných sil a třecích procesech mezi třískou a čelem nástroje a materiálem obrobku a hřbetem nástroje.

Jednotkou teploty je stupeň Kelvina, vedlejší jednotkou teploty podle soustavy SI je stupeň Celsia. Vzájemný přepočet teplot z Celsiových na Kelvinovu stupnicí:

$$T \text{ [°K]} = T \text{ [°C]} + 273,15 ,$$

Diference teploty sou stejně velké v obou stupnicích:

$$1 \text{ °K} = 1 \text{ °C} .$$

Pod pojmem etalony teploty lze zahrnout přístroje a podmínky měření k zabezpečení požadované přesnosti provozních přístrojů v závodech a laboratořích. Etalony 1. stupně jsou rozděleny do tří intervalů teplot:

- $13,81 \div 903,90 \text{ °K}$ - platinový odporový teploměr,
- $903,91 \div 1337,58 \text{ °K}$ - termočlánek Pt10Rh-Pt,
- nad $1337,58 \text{ °K}$ - jasový pyrometr.

Metody měření teploty je možné obecně klasifikovat následujícím způsobem (metody využitelné pro měření teploty nástroje jsou výrazně tučným písmem):

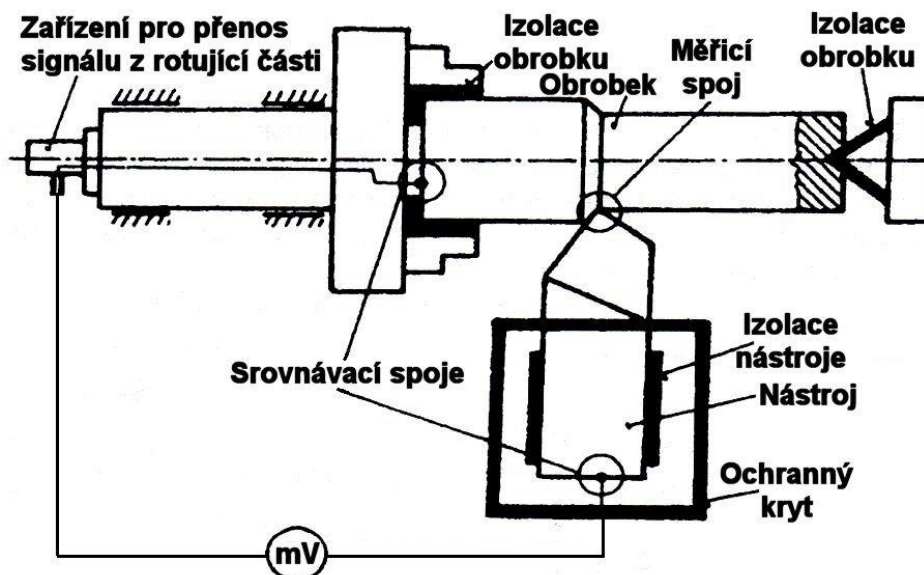
- přestup tepla dotykem:
 - * mechanické způsoby:
 - » roztažnost:
 - lineární,
 - objemová,
 - » tlak:
 - kapaliny,
 - páry,
 - plynu,
 - * elektrické způsoby:
 - » ☺ změna termoelektrického napětí,
 - » změna odporu,
 - » změna napětí,
 - * jiné způsoby:
 - » ☺ teplotní barvy,
 - » teplotní tělíska
- ☺ přestup tepla zářením:
 - » úhrnné záření,
 - » pásmové záření,
 - » spektrální záření,
 - » barvové záření,
 - » snímání teplotních obrazů:
 - s rozkladem obrazu (termovizní systémy),
 - bez rozkladu obrazu:
 - obrazové měniče,
 - infrafotografie.

3.2.1.Termočlánky

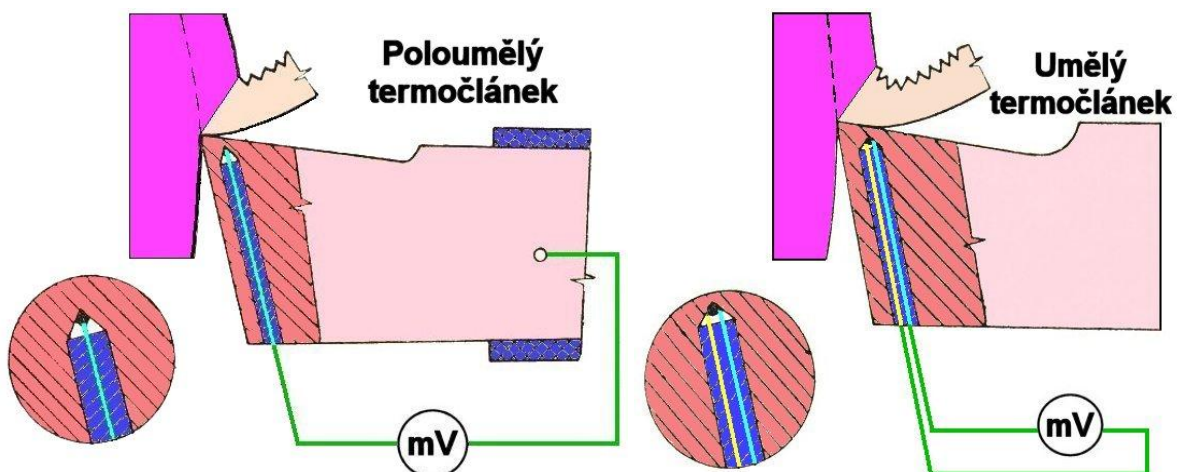
Pro měření teploty řezného nástroje jsou nejčastěji používány termočlánky. Termočlánek je založen na principu elektrického obvodu tvořeného dvěma dráty z různých materiálů, které jsou na obou svých koncích vodivě spojeny. Termoelektrický proud vnikne v tom případě, pokud se teplota Θ_m jednoho spoje se bude lišit od teploty Θ_p druhého spoje. Rozpojením obvodu na straně srovnávacího spoje vznikne termoelektrické napětí E , které lze měřit voltmetrem. Tomuto jevu (vzniku termoelektrického napětí) se říká termoelektrický (Seebeckův) jev.

Termočlánky pro měření teploty řezného nástroje mají různou konstrukci:

- termočlánek přirozený (obr.3.2),
- termočlánek poloumělý (obr.3.3),
- termočlánek umělý (obr.3.4).



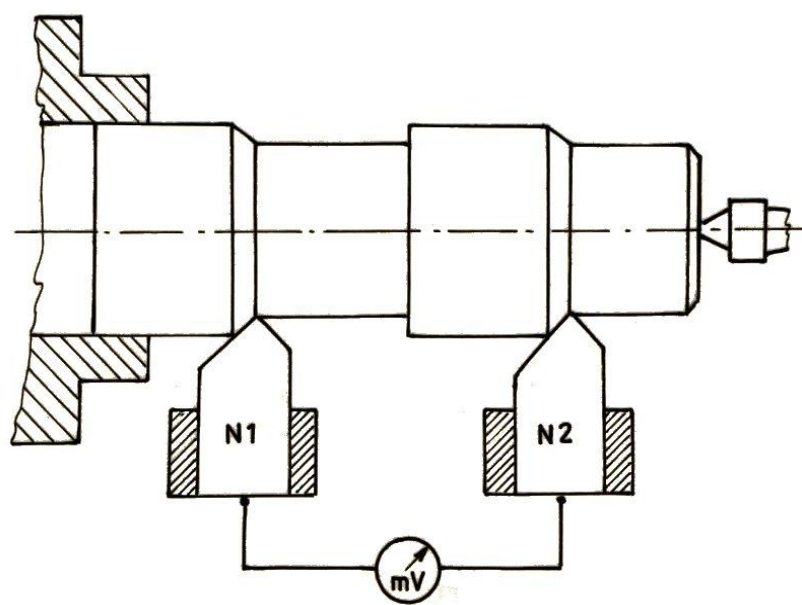
Obr.3.2 Přirozený termočlánek



Obr.3.3 Poloumělý termočlánek

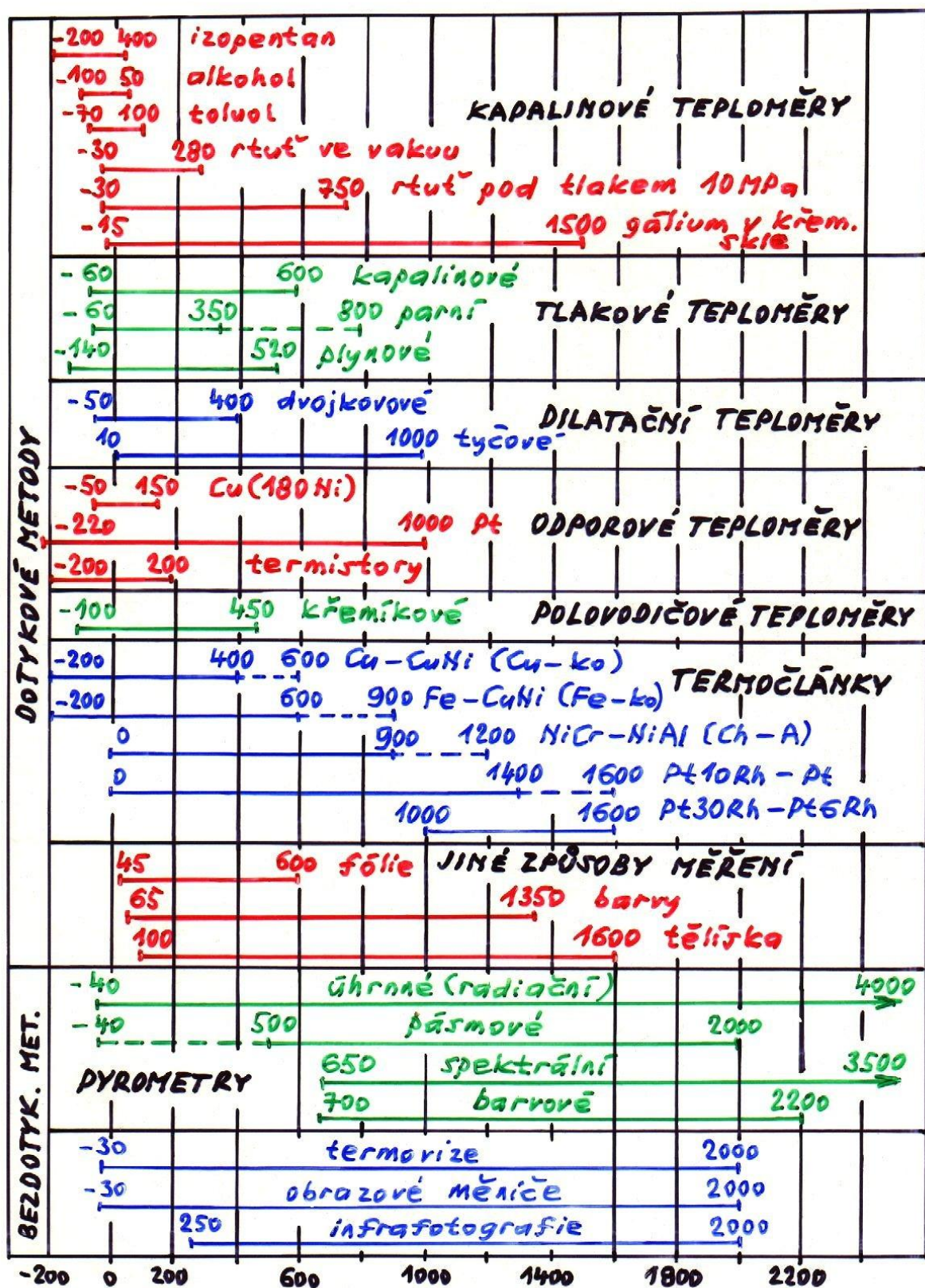
Obr.3.4 Umělý termočlánek

Přirozeným termočlánek se měří střední teplota všech stykových míst mezi nástrojem a obrobkem. Protože tento termočlánek umožnuje registrovat okamžité změny teploty řezání, používá se nejen při experimentální práci, ale slouží i jako jeden z možných snímačů obráběcího procesu u obráběcích strojů s adaptivním řízením. Měřicí spoj přirozeného termočlánku je na stykových plochách mezi nástrojem a obrobkem. Nástroj a obrobek jsou vzájemně elektricky izolovány. Nevýhodou tohoto termočlánku je, že pro každou kombinaci materiálu nástroje a materiálu obrobku musí být stanovena cejchovní křivka. Přirozený termočlánek může být konstruován i jako termoduo, kdy jsou pro jeho vytvoření využity dva nástroje z různých materiálů (např. kombinace slinutého karbidu a cermetu - obr.3.5).



Obr.3.5 TermoModo

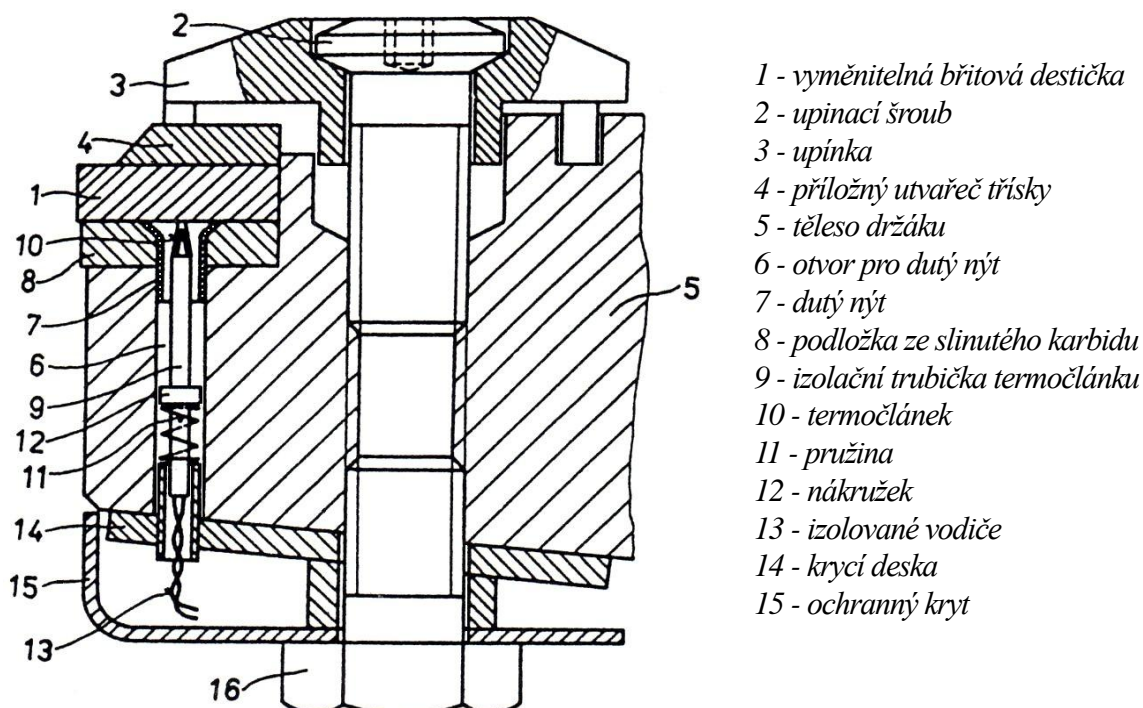
Rozsahy teplot, které lze měřit jednotlivými typy umělých termočlánků jsou spolu s měřicími rozsahy ostatních prostředků pro měření teploty uvedeny na obrázku č.3.6.



Obr.3.6 Měřicí rozsahy prostředků pro měření teploty

3.2.2. Měření teploty vyměnitelné břitové destičky soustružnického nože

Pro měření teploty vyměnitelné břitové destičky byl použit upravený soustružnický nůž CSNR 2525 K12 (obr.3.7). Úprava spočívá ve využití technologického otvoru (6) pro dutý nýt (7) v držáku (5) vyměnitelných břitových destiček pro umístění umělého termočlánku (10), který se dotýká destičky (1) uprostřed její dosedací plochy. Termočlánek je umístěn v izolační trubičce (9) a přes nákrúžek (12) je pružinou (11) přitlačován k destičce. Otvor (6), kterým prochází izolační trubička s termočlánkem je uzavřen deskou (14), která je spolu s ochranným krytem (15) připevněna k tělesu držáku šroubem (16). Tento šroub je zašroubován do závitu, vytvořeného v držáku pro upinaci šroub (2) břitové destičky. Signál termočlánku je vyveden pomocí izolovaných vodičů (13) k výhodnocovacímu milivoltmetru nebo liniovému zapisovači.



- *Obr.3.7 Zařízení pro měření teploty vyměnitelné břitové destičky ze slinutého karbidu*

Termočlánek je tvořen dvojicí Fe-Ko, železo - konstantan (slitina mědi CuNi45Mn, ČSN 42 3065), pro převod naměřených hodnot v milivoltech na hodnoty teploty ve stupních Celsia se používá převodní tabulka číslo 3.1.

Pro zkoušky byly použity vyměnitelné břitové destičky z následujících druhů nepovlakovaných i povlakovaných slinutých karbidů:

- H1 (K10 podle ISO),
- H10 - jemnozrnný slinutý karbid (K10 podle ISO),
- H10CN - slinutý karbid H10 s povlakem TiCN,
- S20 (P20 podle ISO),
- S30 (P30 podle ISO),
- S30CN - slinutý karbid S30 s povlakem TiCN,
- U1 (M10 podle ISO).

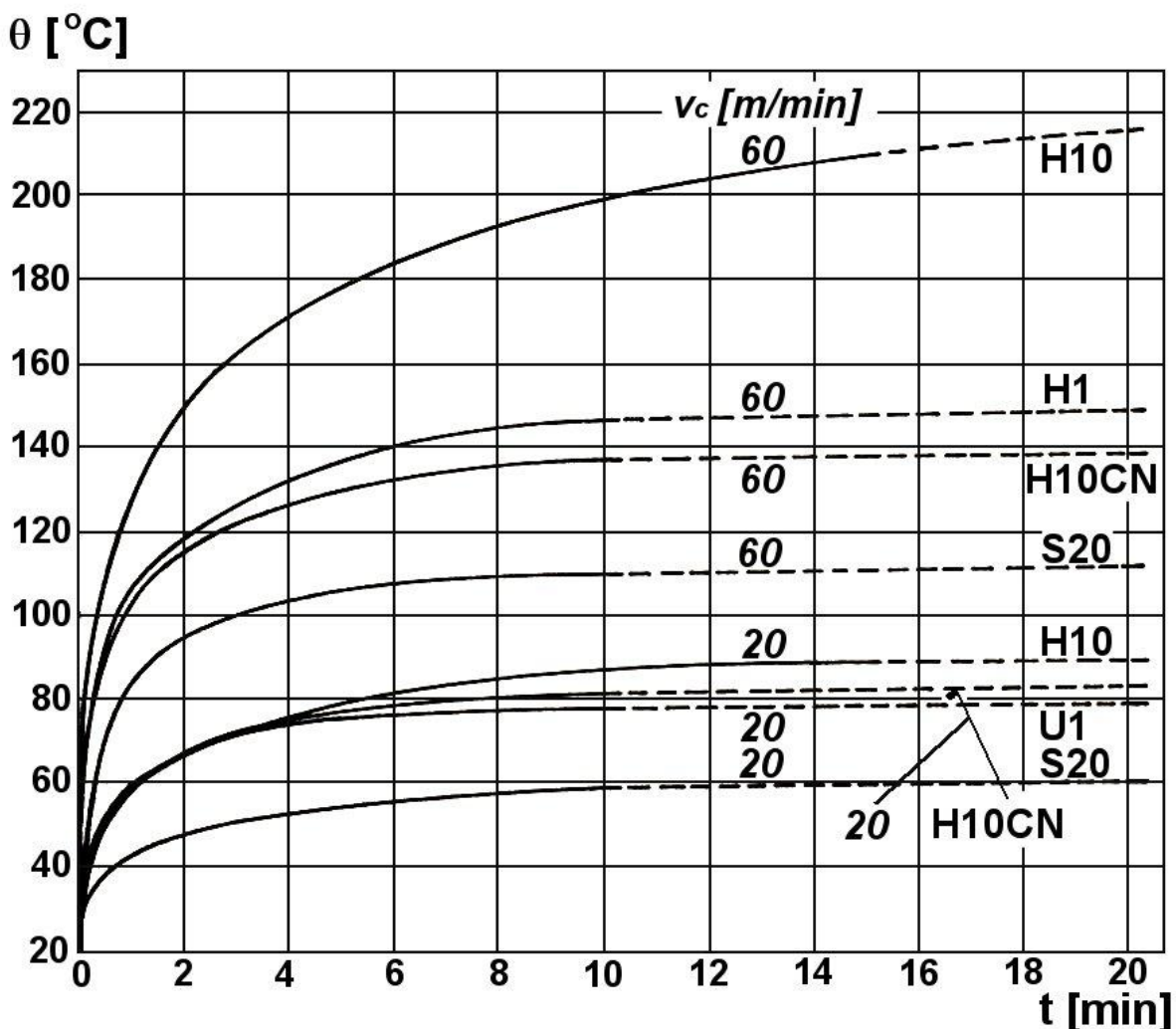
Obráběný materiál: ocel 12 050.1 a vysocepevná ocel (mez pevnosti v tahu $R_m=1480$ MPa, mez kluzu $R_p=1300$ MPa, vrubová houževnatost $KCU3= 23$ J cm⁻²). Řezné podmínky: šířka záběru ostří $a_p=1,5$ mm, posuv na otáčku $f=0,156$ mm.

Tab.3.1 Převod milivoltů na stupně Celsia pro termočlánek Fe-Ko

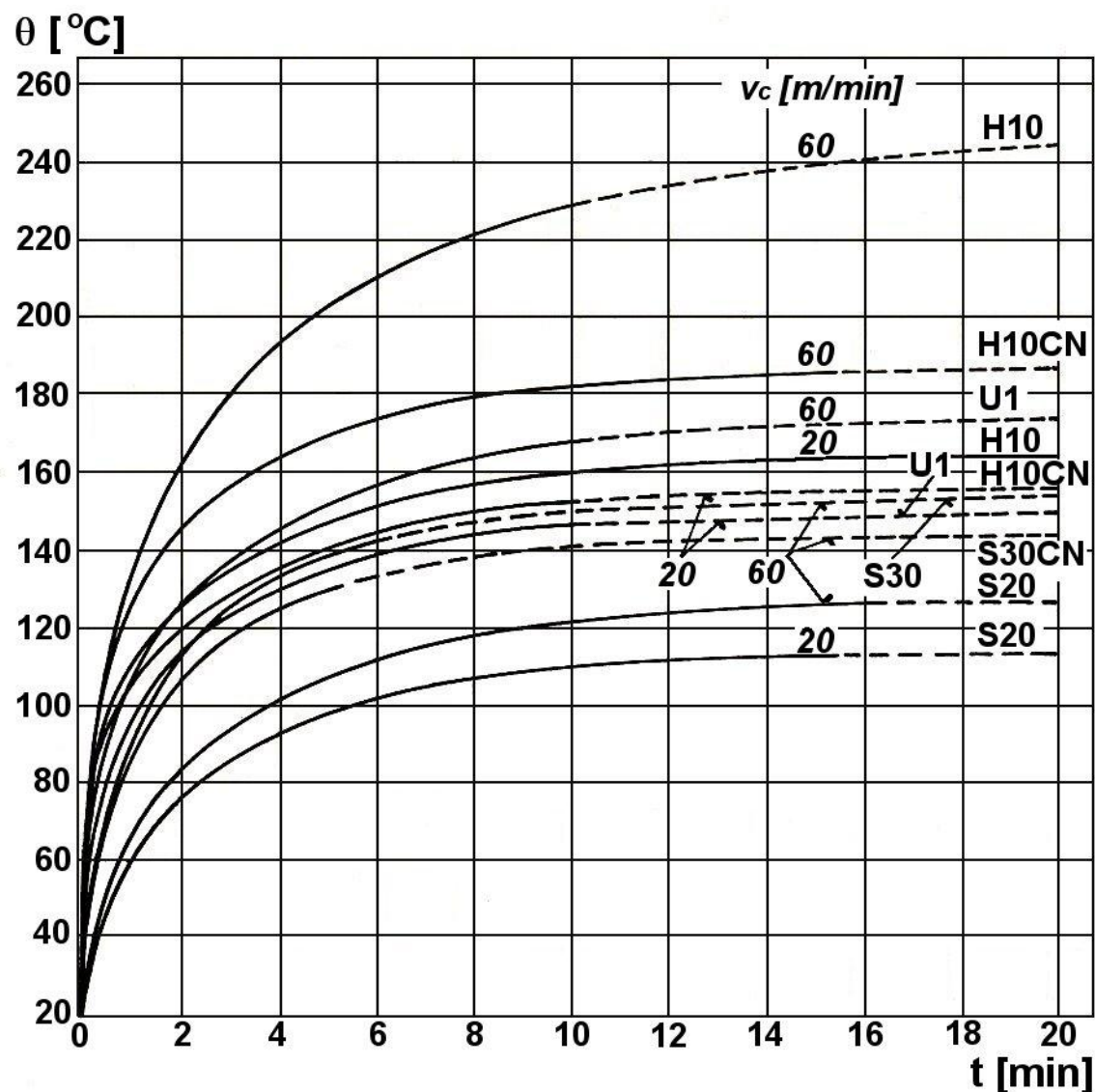
| °C | 0 | 1 | 2 | 3 | 4 | 5 | 6 | 7 | 8 | 9 | 10 |
|-----|-------|-------|-------|-------|-------|-------|-------|-------|-------|-------|-------|
| | mV | | | | | | | | | | |
| 0 | 0,00 | 0,05 | 0,10 | 0,16 | 0,21 | 0,26 | 0,31 | 0,36 | 0,42 | 0,47 | 0,52 |
| 10 | 0,52 | 0,57 | 0,63 | 0,68 | 0,73 | 0,78 | 0,84 | 0,89 | 0,94 | 1,00 | 1,05 |
| 20 | 1,05 | 1,10 | 1,16 | 1,21 | 1,26 | 1,31 | 1,37 | 1,42 | 1,47 | 1,53 | 1,58 |
| 30 | 1,58 | 1,63 | 1,69 | 1,74 | 1,79 | 1,84 | 1,90 | 1,95 | 2,00 | 2,06 | 2,11 |
| 40 | 2,11 | 2,16 | 2,22 | 2,27 | 2,33 | 2,38 | 2,43 | 2,49 | 2,54 | 2,64 | 2,65 |
| 50 | 2,65 | 2,70 | 2,76 | 2,81 | 2,87 | 2,92 | 2,97 | 3,03 | 3,08 | 3,14 | 3,19 |
| 60 | 3,19 | 3,24 | 3,30 | 3,35 | 3,41 | 3,46 | 3,51 | 3,57 | 3,62 | 3,68 | 3,73 |
| 70 | 3,73 | 3,78 | 3,84 | 3,89 | 3,95 | 4,00 | 4,05 | 4,11 | 4,16 | 4,22 | 4,27 |
| 80 | 4,27 | 4,32 | 4,38 | 4,43 | 4,49 | 4,54 | 4,60 | 4,65 | 4,71 | 4,77 | 4,82 |
| 90 | 4,82 | 4,87 | 4,93 | 4,98 | 5,04 | 5,09 | 5,15 | 5,20 | 5,26 | 5,32 | 5,37 |
| 100 | 5,37 | 5,42 | 5,48 | 5,53 | 5,59 | 5,64 | 5,70 | 5,75 | 5,81 | 5,87 | 5,92 |
| 110 | 5,92 | 5,97 | 6,03 | 6,08 | 6,14 | 6,19 | 6,25 | 6,30 | 6,36 | 6,42 | 6,47 |
| 120 | 6,47 | 6,53 | 6,58 | 6,64 | 6,69 | 6,75 | 6,81 | 6,86 | 6,92 | 6,97 | 7,03 |
| 130 | 7,03 | 7,09 | 7,14 | 7,20 | 7,25 | 7,31 | 7,37 | 7,42 | 7,48 | 7,53 | 7,59 |
| 140 | 7,59 | 7,65 | 7,70 | 7,76 | 7,81 | 7,87 | 7,93 | 7,98 | 8,04 | 8,09 | 8,15 |
| 150 | 8,15 | 8,21 | 8,26 | 8,32 | 8,37 | 8,43 | 8,49 | 8,54 | 8,60 | 8,65 | 8,71 |
| 160 | 8,71 | 8,77 | 8,82 | 8,88 | 8,93 | 8,99 | 9,05 | 9,10 | 9,16 | 9,21 | 9,27 |
| 170 | 9,27 | 9,33 | 9,38 | 9,44 | 9,49 | 9,55 | 9,61 | 9,66 | 9,72 | 9,77 | 9,83 |
| 180 | 9,83 | 9,89 | 9,94 | 10,00 | 10,05 | 10,11 | 10,17 | 10,22 | 10,28 | 10,33 | 10,39 |
| 190 | 10,39 | 10,45 | 10,50 | 10,56 | 10,61 | 10,67 | 10,73 | 10,78 | 10,84 | 10,89 | 10,95 |
| 200 | 10,95 | 11,01 | 11,06 | 11,12 | 11,17 | 11,23 | 11,29 | 11,34 | 11,40 | 11,45 | 11,51 |
| 210 | 11,51 | 11,57 | 11,62 | 11,68 | 11,73 | 11,79 | 11,85 | 11,90 | 11,96 | 12,01 | 12,07 |
| 220 | 12,07 | 12,13 | 12,18 | 12,24 | 12,29 | 12,35 | 12,41 | 12,46 | 12,52 | 12,57 | 12,63 |
| 230 | 12,63 | 12,69 | 12,74 | 12,80 | 12,85 | 12,91 | 12,97 | 13,02 | 13,08 | 13,13 | 13,19 |
| 240 | 13,19 | 13,25 | 13,30 | 13,36 | 13,41 | 13,47 | 13,53 | 13,58 | 13,64 | 13,69 | 13,75 |
| 250 | 13,75 | 13,81 | 13,86 | 13,92 | 13,97 | 14,03 | 14,09 | 14,14 | 14,20 | 14,26 | 14,31 |
| 260 | 14,31 | 14,37 | 14,42 | 14,48 | 14,54 | 14,59 | 14,65 | 14,71 | 14,76 | 14,82 | 14,88 |
| 270 | 14,88 | 14,94 | 14,99 | 15,05 | 15,10 | 15,16 | 15,22 | 15,27 | 15,33 | 15,38 | 15,44 |
| 280 | 15,44 | 15,50 | 15,55 | 15,61 | 15,66 | 15,72 | 15,78 | 15,83 | 15,89 | 15,94 | 16,00 |
| 290 | 16,00 | 16,06 | 16,11 | 16,17 | 16,22 | 16,28 | 16,34 | 16,39 | 16,45 | 16,50 | 16,56 |
| 300 | 16,56 | 16,62 | 16,67 | 16,73 | 16,78 | 16,84 | 16,90 | 16,95 | 17,01 | 17,06 | 17,12 |
| 310 | 17,12 | 17,18 | 17,23 | 17,28 | 17,34 | 17,40 | 17,46 | 17,51 | 17,57 | 17,62 | 17,68 |
| 320 | 17,68 | 17,74 | 17,79 | 17,85 | 17,90 | 17,96 | 18,02 | 18,07 | 18,13 | 18,19 | 18,24 |
| 330 | 18,24 | 18,30 | 18,36 | 18,41 | 18,46 | 18,52 | 18,58 | 18,63 | 18,69 | 18,74 | 18,80 |
| 340 | 18,80 | 18,86 | 18,91 | 18,97 | 19,02 | 19,08 | 19,14 | 19,19 | 19,25 | 19,30 | 19,36 |
| 350 | 19,36 | 19,42 | 19,47 | 19,53 | 19,58 | 19,64 | 19,70 | 19,75 | 19,81 | 19,86 | 19,92 |
| 360 | 19,92 | 19,98 | 20,03 | 20,09 | 20,14 | 20,20 | 20,26 | 20,31 | 20,37 | 20,42 | 20,48 |
| 370 | 20,48 | 20,54 | 20,59 | 20,65 | 20,70 | 20,76 | 20,82 | 20,87 | 20,93 | 20,98 | 21,04 |
| 380 | 21,04 | 21,10 | 21,15 | 21,21 | 21,26 | 21,32 | 21,38 | 21,43 | 21,49 | 21,54 | 21,60 |
| 390 | 21,60 | 21,65 | 21,71 | 21,77 | 21,82 | 21,88 | 21,94 | 21,99 | 22,05 | 22,10 | 22,16 |
| 400 | 22,16 | 22,22 | 22,27 | 22,33 | 22,38 | 22,44 | 22,50 | 22,55 | 22,61 | 22,66 | 22,72 |

Záznamy časového průběhu teplot při obrábění oceli 12 050.1 řeznými rychlostmi $v_c = 20 \text{ m min}^{-1}$ a $v_c = 60 \text{ m min}^{-1}$ jsou uvedeny na obrázku č.3.8, záznamy časového průběhu teplot při obrábění vysocepevné oceli stejnými řeznými rychlostmi na obrázku č.3.9. Plná čára znamená u každého grafu naměřenou část, čárkovanou čárou je časový průběh doplněn na základě výpočtu až do doby $t=20$ minut.

Všechny získané záznamy mají parabolický průběh, s výrazným nárůstem teploty v počáteční fázi obrábění. Zhruba po 10 minutách se měřené teploty ustálily a dále narůstaly jen minimálně, z čehož lze usuzovat na vyrovnaní tepelné bilance mezi zdrojem a odvodem tepla. Zvýšení řezné rychlosti se projeví nárůstem teplot, vícekarbidové (U1, S20, S30) a povlakované slinuté karbidy vykazují nižší teploty ve srovnání s jednokarbidovým SK (K10) a jsou též méně citlivé na nárůst řezné rychlosti. Vyšší teploty byly u srovnatelných slinutých karbidů a srovnatelné řezné rychlosti naměřeny při obrábění vysocepevné oceli. Povlaky působí příznivě na snížení teploty břitových destiček,



Obr.3.8 Průběhy teplot při obrábění oceli 12 050.1



Obr. 3.9 Průběhy teplot při obrábění vysocepevné oceli

3.2.3. Pyrometry

Klasifikace pyrometrů:

- **radiační** (měří úhrnné záření, tj. celkovou energii vyzařovanou v určitém směru, v celém spektru vlnových délek),
- **fotoelektrické** (měří pásmové záření, tj. záření v úzkém pásmu vlnových délek, vymezeném použitou optikou, filtry a spektrální citlivostí snímače),
- **spektrální** (jasové - využívají úzkou oblast viditelného pásma záření),
- **barevné** (nazývané též distribuční - využívají oblast viditelného záření a teplotu měří prostřednictvím tzv. barevné teploty). Barevná teplota zářiče je teplota černého zářiče, při níž má jeho záření v určitém oboru spektra stejné poměrné spektrální rozložení, jako daný zářič.

Pro měření teploty řezného nástroje jsou pyrometry využitelné pouze v omezené míře, protože se musí přesně zaměřit a při pohybu nástroje se s ním navíc musí synchronně pohybovat. Snímaná oblast na nástroji je příliš veliká a proto jsou naměřené hodnoty teploty nástroje ovlivněny dalšími faktory, jako je teploty třísky či obrobku.



Obr.3.10 Pyrometry Raynger firmy AMR

4. ANALÝZA ŘEZNÝCH VLASTNOSTÍ VRTÁKŮ Z RYCHLOŘEZNÉ OCELI S PVD POVLAKY

Zadání:

Provedte analýzu zatížení šroubovitých vrtáků povlakovaných PVD povlaky nové generace, určených pro vrtání uhlíkatých ocelí tř. 12 s chladicí emulzí CIMSTAR 560 - 5% a za sucha, při různých hodnotách posuvové rychlosti. Jako srovnávací kriterium použijte bodové odhadu středních hodnot axiálních sil a krouticích momentů, potřebných pro neprůchozí vrtání děr hloubky 3.D (D - průměr vrtáku).

Je dáno:

- šroubovité vrtáky ϕ 6 mm, DIN 338-N, výrobce ZPS-FN, Zlín, a.s., pobočný závod Kyjov
- dtto, s PVD povlaky TiN, TiCN, TiAlN a MOVIC® firmy LISS Platin, a.s., Rožnov pod Radhoštěm
- polosyntetická chladicí emulze CIMSTAR 560-5% objemové koncentrace pro středně namáhavé operace obrábění
- měřicí aparatura KISTLER se čtyřsložkovým snímačem KISTLER 9272, plně řízená PC
- uhlíkatá ocel 12 050.1 ve stavu obrozeném na čisto (bez kury)
- stolní vrtačka VS 20, běžné upínací nářadí
- doporučené řezné podmínky: $v_c = 34$ m/min (tzn. cca 1600 ot/min), posuvy $f = 0,08, 0,12, 0,20$ a $0,32$ mm/ot.

Obsah elaborátu:

- schématické znázornění experimentu
- vlastní měření obou sledovaných veličin
- import dat do programu Statgraphics, vykreslení jednoho celého časového průběhu měření pro obě sledované veličiny
- statistické zpracování naměřených souborů, určení bodových odhadů středních hodnot daných veličiny
- tabulka dosažených výsledků
- sloupcové a regresní diagramy naměřených veličin pro dílčí měření a dané podmínky
- závěrečné vyhodnocení a doporučení.

Popis souborů:

| Posuv [mm/o t] | VRTÁNÍ ZA SUCHA | | | | | VRTÁNÍ S EMULZÍ | | | | |
|----------------------|-----------------|-----|------|-------|------------|-----------------|-----|------|-------|------------|
| | HSS | TiN | TiCN | TiAlN | Movic ® | HSS | TiN | TiCN | TiAlN | Movic ® |
| 0,08 | hs1 | ns1 | cs1 | as1 | ms1 | he1 | ne1 | ce1 | ae1 | me1 |
| 0,12 | hs2 | ns2 | cs2 | as2 | ms2 | he2 | ne2 | ce2 | ae2 | me2 |
| 0,20 | hs3 | ns3 | cs3 | as3 | ms3 | he3 | ne3 | ce3 | ae3 | me3 |
| 0,32 | hs4 | ns4 | cs4 | as4 | ms4 | he4 | ne4 | ce4 | ae4 | me4 |

Soubory s extenzí .re1 jsou axiální síly; soubory s extenzí .re2 jsou kroutící momenty.

1. Úvod do problematiky

Technologické zkoušky řezivosti povlaků, prováděné na FSI VUT v Brně, Ústavu strojírenské technologie, odboru obrábění, vyhodnocují převážně tyto veličiny:

- měření charakteristických forem opotřebení (ISO 3685) - VB, VN, VC, KT, atd.
- měření zatížení nástroje - axiální síly a krouticího momentu.

Analýzy měření průběhů opotřebení jsou dnes již víceméně rutinní záležitostí, nicméně mají svá úskalí, spočívající především v těchto skutečnostech:

- u vícebřitých nástrojů nemusí reálné opotřebení probíhat na všech břitech stejnouměřně;
- vlastní rozvoj opotřebení má různou intenzitu na čelních a hřbetních plochách hlavních, vedlejších, resp. přičních ostrí, což komplikuje měření;
- při použití běžných dílenských světelných mikroskopů lze obtížně odlišovat skutečné míry ploch opotřebených od ploch reflektujících světlo v důsledky jejich záběhu a zanešení částicemi obráběného materiálu;
- měření komplikuje nárůstek a ulpělé částice trísek - odstranění nárůstku za účelem měření může vést k nechtěné delaminaci povlaku i poškození ostrí;
- obrábění je nutno zastavovat za účelem měření, což prodlužuje dobu experimentů.

S uvážením variantnosti geneze povlaků, potřeby opakování zkoušek a zachování konzistence dat dnes získávají na důležitosti metody, které výše uvedené nedostatky pokud možno eliminují. Jednou z možností je měření zatížení nástrojů a analýza procesu obrábění pomocí matematicko-fyzikálních modelů, poskytujících celou řadu užitečných parametrů:

- celkové silové a momentové namáhání nástroje - F_f [N] a M_c [Nm],
- podíl zatížení přenášený jádrem vrtáku - F_\perp [N] a M_\perp [Nm],
- příkon na vrtání tvořený krouticím momentem P_{Mc} a posuvovou složkou P_{Ef} , [W]
- mikroanalýzu sil v kořenu trísky ve směru odvodu trísky (v ortogonální rovině) - tzn. sílu působící na jeden břit F_1 , její horizontální a vertikální složku F_{h1} , F_{v1} [N],
- výpočet měrné řezné síly k_c a predikci mezní pevnosti obráběného materiálu R_m [MPa],
- výpočet měrné energie obrábění e_c [J/mm³],
- součinitel tření na čele nástroje μ [-] v místě odvodu trísky.

Podstatným rysem této metody je zahnutí reálné geometrie testovaných nástrojů, což umožňuje srovnávat i odlišné konstrukce nástrojů - zvláště v měrných ukazatelích. Získaná data nabízejí řadu možností a srovnání, jak absolutních, tak relativních, neboť změníme-li kterýkoliv vstupní parametr, lze pozorovat tento vliv na celou řadu výstupních veličin. Z hlediska metodiky a principu zkoušky je tato zkouška nezastupitelná, neboť se jedná o reálné testování nástroje způsobem, jakým bude zatížen v praxi, se zahrnutím mechanismů, které nelze jiným způsobem nasimulovat a tudíž odpadají veškeré pochybnosti o korelace zkoušky nebo její relevantnosti, jak je tomu u jiných zkoušek (např. „scratch“ testu – tzn. zkoušky vrypem).

Z pohledu časové náročnosti se dělí technologické zkoušky povlaků na:

- krátkodobé - zkoušky jsou prováděny převážně s nástroji ostrými,
- dlouhodobé - zkoušky se provádí v celém rozsahu trvanlivosti nástroje a průběhu rozvoje opotřebení až do destrukce nástroje nebo dosažení stanovené míry opotřebení nástroje, případně nastoupení určitého jevu, zamezujícího dalšímu obrábění.

Obvyklým cílem **krátkodobých zkoušek** je převážně hledání závislostí, které nejsou výrazně ovlivněny rozvojem opotřebení a tudíž je lze do jisté míry zanedbat. Velikost tohoto zanedbání (přípustné chyby měření) lze snadno posoudit pomocí stability měřeného signálu - pokud má měřená veličina stoupající nebo klesající trend, je to známkou nestability děje a pak je nutno analyzovat jeho příčiny, které nelze pominout. Pokud má zatížení ustálený charakter, pak je rozvoj opotřebení víceméně stagnující a měření lze považovat z hlediska další kvantifikace za vyhovující. Při vlastní metodice zkoušky se zachovává gradace řezných podmínek od nejméně náročných řezů k nejvíce náročným úběrům. Tímto způsobem lze určit například závislosti zatížení nástroje na řezných podmínkách, potřebné pro dimenzování pohonů strojů.

Cílem **dlouhodobých zkoušek** je popsání vybraných ukazatelů v závislosti na čase obrábění, resp. na počtu odvrtných děr nebo celkové dosažené hloubce vrtání. Jednou ze základních podmínek úspěšnosti je nastavení počátečních řezných podmínek takových, aby nedošlo k překrytí sledovaného děje jiným dějem - např. měření průběhu rozvoje opotřebení s jevem zahlcování vrtáku odváděnými trískami nebo vrtání díry slepé a průchozí, což vede k odlišnému zatížení nástroje, zvláště u konvenčních strojů. Obecně známé empirické pravidlo pro hloubku vrtané díry u šroubovitých vrtáků rovnající se trojnásobku průměru vrtáku je plně vyhovující, i když je nový nástroj schopen zpočátku vrtat i větší hloubky bez výplachu. Nezastupitelnou výhodou dlouhodobých zkoušek je jejich přímá návaznost na ekonomické analýzy, neboť je zjištěna celková trvanlivost nástroje v závislosti na řezných podmínkách. Tato pomáhá vytvořit komplexní obraz o úspěšnosti nástrojů, povlaků, jejich rentabilitě a dalších parametrech sledované technologie.

2. Vlastní testování povlaků HSS vrtáků pomocí řezných zkoušek

2.1. Popis nástrojů

K testování byly použity šroubovité vrtáky z produkce ZPS - FN, a.s., ZLÍN, o $\phi 6,00$ mm, DIN 338 R-N, nepovlakovány a povlakovány PVD vrstvami TiN, TiCN, TiAlN (multivrstvy) a TiN/Movic®. Poslední povlak byl na rozdíl od předchozích povlaků povlakem měkkým na bázi MoS₂, který obecně ovlivňuje třecí podmínky na kontaktních plochách a tato vrstva byla aplikována na podkladové tvrdé vrstvě TiN. Všechny povlaky byly provedeny společností LISS, a.s., Rožnov pod Radhoštěm, PVD technologií Platit. Vrtáky byly upínány do třícelistového sklíčidla ČSN 24 1320 s minimálním vysazením. Takto upnuté vrtáky byly dále upínány do dutiny vřetene MORSE 3 stolní vrtačky VS 20, s výkonem 1,5 kW.

2.2. Obrobky

Obrobky měly ve stavu obrobeném bez kůry tvar plochých tyčí o přířezech 45x100-300 mm, které byly řezány z kusů o délce 600 mm. Jeden přířez byl upnut na měřicí dynamometr, druhý na křízový stůl. U dlouhodobých testů probíhalo vrtání střídavě - po obrobení zvolené dávky děr v obrobku na křízovém stolu, orientovaných příčně k podélné ose obrobku, byla provedena kontrolní díra v kusu upevněném na dynamometru. Pro krátkodobé testy byl použita ušlechtilá ocel uhlíkatá 12 050.1.

2.3. Řezné podmínky

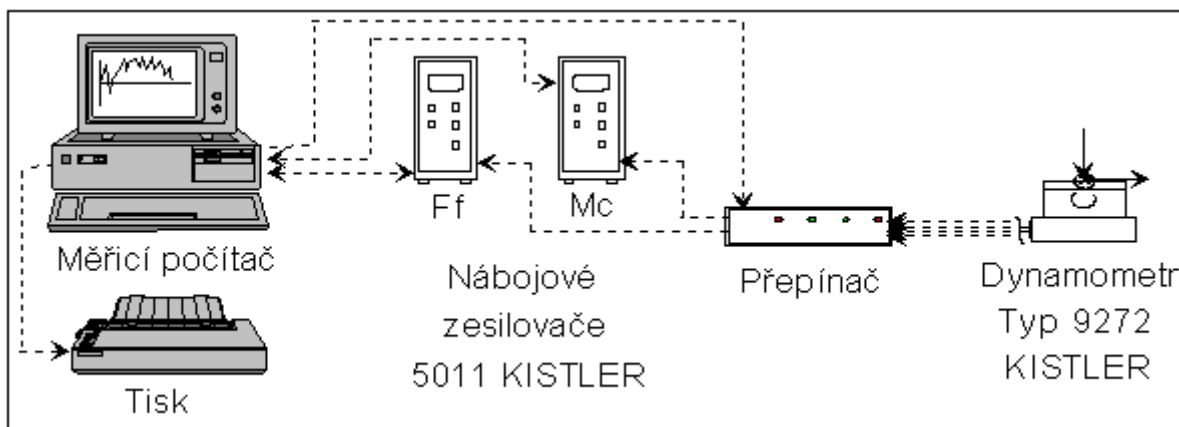
Pro krátkodobé zkoušky (na oceli 12 050.1) byla zvolena řezná rychlosť $v_c=34$ [m/min] a série posuvových rychlosťí v rozsahu 144-576 [mm/min]. Rozvoj opotřebení byl vzhledem k nízkému počtu zkoušek zanedbán.

2.4. Chlazení

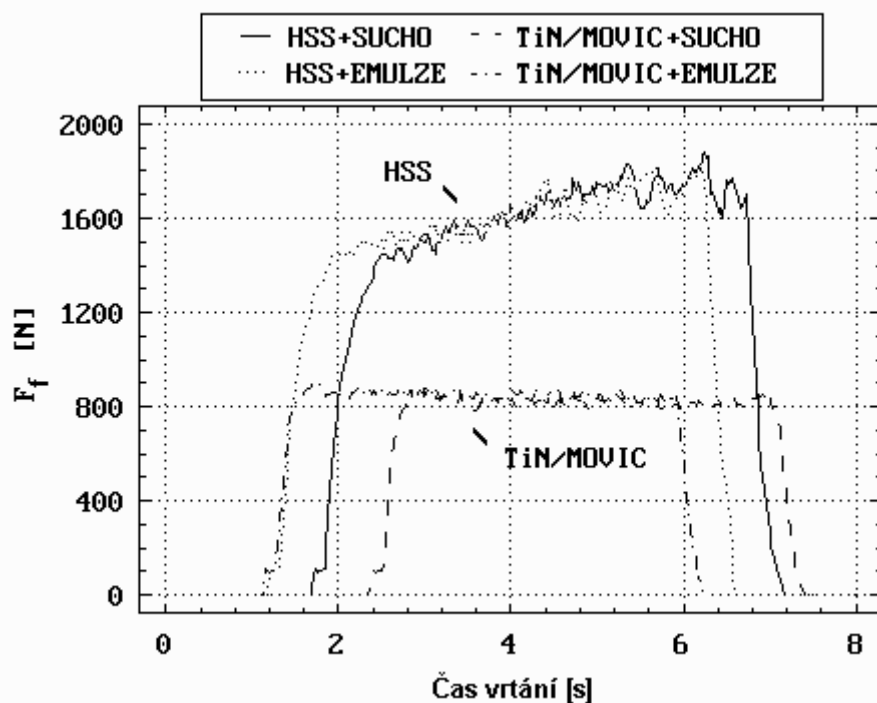
Zkoušky byly provedeny vrtáním za sucha i s chladicí polosyntetickou emulzí CIMSTAR 560 - 5% (CIMCOOL Industrial Products, Holandsko). Kvalita vody v obou testech: pH: 7,1; NO₃ : 50; NO₂ : 0-2; tvrdost podle DIN:15-19. Skutečná koncentrace emulze byla kontrolována měřením pomocí ručního refraktometru.

2.5. Schématické znázornění experimentu, měřicí technika

K měření byl použit čtyřsložkový piezoelektrický dynamometr KISTLER 9272, plně řízený počítačem – obr. 1, dílenský mikroskop Carl-Zeiss Jena se zvětšením 5-100 x a upravená optická lupa s noniem se stupnicí po 0,01 mm.



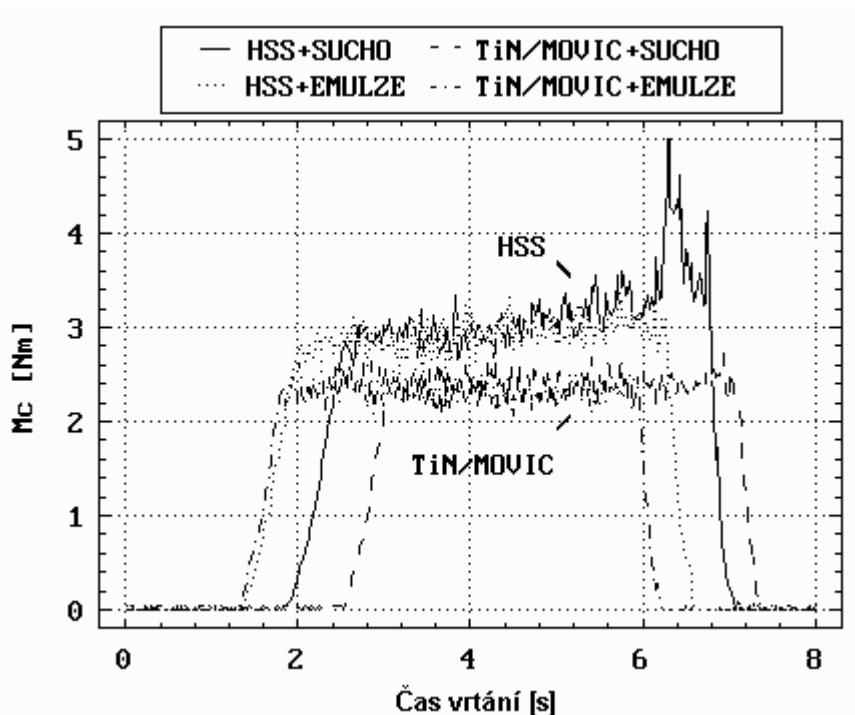
Obr. 1 Schématické znázomění snímání měřených veličin.



Obr. 2 Časový průběh axiální (posuvové) síly pro vrták bez povlaku a s povlakem TiN/Movic.

3. Dosažené výsledky

Typické průběhy obou měřených veličin jsou znázorněny na obr. 2 a 3, ze kterých je patrný jak účinek povlakování, tak chlazení na tyto sledované parametry. Z těchto průběhů je vidět zejména výrazné snížení axiální síly potřebné pro vrták povlakováný TiN+Movic®, které dosáhlo prakticky poloviční hodnoty síly ve srovnání se zatížením vrtáku bez povlaku. Zatížení nepovlakovaného vrtáku při obrábění za sucha rostlo s hloubkou vrtané díry a ke konci vrtání se zhorskáním odvodu trísek blížilo stavu adhezního zadření, což bylo patrné zejména nárůstem krouticího momentu při dovrťávání díry. Chladicí emulze dokázala tomuto koncovému zadírání účinně zabránit, ale nedokázala redukovat nárůst zatížení v takovém rozsahu jako povlakování nástroje. Tyto dva průběhy při daných testech vytvářely vždy extrémní hodnoty a ostatní průběhy pro povlaky TiN, TiCN a TiAlN ležely sevřeny mezi těmito křivkami.



Obr. 3 Časový průběh krouticího momentu pro vrták bez povlaku a s povlakem TiN/Movic.

Po provedení všech testů byly z daných průběhů zatížení odseparovány časové fáze relativně stabilizovaného vrtání, charakterizovatelné parametry normálního rozdělení, přičemž střední hodnoty těchto veličin jsou uvedeny v tab. 1 a 2 (u rychlořezné oceli a stavu vrtání za sucha byl vždy patrný časový nárůst těchto veličin, zvláště u vyšších posuvů).

Tab. 1 Střední hodnoty axiálních sil v [N] pro vrtání oceli 12 050.1 pro různé PVD povlaky a různé hodnoty posuvů (řezná rychlosť $v_c=34$ m/min).

| posuv [mm/ot] | VRTÁNÍ ZA SUCHA | | | | | VRTÁNÍ S EMULZÍ CIMSTAR 560 - 5% | | | | |
|------------------|-----------------|------|------|-------|----------------|----------------------------------|------|------|-------|----------------|
| | HSS | TiN | TiCN | TiAIN | TiN/ Movic® | HSS | TiN | TiCN | TiAIN | TiN/ Movic® |
| 0,08 | | 579 | | | | | 563 | | | |
| 0,12 | | 742 | | | | | 724 | | | |
| 0,20 | | 1068 | | | | | 1048 | | | |
| 0,32 | | 1556 | | | | | 1533 | | | |

Tab. 2 Střední hodnoty krouticích momentů v [Nm] pro vrtání oceli 12 050.1 pro různé PVD povlaky a různé hodnoty posuvů.

| posuv [mm/ot] | VRTÁNÍ ZA SUCHA | | | | | VRTÁNÍ S EMULZÍ CIMSTAR 560 - 5% | | | | |
|------------------|-----------------|------|------|-------|----------------|----------------------------------|------|------|-------|----------------|
| | HSS | TiN | TiCN | TiAIN | TiN/ Movic® | HSS | TiN | TiCN | TiAIN | TiN/ Movic® |
| 0,08 | | 1,26 | | | | | 1,16 | | | |
| 0,12 | | 1,71 | | | | | 1,59 | | | |

| | | | | | | | | | | |
|------|--|------|--|--|--|--|------|--|--|--|
| 0,20 | | 2,62 | | | | | 2,44 | | | |
| 0,32 | | 3,97 | | | | | 3,72 | | | |

Tab. 3 Hodnoty konstant pro regresní výpočetní vztahy pro výpočet axiálních sil a krouticích momentů pro vrtání oceli 12 050.1 pro různé PVD povlaky a stavy chlazení - šroubovitý vrták ϕ 6 mm, $v_c = 34$ m/min.

| hodnoty konstant | VRTÁNÍ ZA SUCHA | | | | | VRTÁNÍ S EMULZÍ CIMSTAR 560 - 5% | | | | |
|------------------|-----------------|-------|------|-------|------------|----------------------------------|-------|------|-------|------------|
| | HSS | TiN | TiCN | TiAlN | TiN/Movic® | HSS | TiN | TiCN | TiAlN | TiN/Movic® |
| k_1 | | 4068 | | | | | 4045 | | | |
| q_1 | | 254 | | | | | 239 | | | |
| k_2 | | 11,28 | | | | | 10,66 | | | |
| q_2 | | 0,36 | | | | | 0,33 | | | |

Tab. 4 Účinek chlazení emulzí CIMSTAR 560 - 5% na relativní pokles středních hodnot axiálních sil a krouticích momentů potřebných k vrtání oceli 12 050.1 - pro různé PVD povlaky a posuvy - ve srovnání s vrtáním za sucha.

| posuv [mm/ot] | REDUKCE PŘÍTLAČNÉ SÍLY NA VRTÁK [%] | | | | | REDUKCE NAMÁHÁNÍ VRTÁKU NA KRUT [%] | | | | |
|---------------|-------------------------------------|-------|------|-------|------------|-------------------------------------|-------|------|-------|------------|
| | HSS | TiN | TiCN | TiAlN | TiN/Movic® | HSS | TiN | TiCN | TiAlN | TiN/Movic® |
| 0,08 | | -2,42 | | | | | -8,13 | | | |
| 0,12 | | -1,91 | | | | | -6,74 | | | |
| 0,20 | | -1,33 | | | | | -6,29 | | | |
| 0,32 | | -0,98 | | | | | -5,56 | | | |

Tab. 5 Účinek různých druhů PVD povlaků na relativní pokles středních hodnot axiálních sil potřebných pro vrtání oceli 12 050.1 HSS vrtákem pro různé posuvy a podmínky chlazení.

| posuv [mm/ot] | REDUKCE PŘÍTLAČNÉ SÍLY NA VRTÁK [%] | | | | | | | |
|---------------|-------------------------------------|------|-------|------------|----------------------------------|------|-------|------------|
| | VRTÁNÍ ZA SUCHA | | | | VRTÁNÍ S EMULZÍ CIMSTAR 560 - 5% | | | |
| | TiN | TiCN | TiAlN | TiN/Movic® | TiN | TiCN | TiAlN | TiN/Movic® |
| 0,08 | -12,27 | | | | -14,83 | | | |
| 0,12 | -23,98 | | | | -23,06 | | | |
| 0,20 | -33,58 | | | | -30,13 | | | |
| 0,32 | -39,12 | | | | -34,49 | | | |

Tab. 6 Účinek různých druhů PVD povlaků na relativní pokles středních hodnot krouticích momentů potřebných pro vrtání oceli 12 050.1 HSS vrtákem pro různé posuvy a podmínky vrtání.

| posuv [mm/ot] | REDUKCE NAMÁHÁNÍ VRTÁKU NA KRUT [%] | | | | | | | |
|---------------|-------------------------------------|------|-------|------------|----------------------------------|------|-------|------------|
| | VRTÁNÍ ZA SUCHA | | | | VRTÁNÍ S EMULZÍ CIMSTAR 560 - 5% | | | |
| | TiN | TiCN | TiAlN | TiN/Movic® | TiN | TiCN | TiAlN | TiN/Movic® |
| | | | | | | | | |

| | | | | | | | | |
|------|--------|--|--|--|--------|--|--|--|
| 0,08 | -5,48 | | | | -2,05 | | | |
| 0,12 | -5,87 | | | | -12,80 | | | |
| 0,20 | -17,20 | | | | -16,06 | | | |
| 0,32 | -24,26 | | | | -17,09 | | | |

Z těchto středních hodnot byly sestaveny regresní závislosti sledovaných veličin v závislosti na druhu povlaku, velikosti posuvů a chlazení v obecných tvarech

$$F_f = k_1 \cdot f + q_1 \quad (1)$$

a

$$M_c = k_2 \cdot f + q_2, \quad (2)$$

přičemž dílčí regresní koeficienty jsou uvedeny v tab. 3. Grafické znázomění těchto závislostí je znázoměno na obr. 4 až 7.

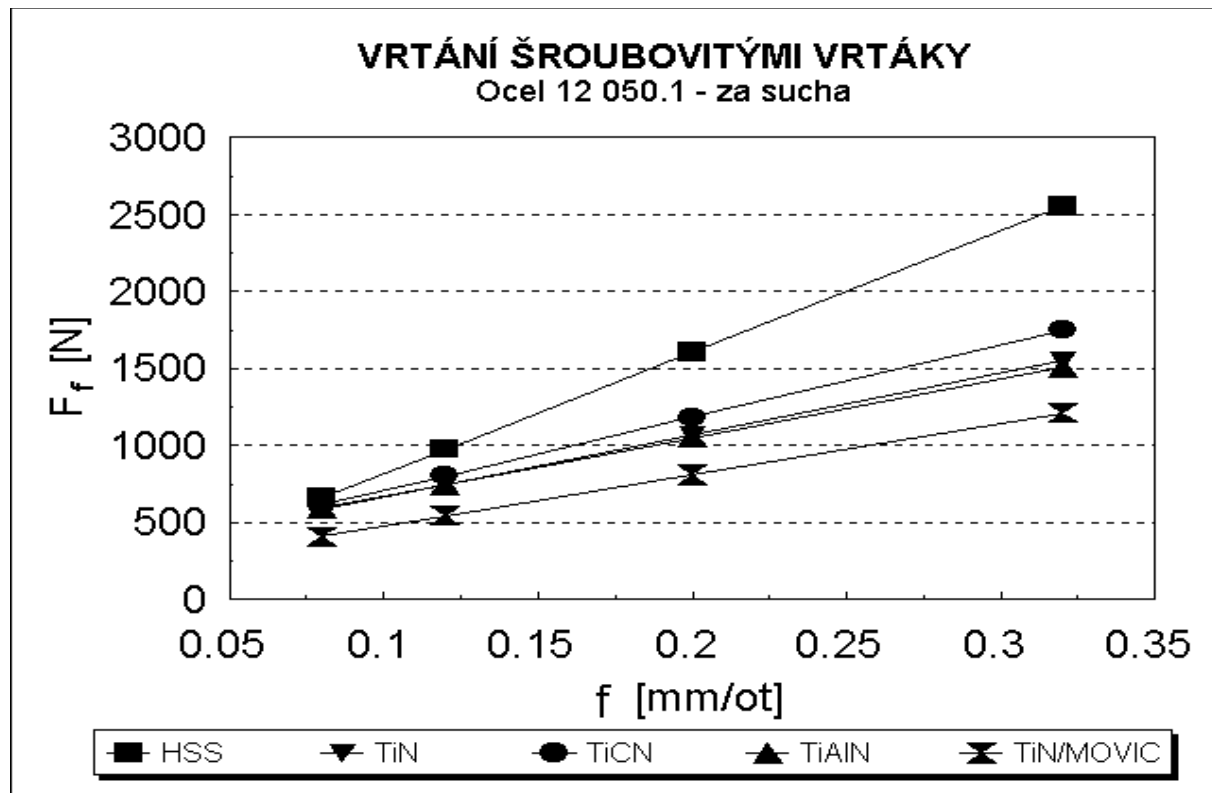
Kvantitativní rozbor účinku povlaků a chlazení je proveden v tab. 4-6, ze kterého vyplynuly tyto dílčí závěry:

- vrtání za sucha bylo vždy provázeno zhoršeným odvodem třísky, nárůstem axiální sily i krouticího momentu v závislosti na hloubce vrtané díry ;
- chladicí emulze byla schopna zabránit intenzivnímu ulpívání třísky na čele, zvláště při dovrťávání díry;
- nejvyšší přínos chladicí emulze vůči obrábění za sucha byl naměřen pro vrtání s nepovlakovaným vrtákem;
- byly pozorovány lineární regresní závislosti zatížení vrtáku v závislosti na velikosti posuvu;
- všechny testované povlaky prokázaly příznivý vliv na vrtání a vyšší účinek na snížení záteže šroubovitého vrtáku než chladicí emulze;
- u povlaku TiN/Movic® způsobilo chlazení směrem k nižším posuvům (v rozsahu posuvů 0,20-0,08) zvýšení zatížení vrtáku (patrně v důsledku nižší teploty na troucích se površích);
- absolutně nejvyššího přínosu bylo dosaženo u kombinace povlaků TiN/Movic®, který se v tomto testu jevil jako ideální kombinace pro tyto podmínky vrtání;
- odolnost a fyzikální účinky měkkého povlaku Movic® postupně klesaly s počtem odvrtaných děr a přibližně po 50 odvrtaných děrách převzal ochranné účinky podkladový povlak TiN, i když na mnoha površích byly i nadále reziduální plochy pokryty MoS₂, zklidňující průběh vrtání a odvod třísky.

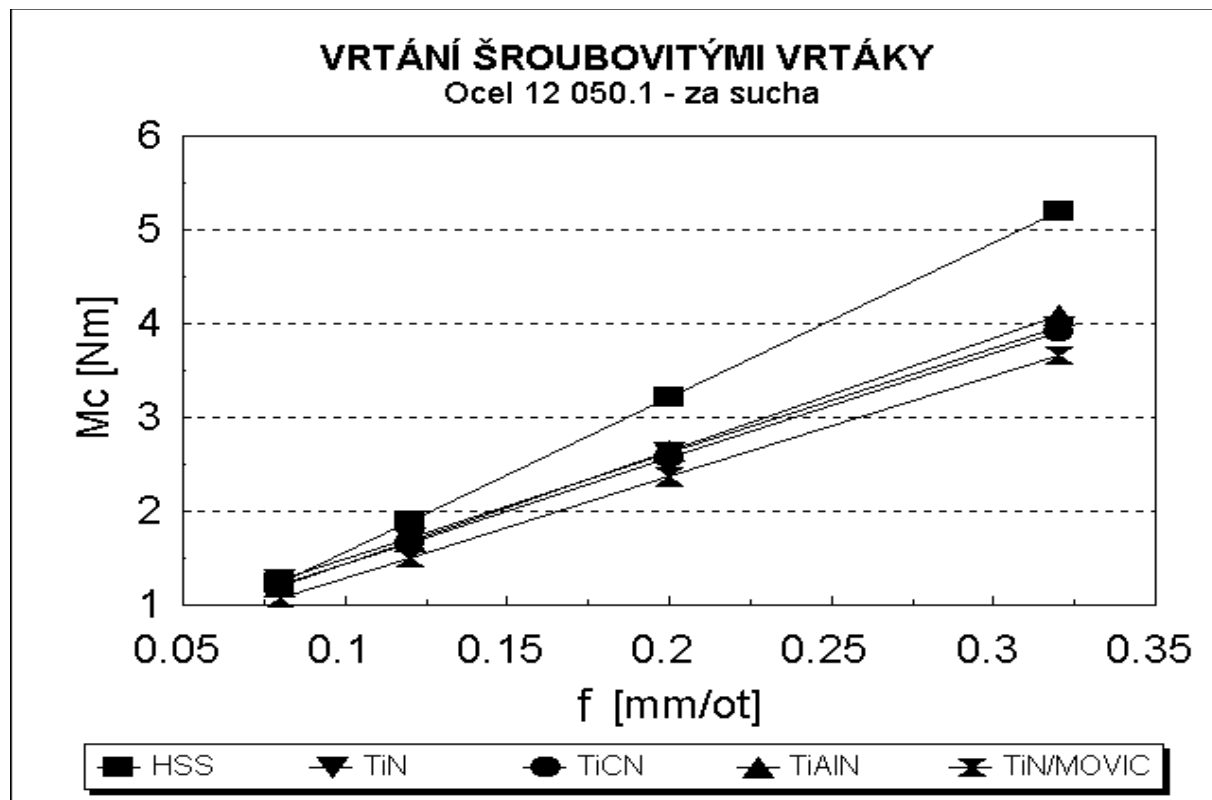
4. Závěr

Vyrobit dokonalý tvrdý povlak na rychlořezné oceli je pravděpodobně náročnější než u slinutých karbidů, neboť jsou více citlivé na použité výrobní technologie a další způsoby předúprav a poúprav funkčních povrchů břitů. Použití povlakovaných nástrojů v celkovém rozboru vyhodnocení nepředstavuje zvyšování nákladů, ale naopak v konečném výsledku jejich významnou úsporu. I přes moderní trend eliminace chladicích kapalin a podpoře obrábění za sucha tyto zkoušky, jakož i další zkušenosti u obdobných testů povlakovaných HSS ocelí prokázaly jejich plnou funkčnost a užitečnost.

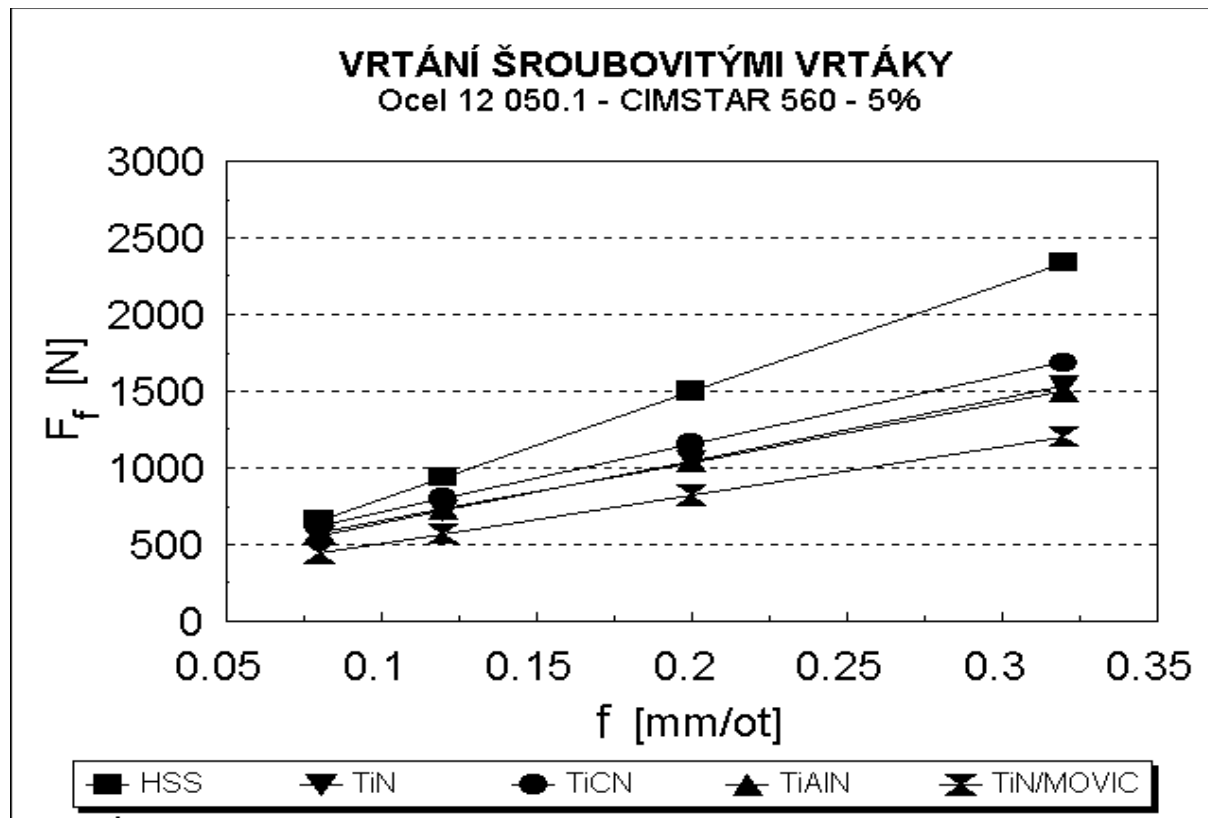
(další závěry doplní posluchači dle dílčího zadání a upřesnění vyučujícího)



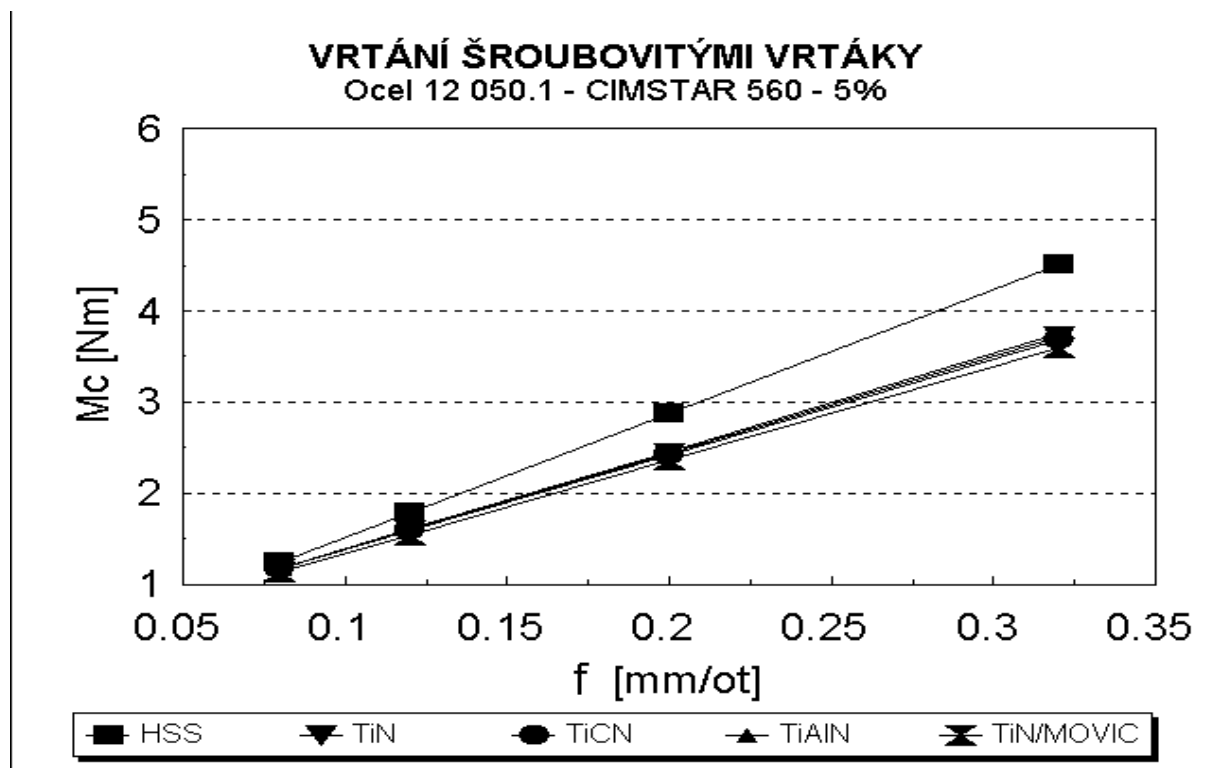
Obr. 4 Časový průběh axiální síly pro různé PVD povlaky vrtáků a různé posuvy – za sucha.



Obr. 5 Časový průběh krouticího momentu pro různé PVD povlaky vrtáků a různé posuvy – za sucha.



Obr. 6 Časový průběh axiální síly pro různé PVD povlaky vrtáků a různé posuvy
- s chlazením.



Obr. 7 Časový průběh krouticího momentu pro různé PVD povlaky vrtáků a různé posuvy
- s chlazením.

5. ANALÝZA ŘEZNÝCH VLASTNOSTÍ HRUBOVACÍCH FRÉZ

Zadání:

Pro čelní frézování ocelí se v současné době používají frézy čtyřzubé válcové hrubovací se 2 břity ke středu - DIN 844, typ NR (ISO 1641), $\phi 14$ mm, které se vyznačují tvarovým profilem ostří. Tyto nástroje se vyrábí v provedení celokarbidovém (ISO K 20-40) nebo z rychlořezných ocelí (HSS Co8), vybrušované z plna.

Pro zvolený obráběný materiál (uhlíkatá ocel 12 050.1) a dané řezné podmínky obrábění určete rozdíly v celkovém silovém namáhání fréz při nesousledném frézování pro břit s ostřím spojitém a ostřím hrubovacím. Jako srovnávací frézu zvolte frézu pro drážky per DIN 327 (ISO 1641, ČSN 22 2192.1), $\phi 16$ mm, která podobnou geometrii čela ($\lambda_s = 30^\circ$) a je ze stejného materiálu. Výrobcem obou druhů nástrojů je ZPS-FN, a.s., Zlín. Při řešení uvažujte takové pootočení frézy, při kterém dosahuje fréza největší průřez třísky A_d (největší silové namáhání). Dále vyhodnoťte účinek PVD povlaků, aplikovaných na těchto frézách - TiN, TiN+, TiCN a TiAlN.

Měřené veličiny: síly F_x, F_y [N]

Hodnocená veličina: Celková síla působící na břit F [N].

Řezné podmínky:

$v_c = 30$ m/min, $f_z = 0,05$ mm, $a_p = 16,9$ mm, $a_e = 2,0$ mm, chlazení: CIMSTAR 650 - 5%.

Tabulka 1 Popis naměřených souborů.

| Druh frézy | Měřené soubory | F_x [N] $\mu \pm \sigma$ | F_y [N] $\mu \pm \sigma$ | F [N] $\mu \pm \sigma$ | Poznámka |
|-----------------------------------|------------------------|-------------------------------|-------------------------------|-----------------------------|-------------------|
| DIN 844 (drážkovací) | d0n.re1 d0n.re2 | | | | |
| DIN 844 (drážkovací) | d1n.re1 d1n.re2 | | | | |
| DIN 844 (drážkovací) | d2n.re1 d2n.re2 | | | | |
| DIN 844 (drážkovací, povlak TiCN) | dticn.re1 dticn.re2 | | | | |
| DIN 327 (hrubovací) | h1n.re1 h1n.re2 | +43,2 $\pm 0,9$ | -392,0 $\pm 3,5$ | -395,0 $\pm 10,1$ | Kontrolní hodnoty |
| DIN 327 (hrubovací) | h3n.re1 h3n.re2 | | | | |
| DIN 327 (hrubovací) | h4n.re1 h4n.re2 | | | | |
| DIN 327 (hrubovací, povlak TiN) | tin1.re1 tin1.re2 | | | | |
| DIN 327 (hrubovací, povlak TiN+) | tin2.re1 tin2.re2 | | | | |
| DIN 327 (hrubovací, povlak TiAlN) | tialn.re1 tialn.re2 | | | | |

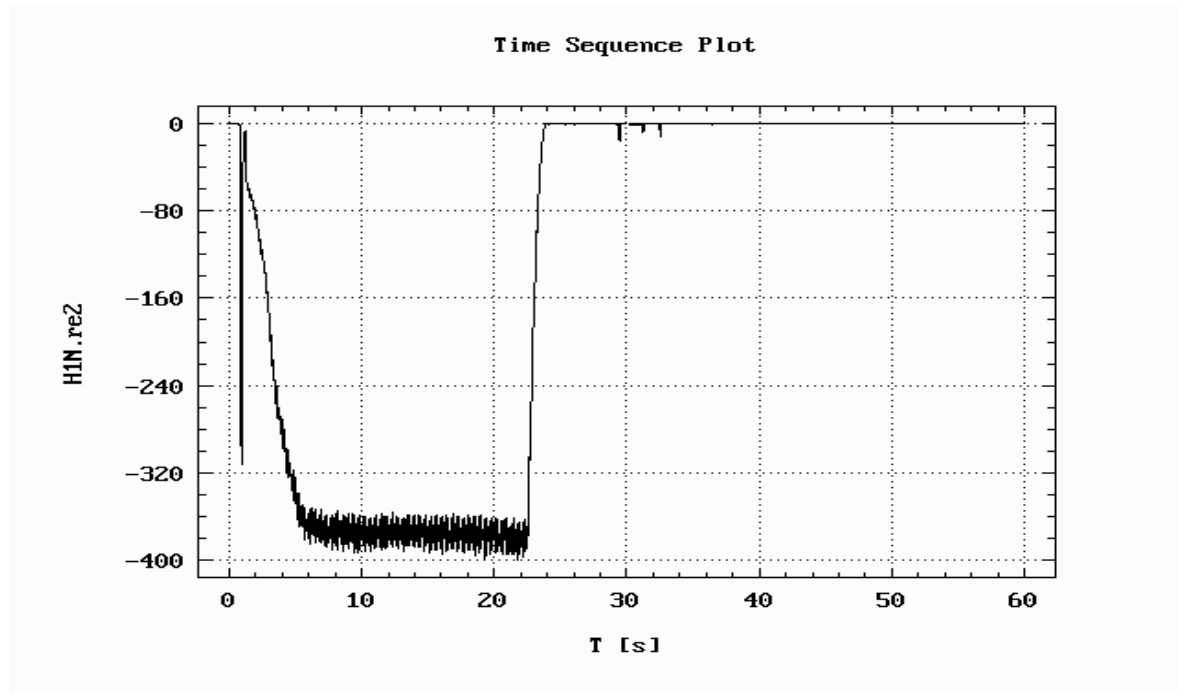
μ, σ ... bodové odhadování střední hodnoty a směrodatné odchyly působících sil

*.re1 ... F_x [N] (dle orientace dynamometru KISTLER)

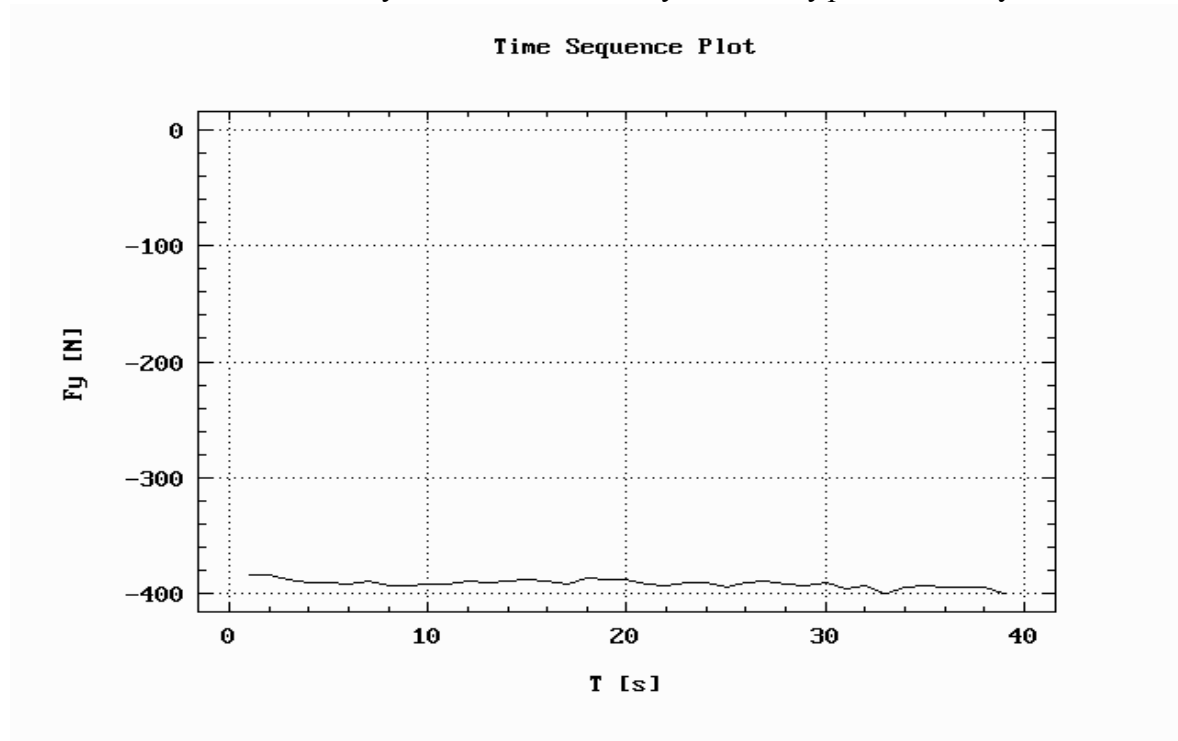
*.re2 ... F_y [N] (dle orientace dynamometru KISTLER)

Část řešení:

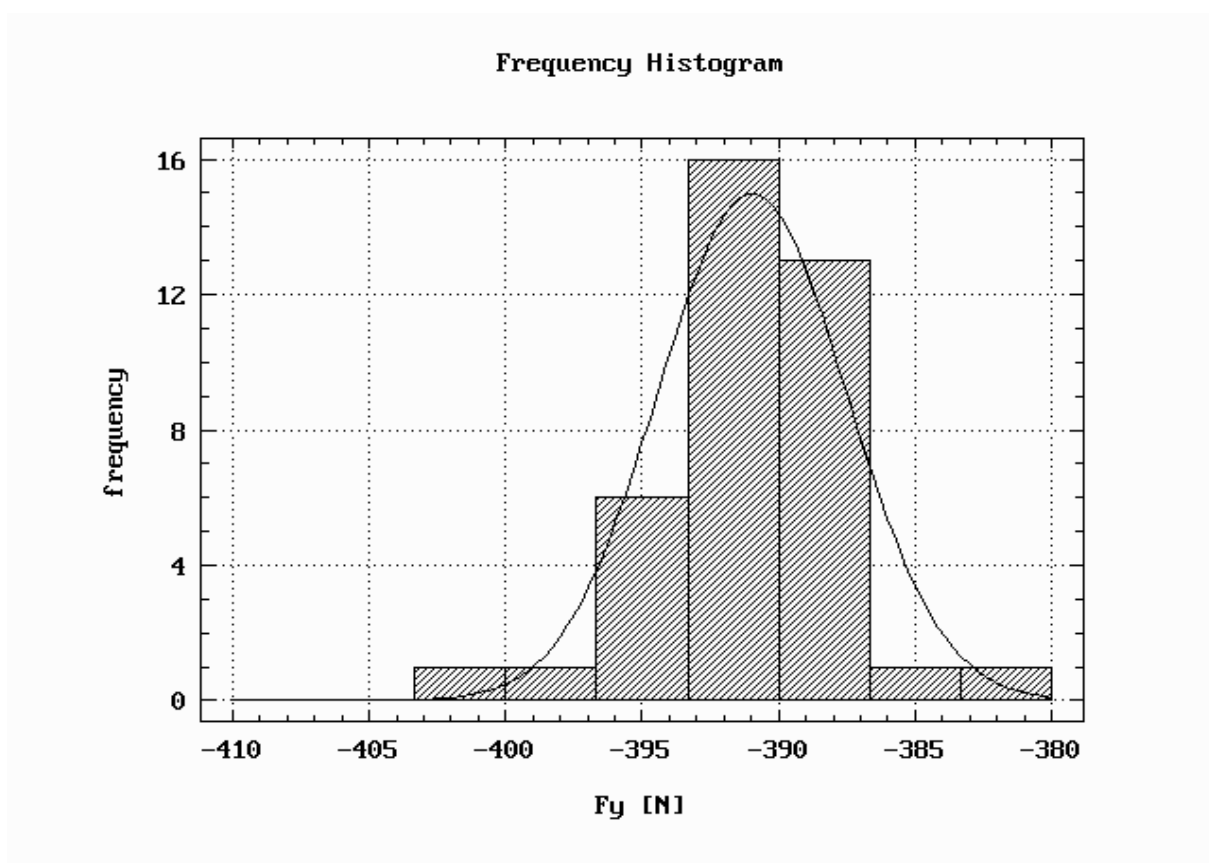
Řešení je ukázáno na příkladu souborů *h1n.re2*. **Obr. 1** znázorňuje celkový měřený záznam měřené složky síly, ze kterého jsou filtrována data odpovídající maximálním průřezům třísek – **obr. 2**. Tato data jsou popsána pomocí bodových odhadů střední hodnoty normálního rozdělení a směrodatné odchylky – **obr. 3,4**. Podobným způsobem lze vyhodnotit soubor *h1n.re1*. Celkové hodnoty řezných sil jsou určeny jejich vektorovým součtem s velikostmi graficky znázorněnými na **obr. 5**, uvedeným pro kontrolu výsledků.



Obr. 1 Celkový záznam měřené veličiny – složka síly působící v ose y.



Obr. 2 Filtrovaná data silové složky, odpovídající maximálním průřezům třísky.

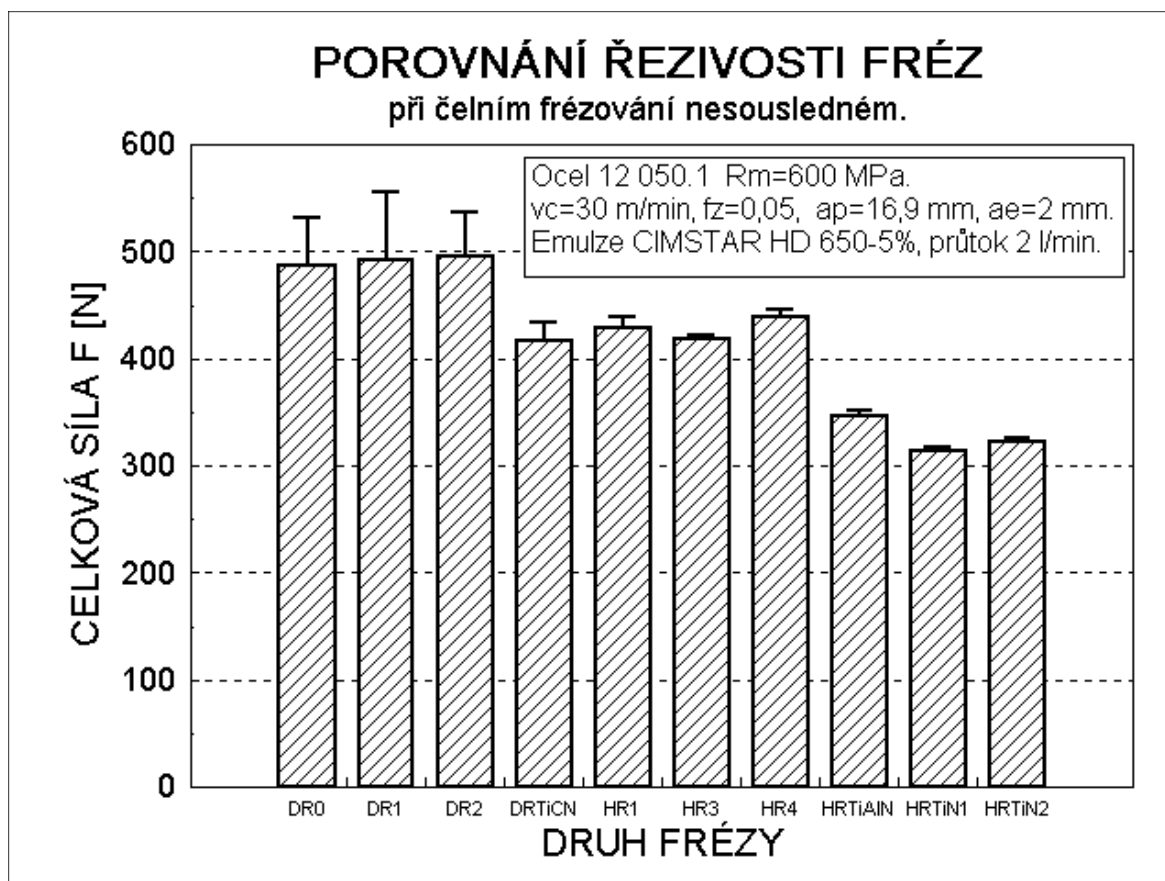


Obr. 3 Histogram dat filtrované silové složky, odpovídající maximálním průřezům třísky.

| Variable: | Fy.var1 |
|-----------------------|-----------|
| Sample size | 39 |
| Average | -390.962 |
| Median | -391.1 |
| Mode | -391.6 |
| Geometric mean | -32768 |
| Variance | 11.9751 |
| Standard deviation | 3.4605 |
| Standard error | 0.554123 |
| Minimum | -400.4 |
| Maximum | -383.3 |
| Range | 17.1 |
| Lower quartile | -393.1 |
| Upper quartile | -388.2 |
| Interquartile range | 4.9 |
| Skewness | -0.397389 |
| Standardized skewness | -1.01315 |
| Kurtosis | 1.25907 |
| Standardized kurtosis | 1.60501 |
| Coeff. of variation | -0.885125 |

1Help 2Edit 3Savscr 4Prtscr 5 6Go 7Vars 8Cmd 9Device 10Quit
SLIDE 1 9/ 5/ 3 21:54 STATGRAPHICS Vers.5.1 Display SLIDES

Obr. 4 Statistické zpracování dat filtrované silové složky, odpovídající maximálním průřezům třísky.



Obr. 5 Celkové vyhodnocení všech testovaných nástrojů podle silového namáhání.

Závěr

Snížení řezných sil napomáhá jak povlakování tvrdými povlaky na bázi TiN, TiCN a TiAlN, tak i tvarování a dělení břitu. Nejnižší namáhání břitu frézy bylo pozorováno (za konstantního průřezu třísky a stejných řezných podmínek) u nástroje s hrubovacím ostřím, povlakovaným TiN, které představovalo snížení řezných sil přibližně o 35 % vůči frézám nepovlakovaným se spojitým ostřím.

5a. URČENÍ KROUTICÍHO MOMENTU PŘI ŘEZÁNÍ ZÁVITU MATICOVÝM ZÁVITNÍKEM

Zadání:

Určete teoretický a skutečný průběh krouticího momentu při řezání závitu M6 Sh6 maticovým závitníkem M6 ISO 3 (výrobce Narex Ždánice, a.s.) – viz obr. 1 - při použití různých řezných past. Pro dané podmínky obrábění určete velikost měrné řezné síly a její poměr k pevnosti materiálu.

Materiál o;brobkou: ocel ČSN 411500.0, polotovar: tyč plochá 12x22 mm, ČSN 42 5522-63 (válcovaná za tepla), obrobená bez kůry na průřez 9x20 mm, $R_m = 409-608 \text{ MPa}$.

Průměr předvrтанé díry: $\phi 5 \text{ mm}$ (dle ČSN 01 4012).

Délka řezného kužele závitníku měřená paralelně s osou nástroje: $lk=5 \text{ mm}$.

Vrcholový úhel metrického závitu: 60° , stoupání $s=1,00 \text{ mm}$.

Obráběcí stroj: vrtačka stolní VS 20.

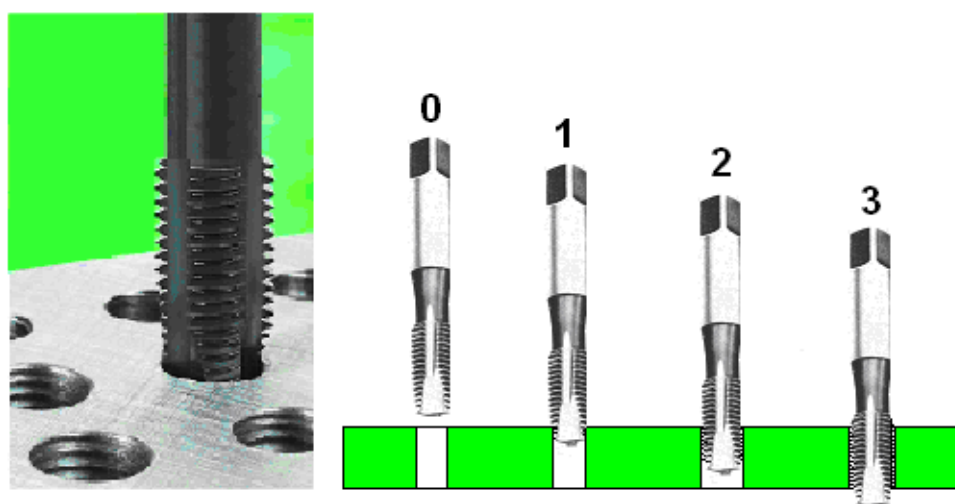
Řezné podmínky: otáčky 280 min^{-1} , posuv $1,00 \text{ mm.ot}^{-1}$.

Řezné pasty: CIMTAP® a CIMTAP CLF, výrobce Cimcool Europe, B.V., Holandsko, koncentrace 100%.

Způsob mazání: máčení závitníku před řezáním závitu.

Měřící aparatura: piezolektrický dynamometr Kistler 9272, řízený PC.

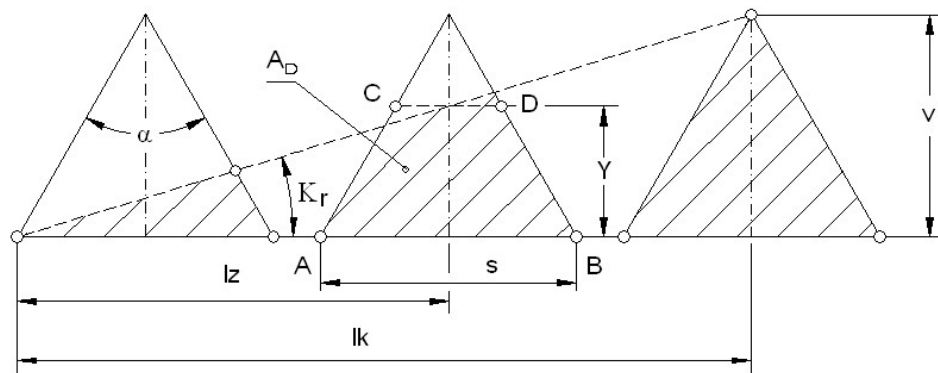
K řešení použijte SW Statgraphics (v.5 a vyšší) nebo podobný statistický program.



Obr. 1 Časový průběh řezání závitu maticovým závitníkem.

Řešení:

Z geometrického rozboru úlohy podle obr. 2 je obecný průběh řezného momentu závislý na měrné řezné síle a velikosti plochy třísky ve tvaru lichoběžníku o obsahu:



Obr. 2 Schéma průběhu průřezu třísky při řezání maticovým závitníkem.

$$A_D = y \cdot (AB + CD) / 2,$$

přičemž

$$y = lz \cdot \operatorname{tg} K_r$$

$$AB = s$$

a z podobnosti trojúhelníků vyplývá

$$CD = AB \cdot (v - y) / v = (s \cdot v - s \cdot y) / v,$$

přičemž

$$v = s / (2 \cdot \operatorname{tg} 30^\circ)$$

a

$$\operatorname{tg} K_r = v / lk.$$

Dosazením a úpravou je pak teoretický průběh plochy třísky dán vztahem

$$\begin{aligned} A_D &= lz \cdot \operatorname{tg} K_r \cdot (s + (s \cdot v - s \cdot y) / v) / 2 = \\ &= lz \cdot \operatorname{tg} K_r \cdot (2 \cdot s \cdot v - s \cdot lz \cdot \operatorname{tg} K_r) / 2 \cdot v = \\ &= (lz \cdot \operatorname{tg} K_r \cdot 2 \cdot s \cdot v - s \cdot lz^2 \cdot \operatorname{tg}^2 K_r) / 2 \cdot v = \\ &= ((s \cdot v) / 2) \cdot (2 \cdot lz \cdot \operatorname{tg} K_r / v - lz^2 \cdot \operatorname{tg}^2 K_r / v^2) = \\ &= A_{D\max} \cdot (2 \cdot lz \cdot \operatorname{tg} K_r / v - lz^2 \cdot \operatorname{tg}^2 K_r / v^2), \end{aligned}$$

kde

$$A_{D\max} = s \cdot v / 2$$

Při konstantní hodnotě měrné řezné síly závisí časový průběh řezného momentu na průřezu třísky, který lze rozdělit do třech intervalů podle hloubky zařezání řezného kužele závitníku:

1) $l \in <0, lk)$

$$A_{D1} = A_{D\max} \cdot (2 \cdot lz \cdot \operatorname{tg} K_r / v - lz^2 \cdot \operatorname{tg}^2 K_r / v^2)$$

2) $l \in <lk, L>$; L znamená hloubku závitníku, od které dojde k vyjízdění závitníku z řezu

$$A_{D2} = A_{Dmax} = s \cdot v / 2$$

3) $l \in (L, L+lk)$

$$A_{D3} = A_{Dmax} \cdot [1 - (2 \cdot l_z \cdot \tan K_r / v - l_z^2 \cdot \tan^2 K_r / v^2)]$$

Výpočet dílčích hodnot průřezu třísky je uveden v **tab. 1** a graficky znázorněn na **obr. 3**. Z hlediska výroby závitů je důležitý časový interval 2, ve kterém je v podstatě řezný kužel maticového závitníku plně zařezán do materiálu a nástroje zatížen v podstatě plným výkonem – **obr. 4**. U nástroje ostrého je tato hodnota po dobu řezání téměř konstantní a mění se převážně v důsledku opotřebení závitníku v důsledku třecích (pasivních) sil. Tento interval hodnot je nutno odseparovat od náběhové a výběhové fáze řezání, což lze provést procedurou *Data Management* v programu *Statgraphics*. Další testování je zaměřeno na určení druh rozdělení, kterému hodnoty v tomto rozdělení podléhají. V obou případech (u řezné pasty CIMTAP ® i CIMTAP CLF se jedná o normální rozdělení, kterého hustota rozdělení je funkcí střední hodnoty a rozptylu – **obr. 5,6**. Krabicové diagramy graficky znázorňující horní a dolní kvartily, polohy mediánů, minimálních a maximálních hodnot jsou na **obr. 7**.

Po provedení těchto testů je možno testovat hypotézu o rozdílu středních hodnot rozdělení řezných momentů pro jednotlivé sledované produkty, případně i hypotézu o shodě teoretických rozptylů – **obr. 8**. Tento statistický test v našem případě zamítl se spolehlivostí 95% hypotézu H_0 , což vede k závěru, že mezi testovanými produkty byl shledán statisticky významný rozdíl v dosažených středních hodnotách krouticích momentů, svědčící ve prospěch hypotézy H_1 , předpokládající tento rozdíl.

Závěr:

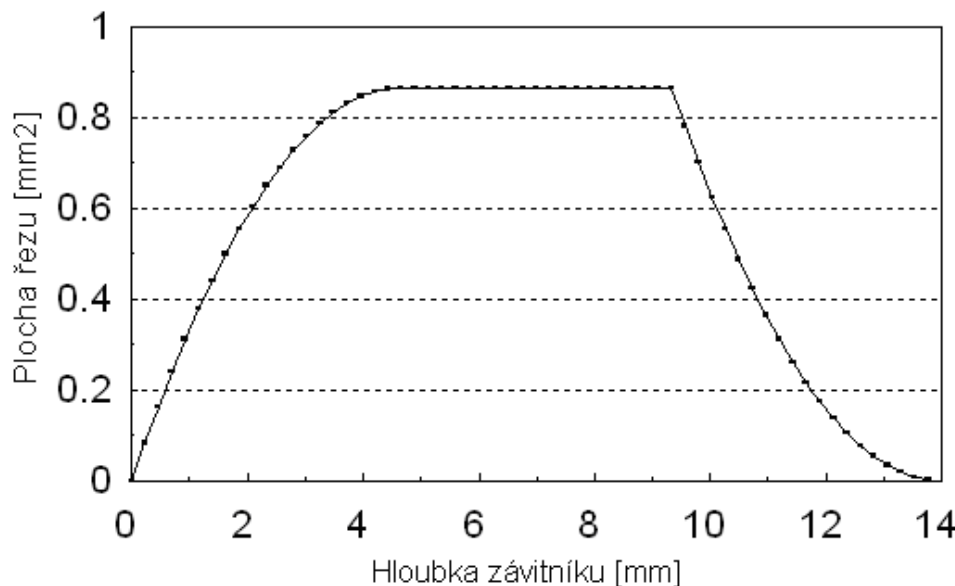
Zamítnutí hypotézy H_0 vede k závěru, že mezi testovanými řeznými pastami byl shledán statisticky významný rozdíl v jejich řezivostních účincích, vyjádřených pomocí střední hodnoty řezného momentu, potřebného k tvorbě třísek při inserci maticového závitníku. Tento rozdíl může mít přímý vliv na celkovou trvanlivost nástroje, neboť způsobuje vyšší namáhání nástroje a rychlejší rozvoj opotřebení. Pro přesnou kvantifikaci tohoto účinku je však nutno provést další zkoušky - tzv. *dlouhodobé zkoušky řezivosti nástrojů*.

Tab. 1 Průřezy třísek v jednotlivých časových fázích řezání závitu (v mm²).

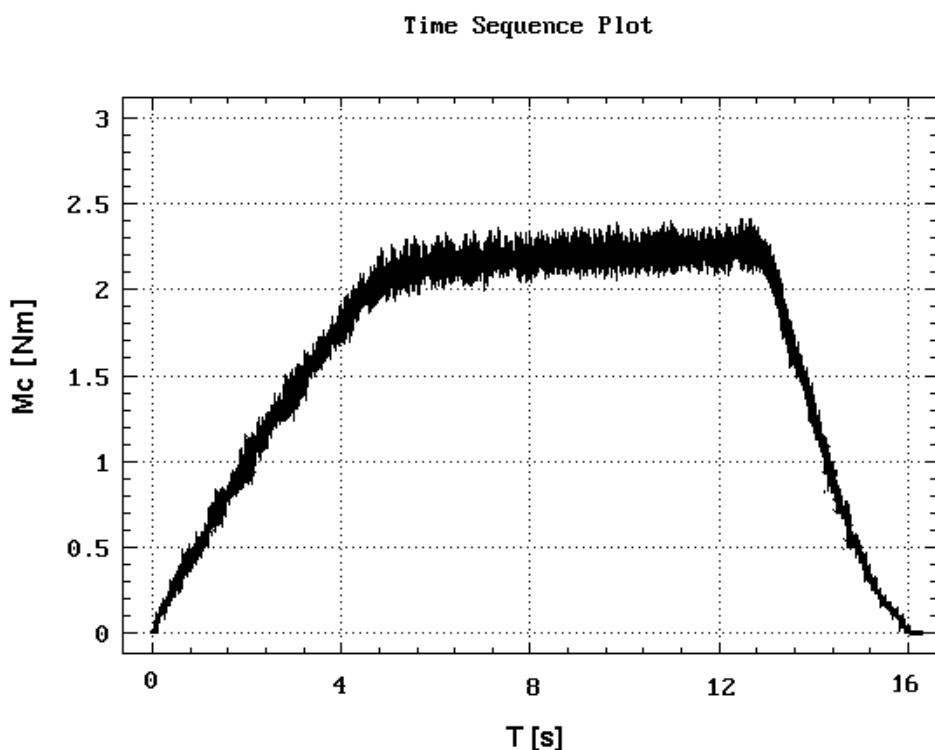
| Časový interval 1 | Časový interval 2 | Časový interval 3 |
|-------------------|-------------------|-------------------|
| 0 | .866 | .866 |
| 8.443499E-02 | .866 | .781565 |
| .16454 | .866 | .70146 |
| .240315 | .866 | .625685 |
| .31176 | .866 | .55424 |
| .378875 | .866 | .487125 |
| .44166 | .866 | .42434 |
| .500115 | .866 | .365885 |
| .55424 | .866 | .31176 |
| .604035 | .866 | .261965 |
| .6495 | .866 | .2165 |
| .690635 | .866 | .175365 |
| .72744 | .866 | .13856 |
| .759915 | .866 | .106085 |
| .78806 | .866 | 7.794002E-02 |
| .811875 | .866 | 5.412501E-02 |
| .83136 | .866 | 3.464001E-02 |
| .846515 | | 1.948501E-02 |
| .85734 | | 8.660006E-03 |
| .863835 | | 2.165003E-03 |
| .866 | | 0 |

ČASOVÝ PRŮBĚH PRŮŘEZU TŘÍSKY

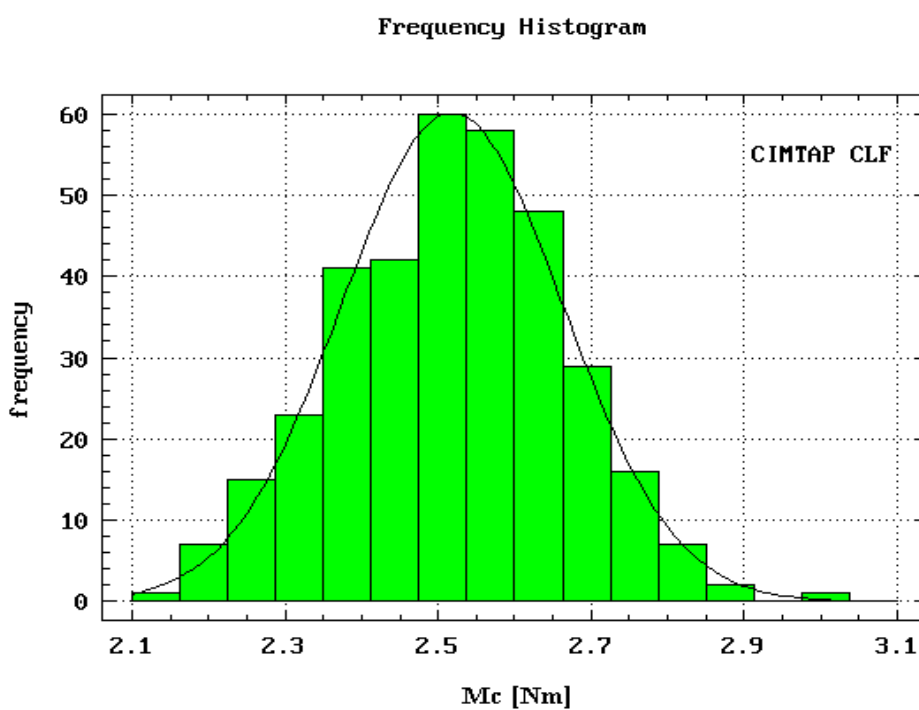
při řezání maticovým závitníkem M6 SH6



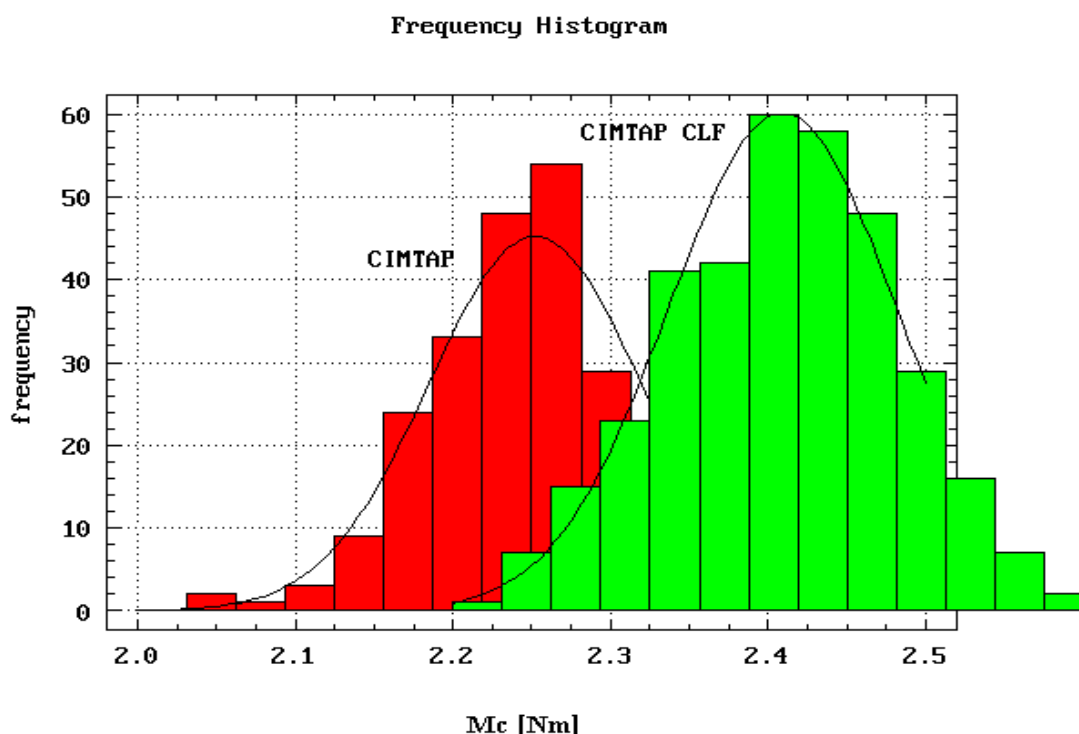
Obr. 3 Teoretický průběh plochy řezu v závislosti na hloubce závitníku.



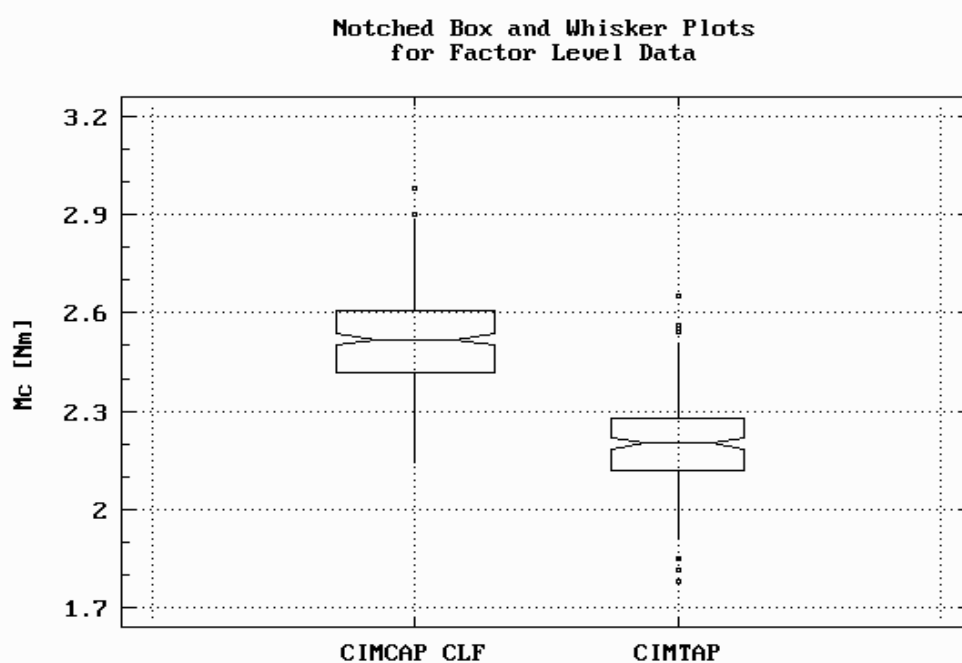
Obr. 4 Reálný průběh krouticího momentu v závislosti na hloubce řezaného závitu maticovým závitníkem.



Obr. 5 Histogram hodnot krouticího momentu z ustálené doby řezání pro řeznou pastu CIMTAP CLF



Obr. 6 Histogramy hodnot krouticích momentů z ustálené doby řezání pro řezné pasty CIMTAP® a CIMTAP CLF.



Obr. 7 Krabicové diagramy krouticích momentů z ustálené doby řezání pro řezné pasty CIMTAP® a CIMTAP CLF.

Two-Sample Analysis Results

| | CIM1.var1 | CIM2.var1 | Pooled |
|--|---------------------|--------------------------------|------------|
| Sample Statistics: Number of Obs. | 350 | 350 | 700 |
| Average | 2.51832 | 2.20426 | 2.389 |
| Variance | 0.0210669 | 0.0182358 | 0.019902 |
| Std. Deviation | 0.145145 | 0.13504 | 0.141074 |
| Median | 2.519 | 2.202 | 2.396 |
| Difference between Means = | 0.314059 | | |
| Conf. Interval For Diff. in Means: | 95 | Percent | |
| (Equal Vars.) Sample 1 - Sample 2 | 0.290974 | 0.337143 | 593 D.F. |
| (Unequal Vars.) Sample 1 - Sample 2 | 0.291262 | 0.336855 | 547.8 D.F. |
| Ratio of Variances = | 1.15525 | | |
| Conf. Interval for Ratio of Variances: | 0 | Percent | |
| | Sample 1 ÷ Sample 2 | | |
| Hypothesis Test for H0: Diff = | 0 | Computed t statistic = 26.7252 | |
| vs Alt: NE | | Sig. Level = 0 | |
| at Alpha = 0.05 | | so reject H0. | |

Obr.8 Výsledky dvouvýběrové analýzy středních hodnot řezných momentů pro oba sledované produkty CIMTAP® a CIMTAP CLF, potvrzující statisticky významný rozdíl.

6. TECHNOLOGICKÉ ZKOUŠKY OBJEMOVÉ TVAŘITELNOSTI

Cílem těchto zkoušek je zjišťování důležitých charakteristik materiálu z hlediska jeho chování ve tvářecím procesu. Jsou to například charakteristiky: Přirozený přetvárný odpor, technologický přetvárný odpor, pěchovatelnost, kovatelnost a další.

Nejčastěji používané zkoušky objemové tvařitelnosti materiálů jsou:

- Tlaková (pěchovací) zkouška s válcovými vzorky s rovnými čely,
- Tlaková zkouška na vzorcích s upravenou geometrií kontaktních ploch vzorek- nástroj,
- Krutová zkouška ,
- Tahová zkouška,
- Zkouška pěchovatelnosti a tvařitelnosti materiálu přijatá organizací CIRP-F a její modifikace z hlediska geometrie podélných vrubů na volném povrchu válcových vzorků a třecích podmínek v procesu pěchování.

První čtyři zkoušky jsou používány za různých teplot ohřevu od pokojové teploty přes teplotu polohřevu materiálu až po tváření za tepla- kování.

1. Zjišťování křivek přetvárného odporu materiálu

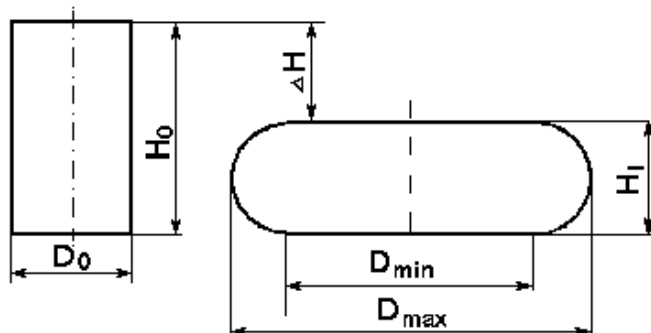
1.1. Pěchovací zkouška se vzorky s rovnými čely a vzorky podle Rastěgajeva

K tomuto účelu se dají použít první čtyři typy zkoušek . Existuje pět dominantních faktorů, podle kterých se dá vybrat nejvhodnější zkouška , kterou jsou přetvárný odpor materiálu a skutečná deformace co nejpřesněji zjišťovány.

Na základě srovnání jednotlivých teplot, rozsahu práce a hospodárnosti vychází jako nejoptimálnější pěchovací zkouška. V současnosti se pro ni používají následující typy vzorků:

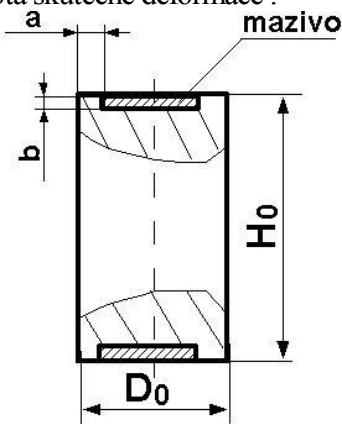
- válcové vzorky s rovnými čely,
- válcové vzorky s čelním vybráním podle Rastěgajeva,
- válcové vzorky s čelním vybráním podle Siebela a Pompa.

Objevují se i originální tvary vzorků, které se ovšem mohou měnit s testovaným materiélem, což už vyžaduje podstatně vyšší náklady na provedení zkoušek.



Obr. 1 Výchozí a spěchovaný vzorek s rovnými čely pro pěchovací zkoušky.

U válcových vzorků s rovnými čely se doporučuje štíhlostní poměr $H_0/D_0 \in (1.5, 1.6)$. Odborné doporučení platí u zkoušek podle Rastěgajeva. Čelní vybrání vzorků podle Rastěgajeva je vyplňeno kyselinou palmitovou. Vzorky tak udržují během zkoušky válcový tvar. Po jeho narušení lze vzorky přesoustružit. V tom případě se ovšem bere jako výchozí poslední hodnota skutečné deformace.

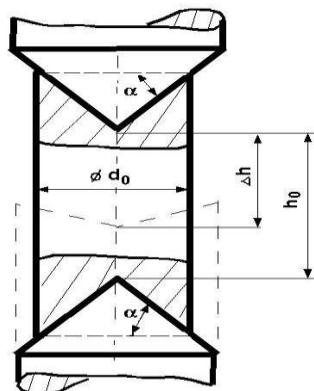


Obr. 2 Tvar vzorku pro pěchovací zkoušky dle Rastěgajeva

Při porovnání obou jmenovaných zkoušek bylo zjištěno, že křivka přetvárného odporu $\sigma = f(\varphi)$ dle Rastěgajeva leží přibližně 12% pod křivkou se vzorky s rovnými čely.

1.2. Pěchovací zkouška vzorků s kuželovým čelním zahloubením podle Siebela a Pompa

V současnosti se používají vzorky s průměrem $\varnothing 20$ mm a výšce $H_0 = 40$ mm s kuželovým vybráním čelních ploch $\alpha = 3^\circ$, který odpovídá součiniteli tření $\mu \approx 0.0524$. Dále se používá jako u ostatních typů vzorků účinné mazání, které ještě snižuje tuto hodnotu tření. Zkušební vzorky jsou postupně spěchovány nejprve o 45 % H_0 . Předpěchovaná tělesa se potom přesoustruží na $\varnothing 14$ mm a znova se pěchují na 50% až 60% H_0 . Pro nejtvárnější materiály se používá třetí pěchování, přičemž jsou zde dva náležitě obrobené vzorky postaveny na sebe a tvoří tak nový zkušební vzorek.



Obr. 3 Vzorek s kuželovým vybráním na čelech s nástrojem.

Okamžitý průřez vzorku se spočítá ze vztahu

$$S = S_0 \frac{\frac{2}{3} \operatorname{tg} \alpha \cdot D_0}{H_0 - \Delta H + \frac{2}{3} \operatorname{tg} \alpha \cdot D_0 \sqrt{\frac{H_0}{H_0 - \Delta H}}},$$

kde S_0 je výchozí průřez vzorku. Předpokládá se, že volná povrch vzorku je válcový. Tento jev je potřebné během zkoušky sledovat.

2. Zkoušky pěchovatelnosti vzorků bez vrubu a s podélným vrubem

podle CIRP- F

Skupina F- Forming této mezinárodní organizace vypracovala tuto metodu zkoušek a ověřovala ji na 25 pracovištích v Evropě, Japonsku a USA. Na základě statistického vyhodnocení a analýzy potvrdila reproducibilnost výsledků. Podklady pro stanovení podmínek zkoušek potom tvořily výzkumy významných světových odborníků v oboru tvařitelnosti kovů, kde byl specifikován vliv štíhlostního poměru

vzorků $\frac{H_0}{D_0}$, třetí podmínky v kontaktních plochách, tvar a rozměry vrubů.

Při těchto zkouškách se používají dva typy válcových vzorků a to s hladkým volným povrchem pláště a v předepsaném podélném vrubem tvaru „V“ na plásti. Aby bylo vyloučeno vybočení vzorku volí se poměr $\frac{H_0}{D_0} \approx 1.5$ ($H_0 = 21$ mm, $D_0 = 14$ mm). Vzorky s vrubem jsou sice obtížněji vyrobiteLNé, ale vykazují trhliny při malých deformacích, oproti hladkým vzorkům. Na základě výzkumů na výzkumných pracovištích postačuje provést dokončení vzorků jemným soustružením ($R_a \approx 1.6$).

Nástroj se skládá ze dvou rovnoběžných kovadel, u nichž jsou ve středu středící kužely a od nich postupují soustředné drážky. Tak je zaručeno co největší tření v kontaktních plochách vzorek- nástroj. Kovadla jsou vyrobena z příslušné nástrojové oceli zušlechtěné na tvrdost HRC 62 až 64. Zkouška předpokládá rychlosť nástroje $v_s \in \langle 0.1, 1.0 \rangle$.

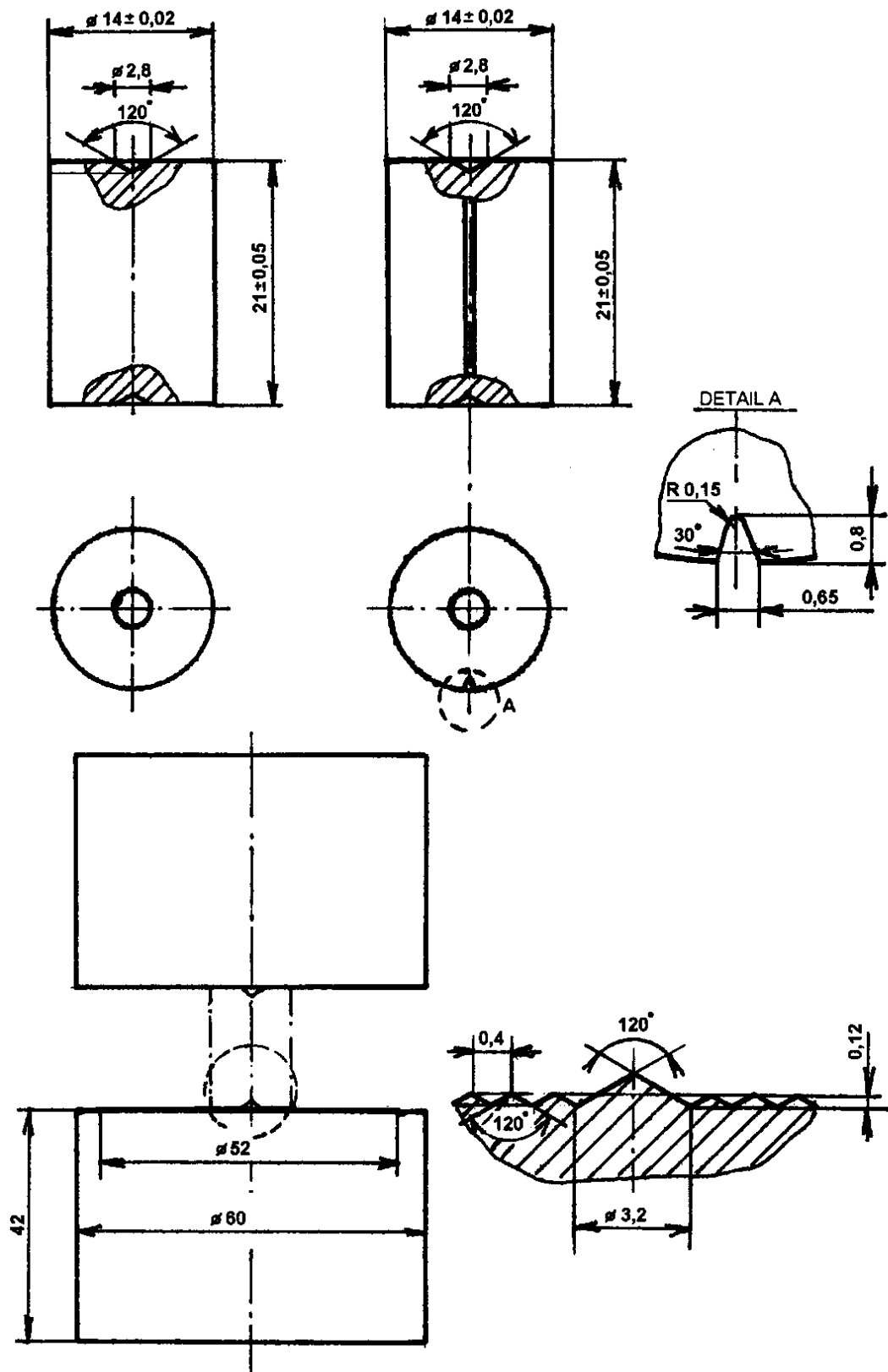
Zkouška se provádí v několika stupních. Hladký vzorek se v prvním stupni spěchuje o 50% H_0 , vzorek s vrubem se spěchuje o 30% H_0 . Poté, pokud vzorek nepraskne lze konstatovat, že je tvařitelný za studena a spěhuje se v každém dalším kroku o 1.5% až 2.5% H_0 . Což představuje spěchování o 0.32 až 0.52 mm. V pěchování se pokračuje tak dlouho dokud se ve vrubu nebo na volném povrchu neobjeví trhliny. Potom se změří „kritická výška vzorku“. Jako měřítko tvařitelnosti (pěchovatelnosti) za studena je „kritické poměrné přetvoření výšky vzorku“

$$\varepsilon_h = \frac{H_0 - H_c}{H_c}, \quad \varepsilon_{hc} = \frac{H_0 - H_c}{H_c} 100 [\%].$$

Pro objektivizaci měření se provede ještě další pěchovací krok. Jestliže v předešlém kroku byly pochybnosti o vzniku trhlin, a tyto se v tomto kroku zvětší bere se předchozí přetvoření jako směrodatné. Doporučen je tříčlenný zkušební tým, který provádí i sledování vzniku trhlin. Autoři uvádí, že hodnota „kritické poměrné

přetvoření výšky vzorku“ $\varepsilon_h = \frac{H_0 - H_c}{H_c}$ lze zařadit do databáze mechanických charakteristik materiálu a

využít ji při identifikaci materiálu spolu s uvedenými charakteristikami.



Obr. 4 Vzorky pro zkoušku CIRP-F, globální a lokální geometrie nástroje

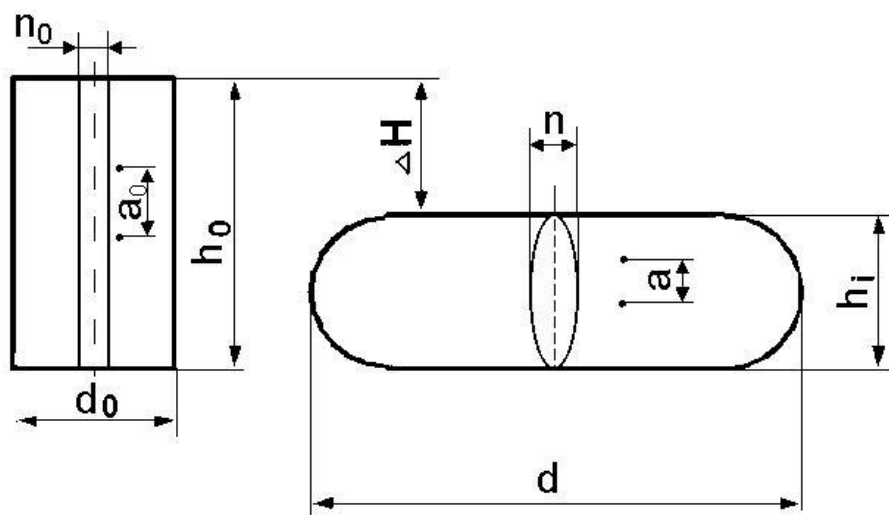
Pěchovací nástroj se skládá ze dvou rovnoběžných kovadel, jejichž čela jsou opatřena středícími kužely soustřednými drážkami, které mají zajistit přesně definované a reprodukovatelné třecí podmínky (statické tření), proto jsou vždy před každým pěchovacím krokem kovadla odmaštěna.

2.1. Modifikace zkoušek pěchovatelnosti polotovarů s podélnými vruby

Nejdůležitějšími faktory, které mají zásadní vliv na pěchovatelnost válcových polotovarů jsou:

- tření v kontaktních plochách polotovar- nástroj
- štíhlostní poměr vzorků
- tvar a geometrie podélných vrubů na povrchu vzorku
- předchozí tepelné a mechanické zpracování materiálu polotovarů.

Pro většinu polotovarů v objemovém tváření lze zkonstruovat mezní diagramy porušení (FLD) jako závislost hlavních deformací, kde

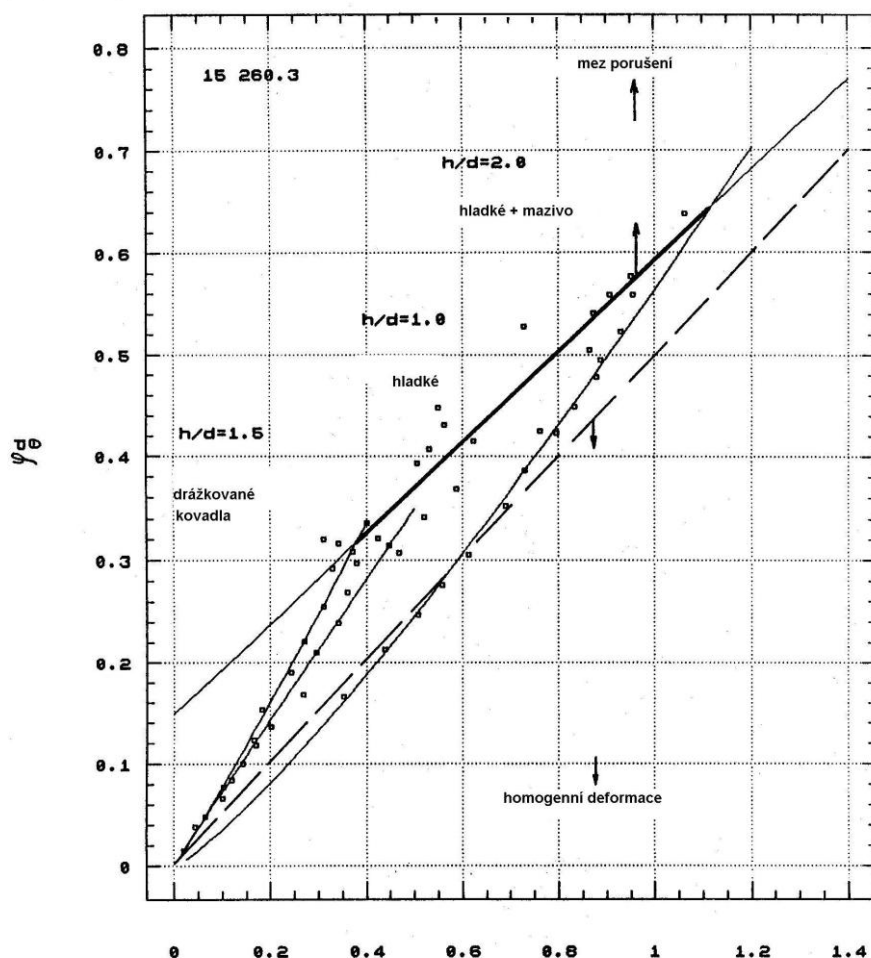


Obr. 5 Vzorky s vrubem s rozměry pro výpočet globálních a lokálních deformací.

$\varphi_{\theta}^d = \ln \frac{d}{d_0}$ je globální obvodová deformace vzorku,

$\varphi_{\theta}^n = \ln \frac{n}{n_0}$ je lokální obvodová deformace vzorku,

$\varphi_z^a = -\ln \frac{a}{a_0}$ je lokální axiální deformace vzorku.



Obr. 6 Diagram mezního porušení FLD s trajektoriemi globálních deformací a mezí porušení.

Většinou lze lomové hodnoty deformací approximovat přímkou, která potom definuje mez porušení materiálu za různých technologických a zkušebních podmínek.

Cvičení č. 6: Stanovení přirozeného přetvárného odporu, měrné přetvárné práce a deformační rychlosti pomocí pěchovací zkoušky

Zadání:

- 1) Popište metodiku pěchovací zkoušky a měřicí řetězec analogové a digitální pěchovací zkoušky.
- 2) Pomocí statistického vyhodnocení naměřených veličin z pěchovací zkoušky zadaného materiálu provedte approximaci závislosti přirozeného přetvárného odporu σ_p , měrné přetvárné práce a na skutečné deformaci φ vhodným empirickým modelem.

Potřebné výpočtové vztahy:

$$\varphi_i = \ln \frac{H_0}{H_i} \dots \text{okamžitá skutečná deformace [-],}$$

$$\dot{\varphi}_i = \frac{\Delta H}{\frac{H_i}{\Delta t}} \dots \text{okamžitá hodnota rychlosti deformace } [s^{-1}],$$

$$V = \frac{\pi \cdot D_s^2 \cdot H_i}{4} \Rightarrow D_s \dots \text{objem vzorku } [mm^3],$$

D_s střední průměr vzorku [mm],

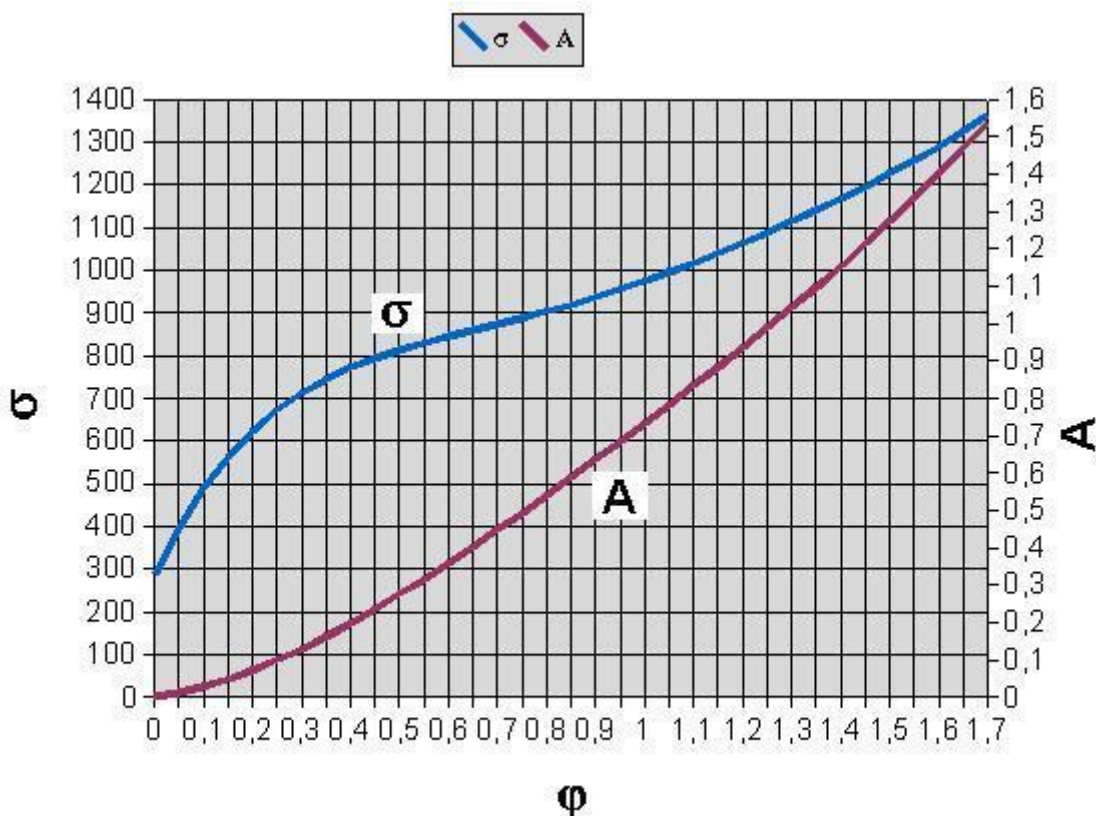
$$\sigma_{p_i} = \frac{4 \cdot F_i}{\pi \cdot D_{s_i}^2} \dots \text{okamžitá hodnota přirozeného přetvárného odporu } [MPa],$$

$$A_i = \frac{1}{1000} \sum_{i=1}^n (\varphi_n - \varphi_{n-1}) \cdot \left(\frac{\sigma_n + \sigma_{n-1}}{2} \right) \dots \text{okamžitá hodnota měrné přetvárné práce } [J \cdot mm^{-3}].$$

Tabulka naměřených a vypočtených hodnot z pěchování zkoušky oceli 17 248.4 při 300°C

| ΔH [mm] | F [N] | Dmin [mm] | Dmax [mm] | t [s] | φ | σ [MPa] | A [J/mm ³] |
|-----------------|-----------|-----------|-----------|----------|-----------|----------------|------------------------|
| 0,0000 | 53,4700 | 16,0300 | 16,0300 | 0,0000 | 0,0000 | 264,9437 | 0,0000 |
| 1,8200 | 100,4800 | 16,4500 | 16,7100 | 1,4000 | 0,0756 | 472,7791 | 0,0279 |
| 2,3400 | 107,9900 | 16,6200 | 16,9000 | 1,6000 | 0,0983 | 497,7737 | 0,0389 |
| 3,5800 | 131,3100 | 17,0000 | 17,4000 | 2,2000 | 0,1546 | 576,5094 | 0,0302 |
| 4,6100 | 146,7300 | 17,3500 | 17,8400 | 3,4000 | 0,2038 | 620,6267 | 0,0683 |
| 5,6200 | 164,5300 | 17,8200 | 18,2600 | 4,2000 | 0,2546 | 659,6904 | 0,1008 |
| 6,5700 | 182,3200 | 17,9700 | 18,8400 | 14,2000 | 0,3049 | 718,8672 | 0,1355 |
| 9,7400 | 235,6900 | 19,4900 | 20,6800 | 37,5000 | 0,4936 | 790,0016 | 0,2779 |
| 12,2000 | 296,5800 | 20,9700 | 22,5500 | 58,6000 | 0,6694 | 858,7277 | 0,4228 |
| 13,6000 | 353,5100 | 21,8900 | 23,9100 | 70,8000 | 0,7853 | 939,3353 | 0,5270 |
| 15,9000 | 414,0000 | 23,3000 | 25,5200 | 82,4000 | 1,0106 | 970,9547 | 0,7422 |
| 16,3100 | 484,3800 | 24,8600 | 27,0300 | 94,6000 | 1,0567 | 997,9170 | 0,7876 |
| 16,7900 | 534,9800 | 25,7900 | 27,5900 | 98,6000 | 1,1135 | 1024,1070 | 0,8450 |
| 17,5600 | 592,7100 | 26,8100 | 28,9000 | 104,2000 | 1,2120 | 1049,9270 | 0,9472 |
| 18,1100 | 664,2700 | 27,6700 | 29,9300 | 109,8000 | 1,2888 | 1104,6808 | 1,0299 |
| 18,5300 | 723,9700 | 28,4200 | 30,7800 | 113,3000 | 1,3517 | 1141,2556 | 1,1005 |
| 18,7400 | 774,5800 | 28,8600 | 31,2100 | 115,6000 | 1,3847 | 1184,0884 | 1,1389 |
| 19,2000 | 821,8200 | 30,0300 | 32,1600 | 117,8000 | 1,4610 | 1160,3167 | 1,2283 |
| 19,6100 | 960,2000 | 30,8000 | 33,2800 | 123,6000 | 1,5343 | 1288,7562 | 1,3181 |
| 20,1800 | 1088,6900 | 32,3900 | 34,8400 | 130,8000 | 1,6461 | 1321,2738 | 1,4640 |
| 20,3800 | 1229,0500 | 34,1100 | 34,9000 | 132,5000 | 1,6885 | 1344,9824 | 1,5205 |

V tabulce jsou uvedeny jednak změřené hodnoty pěchovací síly a deformace a poté změřené střední hodnoty průměrů pěchovaných vzorků. Měření bylo provedeno analogově na hydraulickém lisu CZR 600 prostřednictvím tenzometrického snímače tlakové síly a indukčního snímače dráhy přes dva měřicí kanály měřicího zesilovače KWS a záznam byl proveden na souřadnicovém x-y zapisovači. Dále tabulka obsahuje vypočtené hodnoty průřezů vzorků po spěchování a hodnoty přetvárného odporu, skutečné deformace a měrné přetvárné práce. Závislosti na Obr. 7 byly získány approximací diskrétních hodnot metodou nejmenších čtverců. Pro approximaci jsou velmi vhodné polynomy 3. A 5. Stupně.



Obr. 7 Závislost přetvárného odporu a měrné přetvárné práce na skutečné deformaci.

Studijní literatura:

- [1] LANGE, K.: Lehrbuch der Umformtechnik. Berlin-Heidelberg - New York. Band 1,2. 1984.
- [2] JENNER, A. - DODD, B.: Cold Upsetting and Free Surface Ductility. J.Mech. Working Tech. 5 (1981), Amsterdam
- [3] KUHN, H.A.. Formability Topics - Metallic Materials, ASTM STP 647 (1978)
- [4] KUDO, H. - SATO, K. - AOI, K.. On cold forgeability test. CIRP Ann., 16 (1968) str. 309-318
- [5] KUDO,H. - AOI.K.: Effect of Compression Test Condition upon Fracturing of Medium Carbon Steel - Study on Cold Forgeability Test: part II., J.Japan Soc. Tech. Plast., č.8, s. 17, 1967
- [6] TOZAWA, Y.: Abstract from Report on Collective Calibration Test of Cold Upsetability of S45C, Matls. Subgroup Jap. Cold Forging Committee, 1. 1975
- [7] OLLSON, K. - KARLSSON, S. - MELANDER,A.. The Influence of Notches, Testing Geometry, Friction Conditions and Microstructure on the Cold Forgeability of Low Carbon Steels. Scand. J. Metallurgy 15 (1986) Denmark str. 238-256
- [8] DANNENMMAN, E. - BLEICH,M.: Verfahren zur Prüfung der Kaltstanchbarkeit. Draht 29 (1978), str. 703-706
- [9] BENEŠ, M a kol. Poradenská příručka č. 33- Křivky přetvárných odporů oceli, díl. 1, TVÚHP, Praha 1982
- [10] Drastík, F. – Elfmark, J. Plastometry a tvařitelnost kovů. SNTL, Praha 1977
- [11] BANABIC, H: at all. Formability of Metallic Materials. Springer- Verlag, Berlin 2000

7. ZKOUŠKY PRO ZJIŠŤOVÁNÍ KOEFICIENTU TŘENÍ S VLIVEM MAZIV

1. Tření a mazání ve tváření, vliv tření na tvářecí proces

Nejzřetelnějším vlivem tření na tvářecí proces (ale i v dalších technologiích a uložení strojních součástí) je to, že s jeho zvyšováním se zvětšuje i množství vynaložené energie nutné k přetvoření materiálu (uložení strojních součástí vznikají větší ztráty ve výkonu soustavy vlivem vyššího tření. V odborných publikacích se objevují odhady, že ztráty způsobené třením (zvýšení energetické náročnosti a opotřebení činí u hospodářsky vyspělých zemí kolem 2% jejich hrubého národního produktu (pro ČR je to přibližně 12 miliard Kč) ročně.

Úspory energie zajistěné volbou vhodných maziv, technologií dokončování funkčních ploch nástrojů a tvářených součástí a jejich materiálu včetně jeho zpracování činí až 11% celkových nákladů na energii nutnou pro zpracování výlisků a provoz strojních součástí.

Vnější tření je tedy charakteristikou veličinou při popisu procesu mezi tvářeným materiálem a nástrojem a má dvojí úlohu:

- pasivního činitele, který brzdí plastickou deformaci, zvyšuje spotřebu energie nutné pro přetvoření materiálu, způsobuje opotřebení tvářecích nástrojů, jejich porušení a nerovnoměrnost přetvoření nebo porušení tvářených součástí,
- aktivního činitele, který se realizuje v technologii válcování, která přímo vyžaduje aby mezi pracovními válci a válcovaným polotovarem byla zajistěna jistá hodnota tření, aby realizace technologie byla úspěšná.

Problémy snížení tření, opotřebení součástí na základě tření a aplikaci maziv se zabývá *tribologie*, která v sobě kombinuje řadu vědních oborů jako je kinematika, hydrodynamika, termomechanika, materiálové inženýrství a chemie maziv.

Při tváření materiálu převládá tzv. *mezní tření*. Mezní tření je kombinací suchého a kapalného tření.

Základním předpokladem vzniku tření je vzájemný pohyb nejméně dvou elementů tribologického systému - třecí dvojice. Tento vzájemný pohyb je způsoben účinkem vnějších sil a je provázen vznikem třecích sil.

Znalost hodnoty tření ve tvářecích procesech má velký význam pro praktické technologické a numerické výpočty. Hodnota součinitele tření je ve většině případů neznámá, ale na její správné volbě závisí přesnost výpočtu. Při špatné volbě součinitele tření se často naddimenzovávají tvářecí stroje a nástroje, nebo naopak a konečném důsledku dochází ve výrobě k velkým finančním ztrátám.

Proto jsou nesmírně důležité zkoušky pro zjištování koeficientu tření a zkoušky maziv. Tyto testy jsou určeny pro objemové a plošné tváření a jsou odlišné od zkoušek tření a maziv u ložisek a dalších konstrukčních součástí.

1.1 Veličiny ovlivňující tření

Tyto veličiny členíme do tří skupin:

- veličiny podmíněné tvářecím postupem - velikost a rozdělení normálních napětí, relativních rychlostí zvětšení povrchu, průběh teplot.

- b) veličiny podmíněné materiálem- chemické složení a velikost zrna tvářeného materiálu, povrch a tvrdost třecích ploch. Pokud dochází k možnosti tzv. svaření za studena je potřebné změnit materiál výtvarku nebo nástroje.
- c) veličiny podmíněné druhem maziva- viskozita, pevnost ve smyku, tlaková a tepelná stálost maziva, schopnost příznivé fyzikální a chemické reaktivity uvnitř tribologického systému.

1.2 Mazání a úpravy povrchu

Mazání je cílevědomé používání maziv v souvislosti a vytvořením nosných mazacích vrstev pro libovolný tvářecí postup.

Úprava povrchu je opracování polotovarů nebo již hotových dílů. Zahrnuje v sobě například čištění polotovarů před nanesením maziva, nebo po tváření, když jsou zbytky maziva na povrchu nežádoucí.

1.2.1 Účel mazání

Mazivo má při tváření materiálu dva hlavní úkoly:

- a) zabránit kovovému styku mezi nástrojem a polotovarem a tím zabránit jejich svaření za studena. Současně se tak chrání nástroj a tvářený polotovar před otěrem a opotřebením, zajišťuje se rovnoměrná kvalita výrobků a bezporuchová výroba

- b) snížení třecích ztrát a tím pádem i snížení přetvárných sil a energií potřebných pro danou tvářecí operaci.

Pro výběr maziva jsou rozhodující kriteria, která závisí na druhu tvářecího postupu nebo na použití výtvarku po tváření. Tato kriteria jsou následující:

- spojení mazacího a chladícího účinku,
- ovlivnění toku materiálu při tváření,
- obtížnost tváření,
- jednoduchost nanášení a odstraňování maziva,
- ochranný účinek maziva proti korozii,
- požadavky na velikost pracoviště, bezpečnost a hygienu práce,
- vhodnost maziva v souvislosti s dalším zpracováním polotovaru (např. svařováním),
- hospodárnost.

Je nepochybně, že zvláště při tváření za studena jako je např. protlačování dochází k velkému namáhání nástroje měrnými tlaky. Zde se využívá amorfních vrstev na vstupních polotovarech, které vznikají fosfátováním a oxalátováním polotovarů. Ty potom snadno absorbuji příslušné mazivo a udrží ho v průběhu tváření. Dále je zde vhodné použít maziv s EP aditivy (jde o vysokotlaké přísady). Jsou to látky na bázi volných mastných kyselin modifikovaných Cl, P, As a S. Tyto přísady vytváří při vysokých tlacích nebo teplotách (kolem 200°C) po rozpadu Cl iontů tenké vrstvy chloridového filmu s nízkou hodnotou součinitele tření a vysokou odolností. As a P sloučeniny zvyšují odolnost proti tlaku mazací vrstvy. Vrstvy spočívají v chemické reakci mezi mastnými kyselinami a oxidovými vrstvami a nazývají se *kovová mydla*. Ty také vykazují poměrně nízké hodnoty součinitele tření. Pro zvlášť energeticky náročné procesy se používají speciální úpravy povrchu nástrojů, polotovarů a vrstev maziv. Patří sem například hydrodynamické protlačování, nanášení Al a Cu vrstev na tvářený polotovar.

1.3 Maziva a jejich rozdělení

Rozdělení maziv:

- a) *Oleje* : mohou být minerální nebo syntetické, v současnosti se dává přednost syntetickým olejům, k zlepšení jejich dělící schopnosti se do nich přidávají různé přísady (kovová mydla, aditiva na bázi S a P a případně Cl. Přes příznivé mazací vlastnosti Cl je potřebné dbát na to, že jeho likvidace je z ekologického hlediska velice obtížná a drahá a že může spolu s oleji vytvářet zdraví velmi nebezpečné produkty (např. PCB). Lze zde přidat i pevná maziva jako je grafit nebo MoS₂.

- b) *Maziva na bázi mýdel*: vznikají reakcí s kovovými oxidy na povrchu kovů a zajišťují odolnost proti vysokým tlakům. Nejvíce je používán stearát sodný, který se nanáší ponorem polotovaru po fosfátování do horkého mýdlového roztoku.
- c) *Pevná maziva*- nejdůležitějšími zástupci této skupiny jsou pevná maziva s vrstvenou mřížkovou strukturou. K této skupině patří *grafit*. Používá se nejvíce v dispersi a vodou nebo olejem. Dalším mazivem je syrník molibdeničitý MoS_2 . Ten se používá do tvárcích teplot 400°C, WS_2 je vhodný do teplot 500°C a grafit je užíván až do teploty 800°C. Plasticke hmoty (polymery) jako je polyethylen a teflon, se používají ve speciálních jako ochranné a mazací folie při hlubokém tažení plechů. Sklo jako prášek nebo natavená vrstva se používají při tváření za poloohřevu a za tepla. Mezi pevná maziva patří i dříve uvedené těžké a lehké kovy.
- d) *Vodní emulze*- používají se při menších nárocích na mazání a větších nárocích na chlazení při rychlých tvárcích procesech při malých deformacích.

1.4 Matematický popis tření

Tření je kluzný odpor mezi dvěma tangenciálně se pohybujícími se plochami. Ten se dá určit z velikosti smykových napětí v mezeře τ_R . V teorii plasticity jsou uznávány dva fyzikální modely objasňující smyková napětí τ_R .

1.4.1 Coulombův zákon

Zde platí že $F_R = \mu \cdot F_n$, kde F_n je síla kolmá k povrchu, F_R je třecí síla a μ je střední hodnota součinitele tření. Jeho velikost závisí vedle materiálu třecí dvojice na geometrii třecí plochy a na řadě chemických veličin v mezeře. Jde zejména o tlak, kluznou rychlosť a teplotu. Místní smykové napětí τ_R se dá určit pomocí hodnoty μ a kontaktního normálního napětí σ_n jako $\tau_R = \mu \cdot \sigma_n$. Hodnot menších než σ_p (přirozený přetvárný odpor) lze docítit například při tažení nádob mezi přírubou a přidržovačem. Platí zde lineární závislost mezi σ_n a τ_R , kde μ může nabývat různých konstantních ale omezených hodnot.

V případě, že τ_R dosáhne hodnoty meze kluzu ve smyku σ_k měkkého materiálu ze třecí dvojice tak $\mu_{max} = \frac{\sigma_k}{\sigma_n}$.

Z toho vyplývá, že každému normálnému napětí odpovídá maximální hodnota μ , která závisí na σ_n a σ_k . Podle podmínky plasticity HMH (von Mises) $\sigma_1 - \sigma_2 = \frac{1}{\sqrt{3}} \sigma_k$ je $\mu_{max} = \frac{2}{\sqrt{3}} = 0.577$. Podle podmínky plasticity τ_{max} (Trescovy) je $\tau_{max} = \frac{1}{2} (\sigma_1 - \sigma_3)$, $(\sigma_1 - \sigma_3) = \sigma_k$, $\tau_{krit} = \frac{1}{2} \sigma_k$ a $\mu_{max} = 0.5$.

Všeobecně se dá říct, že u všech tvárcích postupů, které se uskuteční pomocí $\sigma_n > \sigma_p$ je leží hodnota $\mu_{max} \in (0.5, 0.577)$. Pro případ když $\tau_R = \tau_{Rmax} = \sigma_k$ a $\mu = \mu_{max}$ nastává odstržení měkké plochy třecí dvojice rovnoběžně s dotykovou plochou (tzv. pick-up).

1.4.2 Druhý fyzikální model

Ten vysvětluje průběh smykových napětí τ_R a vychází z obecné závislosti $\tau_R = m \cdot \sigma_k$, kde hodnota m je třecí faktor (ekvivalent) a nabývá hodnot $0 \leq m \leq 1$. Pro $m = 0$ jde o případ bez tření a pro $m = 1$ jde o případ adhezního přilnutí.

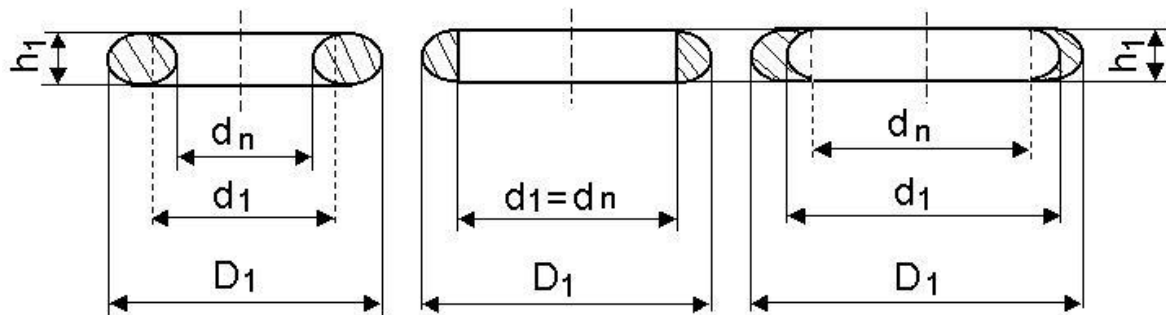
2. Zkoušky pro zjišťování součinitele tření a zkoušky maziv

2.1 Zkouška pěchování prstence podle Male a Cockrofta

Pro objemové tváření je doposud nejrozšířenější zkouška pěchování prstence. Tato zkouška je výhodná zejména proto, že při ní není nutné měřit tvářecí sílu a přetvárnou rychlosť. Touto zkouškou můžeme testovat za studena třecí poměry při tváření za tepla a poloohřevu., přičemž se nevyžaduje znalost vlivu teploty a rychlosti přetvoření na přetvárný odpor materiálu. Poskytuje třecí data pro celý obor tření od 0 do stavu adheze $\mu_{\max} \in \langle 0,5, 0,577 \rangle$. Prstenec, jehož rozměry $D_0 : d_0 : h_0$ je doporučeno volit v poměru $6 : 3 : 2$ se pěchuje postupně až na poměrnou deformaci výšky 50% i více. Deformace probíhá v podstatě dle podmínek vnějšího tření a mohou tak nastat v podstatě tři stavy:

- Dvousměrny tok kovu ve směru volných povrchů vnějšího a povrchu otvoru. V tomto případě se zmenšuje sledovaný $\varnothing d_1$ oproti neutrálnímu $\varnothing d_n$. Jde o velké tření.
- Jednosměrny tok kovu pouze ve směru vnějšího volného povrchu, kde se zvětšuje $\varnothing D_1$ a $\varnothing d_1 = \varnothing d_n$. Jde o střední tření.
- Jednosměrny tok kovu, kde se $\varnothing d_1$ zvětšuje na $\varnothing d_n$ a blíží se směrem k $\varnothing D_1$. Jde o nízké tření.

Zejména vnitřní průměr otvoru velmi citlivě reaguje na podmínky tření. Z kalibračních diagramů stanovených na bázi rychlostních polí lze potom snadno určit i průběh součinitele tření včetně kritických deformací, kdy dochází k utržení maziva apod.



Obr. 1 Možnosti deformace prstencových vzorků, charakterizující různé stupně tření.

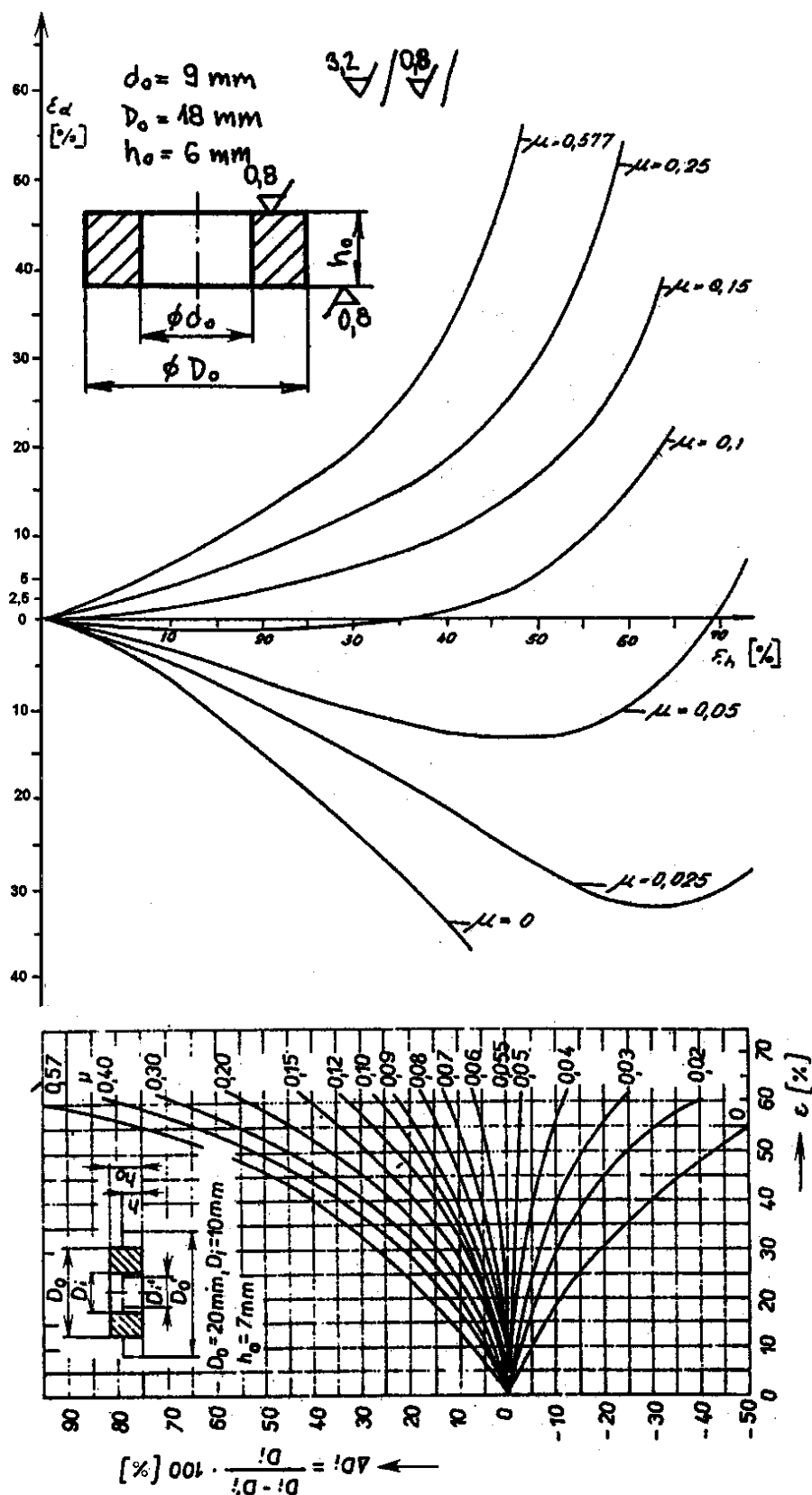
Z literatury je známo mnoho typů vzorků, ovšem požadovaný poměr hlavních rozměrů musí být dodržen.

Jsou známy i různé postupy měření rozměrů pěchovaných vzorků pro stanovení součinitele tření v kalibračních diagramech, od optických měření malých průměrů soudečků (vznikají vlivem tření v kontaktních plochách) a velkých průměrů, kdy jsou spočítány střední průměry vzorků z těchto hodnot až po nejjednodušší měření velkých průměrů soudečků a výšky posuvným měřítkem. Vyhodnocení zkoušky je poměrně jednoduché. Po několika spěchování vzorků v několika stupních deformace (min. v pěti), se spočítají poměrné deformace výšky a vnitřního průměru vzorku:

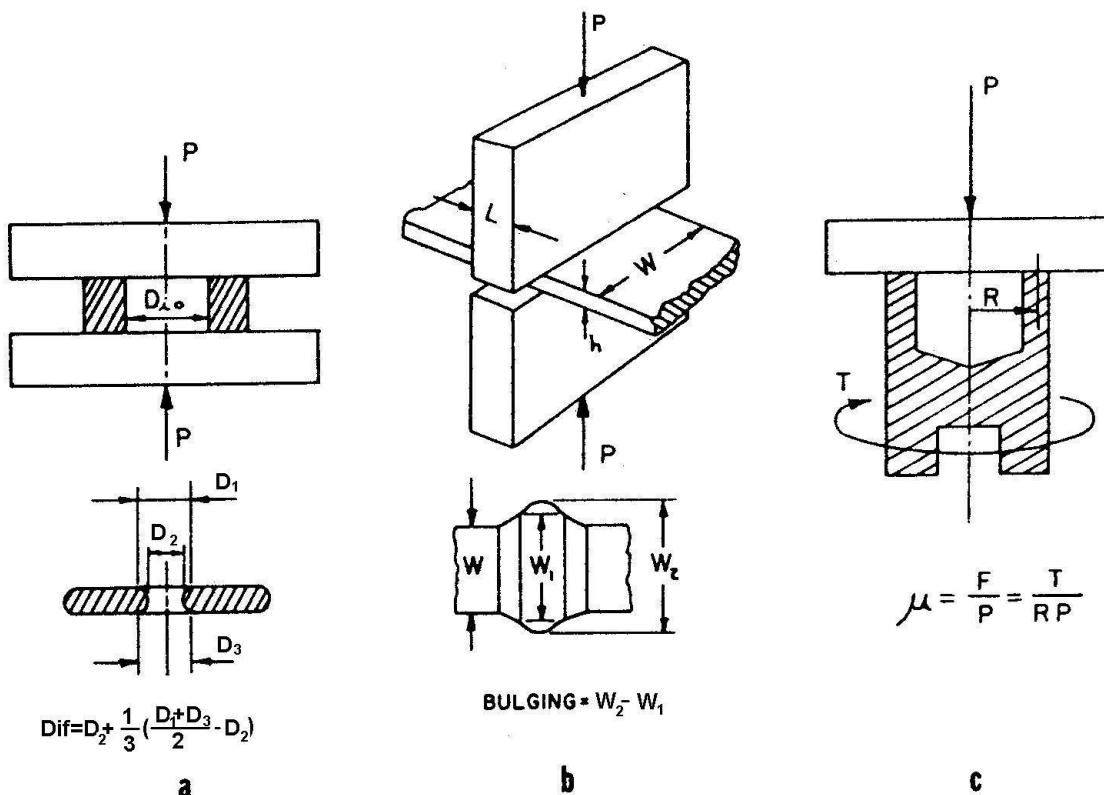
$$\varepsilon_h = \frac{h_0 - h_i}{h_0} \cdot 100[\%]$$

$$\varepsilon_d = \frac{d_0 - d_i}{d_0} \cdot 100[\%]$$

Body závislosti $\varepsilon_d = f(\varepsilon_h)$ se vynesou do příslušného kalibračního diagramu, kde ji lze approximovat příslušným analytickým modelem.



Obr. 2 Vzorky pro pěchování prstence s ukázkami kalibračních diagramů.



Obr. 3 Schémata zkoušek pro zjištění součinitele a stupně tření ve tváření:

- zkouška pěchování prstence,
- pěchovací zkouška plošného tlaku – Ford test,
- zkouška kombinovaným namáháním krut – tlak.

2.2. Pěchovací zkouška plošného tlaku- Ford –test

Pásový materiál je zde vytlačován pomocí dvou protilehlých tlačných hranolů. Aplikovat lze různá maziva v kontaktní ploše, podobně jako u předešlé zkoušky. Protože je materiál vytlačován kolem ostrých hran hranolů ukáže se v průběhu zkoušky možnost sklonu mazaného vzorku k „pick- up“. Podmínky zkoušky jsou podobné těm podmírkám, které mohou existovat kolem zaoblení kovacích nástrojů. Ty často představují nejkritičtější plochu z hlediska mazání nástroje.

Dříve se tato zkouška používala pro stanovení přetvárného odporu materiálu ve Fordových závodech, včetně měření tvářecí síly a posudu, v současnosti je zkouška používána k testování tření ve tvářecích procesech bez nutnosti měření uvedených veličin, přičemž vlivem trojosého stavu napjatosti se pěchovaný pás rozšiřuje do stran- vybouluje se (bulging). Výsledný vypuklý tvar je různý pro nízký a vysoký stupeň tření. Stupeň tření mazacího filmu za účasti různých povrchových úprav kovadel charakterizuje vyboulení $\Delta W = (W_2 - W_1)/2$, kde je W_2 maximální rozměr vyboulení a W_1 je minimální rozměr vyboulení u kořene vyboulení. Čím je větší tření v kontaktní ploše, tím větší je vyboulení a naopak čím je tření nižší je vyboulení menší.

Jde o kvalitativní metodu testování tření, která je vhodná bud' na testování různých maziv za konstantního stlačení a jakosti povrchu kovadel a nebo testování různých povrchů kovadel (leštěné, broušené, pískované apod.) za působení určitého maziva při konstantním stlačení. Uplatňuje se zejména v kombinaci s dalšími zkouškami. Doporučené parametry zkoušky jsou $W/L > 6$ a $2 < L/h < 4$ (viz obrázek 3).

2.3. Zkouška kombinovaným namáháním krut- tlak (Twist- compression test)

Zde je stacionární hranol přitlačován na rotující prstencový vzorek. Plasticická deformace je zde spolu s přitlačnou silou limitována zborcením vzorku, ovšem relativní prokluz bývá relativně silný. Při zkoušce můžeme simulovat různé možnosti v tloušťce naneseného maziva, průběžný nebo přerušovaný kontakt polotovaru s nástrojem za různých otáček zkušebního vzorku. Koeficient tření může být spočítán přímo z hodnoty změřené normálné síly a krouticího momentu

$$\mu = \frac{F}{P} = \frac{T}{R \cdot P},$$

kde T je krouticí moment, F je třecí síla, P je změřená normálná síla a R je rameno krouticího momentu. Tato zkouška se používá v případech kde se očekává „pick-up“.

Uvedené zkoušky nejsou normalizovány, ovšem z renomovaných odborných publikací se řadí k nejpoužívanějším zkouškám stupně a koeficientu tření ve tváření.

Cvičení č. 7 Zkouška pěchování prstence pro stanovení průběhu součinitele tření během tvářecího procesu

Zadání:

Stručně popište výhody pěchovací zkoušky prstence a uveďte metodiku provedení a vyhodnocení zkoušky. Na souborech pěti vzorků nemazaných a deseti mazaných vzorků s poměrem výchozích rozměrů $D_0 : d_0 : h_0 = 6 : 3 : 2$ provedte zkoušky, proměření hlavních rozměrů po deformaci a výpočet poměrných přetvoření průměru otvoru a výšky prstence.

Vyneste závislosti $\varepsilon_d = f(\varepsilon_h)$ v měřítku souřadnic dle přiložených kalibračních diagramů a porovnejte s jejich použitím hodnoty součinitele tření a zhodnotě výsledky.

Poznámky:

Vzorky 1 až 5 – nemazané, vzorky 6 až 10 – mazivo: Stearát zinečnatý, vzorky A až E – mazivo MoS₂ + strojní olej (Molyko).

Nemazané vzorky je nutné před zkouškou odmastiť spolu s kovadly.

Zkoušky se provádí na hydraulickém lisu CZR 600 v nástroji pro pěchovací zkoušky. Kovadla jsou broušená.

Pomůcky: diagramy součinitelů tření, posuvné měřítko, uvedená maziva, tampony z buničité vaty, toluen, sací papír, pinzeta.

Výpočet poměrných přetvoření

$$\varepsilon_h = \frac{h_0 - h_i}{h_0} \cdot 100[\%]$$

$$\varepsilon_d = \frac{d_0 - d_i}{d_0} \cdot 100[\%]$$

Výchozí rozměry:

$$1 \div 5 : \overline{d_0} = 9,865[\text{mm}]$$

$$\overline{h_0} = 7,05[\text{mm}]$$

$$A \div E : \overline{d_0} = 9,89[\text{mm}]$$

$$\overline{h_0} = 7,05[\text{mm}]$$

$$6 \div 10 : \overline{d_0} = 9,00[\text{mm}]$$

$$\overline{h_0} = 6,10[\text{mm}]$$

Pro vyhodnocení zkoušek se použijí kalibrační diagramy z obrázku 2, podle výchozí geometrie vzorku. Vzorky je doporučeno pěchovat na hodnoty ε_h 10, 20, 40, 55 a 70%.

Studijní literatura

- [1] ŠANOVEC, J.- ČERMÁK , J. – MÁDLE, L.: Mezní problémy a výpočetní technika ve tváření. Skriptum ČVUT, Praha 1989
- [2] Journal of Lubrication Technology, April 1975, ASME, USA str. 289- 295
- [3] ROWE, G W. : Principles of Industrial Metalworking Processes, Edward Arnold Ltd., London 1977

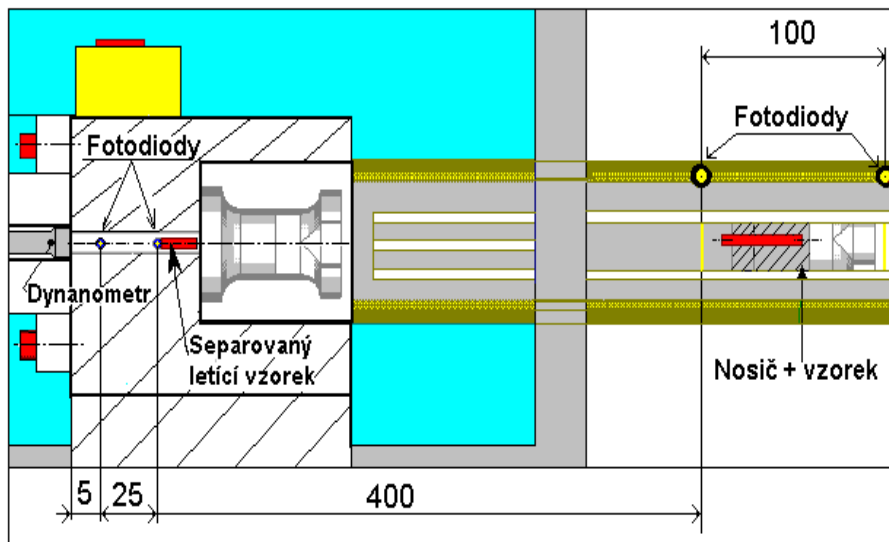
8. ZJIŠŤOVÁNÍ RÁZOVÝCH SIL A NAPĚtí PŘI TAYLOROVĚ TESTU

8.1 Úvod

Cestou Taylorova testu a jeho simulacemi v prostředí LS DYNA 3D byly získány parametry matematicky popsaných křivek dynamických přetvárných odporů ocelí dle Johnsona-Cooka. Jejich využití ve výpočtových modelech pro objemové tváření bylo prokázáno v rámci programů počítačové podpory v technologiích objemového tváření. Experimentální zjišťování rázových sil a napětí při TAT poskytuje možnosti srovnání s výstupy silových parametrů po provedených simulacích.

Výrazný rozvoj mikroelektroniky se odrazil při návrhu nového typu zařízení pro měření rychlosti dopadu vzorku při TAT. Zařízení je miniaturní a je schopno měřit časy průletu vzorku mezi dvěma fotodiodami těsně před dopadem s přesností až 0,1 μ s při minimální velikosti rozptylu světelného paprsku. Na rozdíl od svého předchůdce neměří čas průletu vzorku i s nosičem při ústí kanónu, ale měří čas samostatně letícího zkušebního vzorku po oddělení od nosiče jak je patrné z obr.1.

Snímače jsou umístěny před dopadlištěm. Optické kabely vedou k dutině dopadové komory, ve které je vzorek již oddělen od nosiče. Kabely jsou od sebe vzdáleny 25mm, přičemž druhý je vzdálen 5 mm od dopadliště (tyče nebo tuhé desky). Kabely respektive přijímače (foto-diody), jsou osvětleny světelným paprskem z LED diod velké svítivosti. Úhel světelných paprsků je kolmý k optickým kabelům



Obr.1 Schéma zařízení pro TAT v místě dopadu vzorku

Rozptyl paprsků je minimalizován, proto nedochází ke zkreslení zapnutí a vypnutí čítače. U stávajícího měřicího zařízení je měřena vzdálenost mezi první a druhou fotodiodou 100 mm. U nově vyvinutého typu je vzdálenost mezi optickými kabely 25 mm. Rychlosť průletu ústím kanónu u stávajícího měřicího zařízení je dána výrazem:

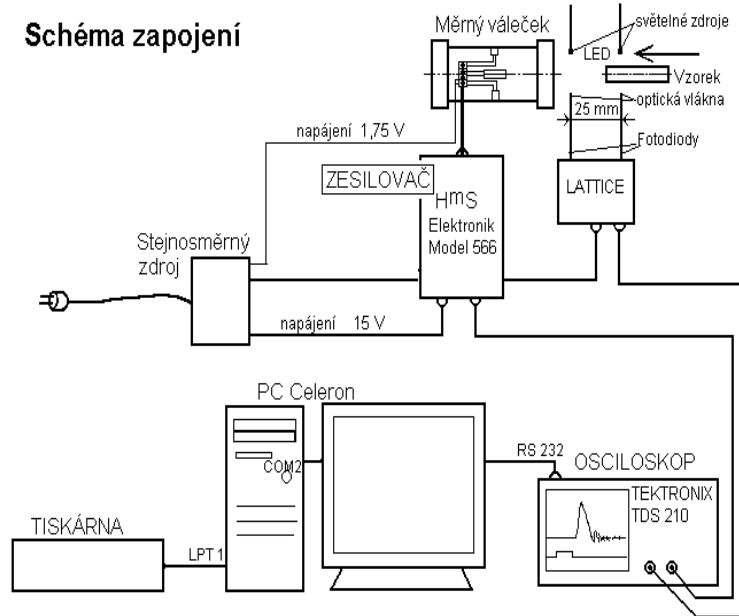
$$v_{vz} = \frac{s_1}{t_1} \quad [\text{m/s}], \text{ kde } t_1 \text{ je měřená doba průletu } [\mu\text{s}] \text{ a } s_1 \text{ je měřená vzdálenost } [\mu\text{m}]$$

8.2 Záznam průběhu rázové sily při TAT

Rázová síla je důležitým výstupním parametrem TAT. Velikost a průběh síly nám může poskytnout konkrétní představu o průběhu deformace vzorku. Zároveň může být srovnávacím parametrem mezi experimentem a simulací vysokorychlostního děje. K měření rázové síly byl navržen tenzometrický dynamometr.

Navržený dynamometr (měrný válec o $\phi 12$ mm opatřen 4 tenzometry HBM 3/120 LY 11, 120Ω , $k=1,99$, $U_n=3V$; zapojeny do plného mostu) z vysoko pevné oceli MARAGING byl cejchován do 100 kN na hydraulickém lisu a byla získána závislost zatížení na elastické deformaci dynamometru. K cejchování tenzometrického dynamometru byl použit automatický 32 kanálový analyzátor řízený procesorem.

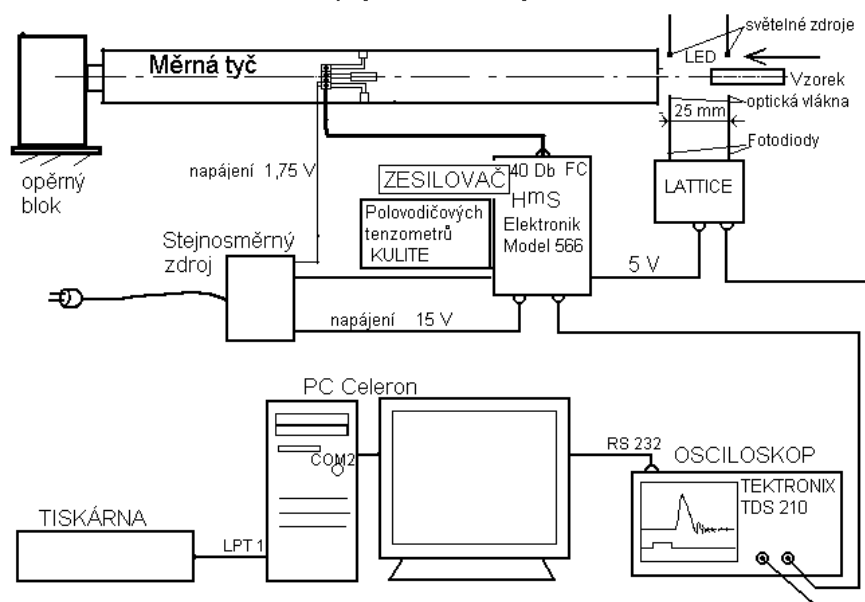
Schéma zapojení



Obr.2 Schéma zapojení pro měření rázových sil pomocí měrného válečku-dynamometru

Vzhledem k tomu, že odražený signál od konce dynamometru se začal směšovat s měřícím signálem zatěžovacím, bylo třeba navrhnout dynamometr s delším převislým koncem za umístěním tenzometrů.

Schéma zapojení s měřící tyčí

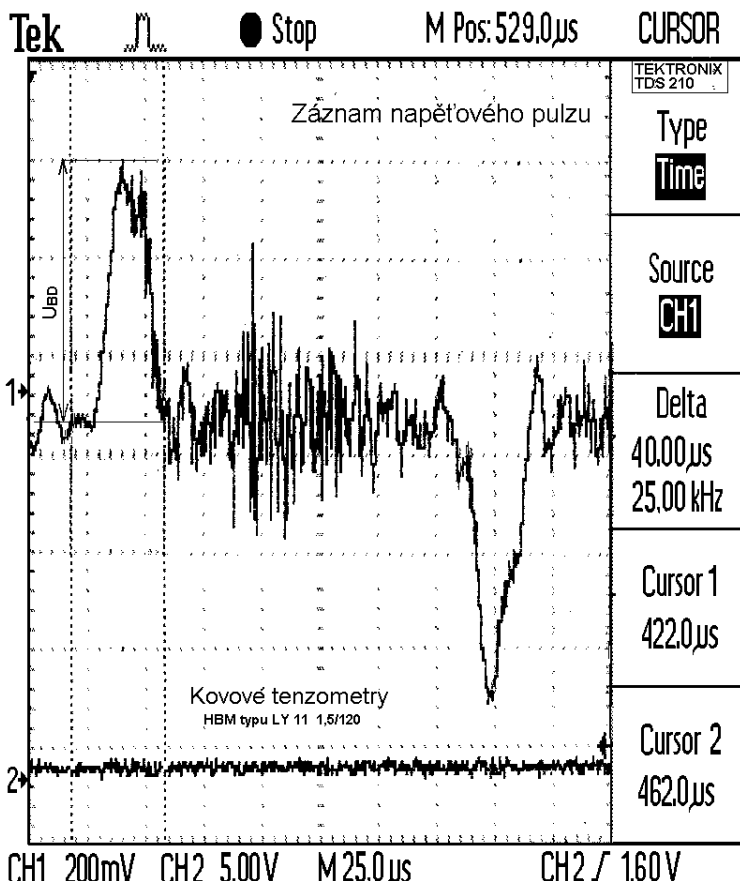


Obr.3 Schéma zapojení pro měření rázových sil dynamometrem ve tvaru měrné tyče-

8.3 Záznam napěťových vln při dopadu vzorku u TAT

Zkušební vzorek je akcelerován s nosičem pomocí stlačeného vzduchu. Po adjustaci vzorku z nosiče letí vzorek samostatně k místu dopadu. Místo tuhé desky (klasický TAT) je dopadovou plochou tyč z vysoce-

pevné oceli MARAGING o rozměrech $\phi 20 \times 600$ mm, na které jsou přilepeny buď odporové nebo polovodičové tenzometry. Pomocí zesilovače a záznamového zařízení-paměťového osciloskopu TEKTRONIX TDS 210 jsou zaznamenány napěťové pulsy vyvolané zkušebním vzorkem. Zobrazený záznam na obr.4 lze buď okamžitě vytisknout přes rozhraní LPT1, nebo je lze přenést na pevný disk počítače přes RS 232 a zpracovat programem SCOOP.



Obr. 4 Typický průběh napěťového pulsu na tyči získaný kovovými tenzometry HBM LY11 1,5/120, (K=2,0). (Ocel TRISTAL, dopadová rychlosť vzorku $v_o = 85,2$ m/s, měřené napětí na mostu ve větví BD je $U_{BD}=520$ mV)

Praktická měření rázových sil

Schéma sestavy měření je na obr.4. Dynamometr - měrná tyč je umístěna kolmo k dopadové ploše zařízení TAT. Pomocí zesilovače a paměťového osciloskopu TEKTRONIX TDS 210 byl zaznamenán rázový puls, který vyvolal náraz zkušebního vzorku na čelo tyče. Je patrný prudký vzrůst měřicího napětí U_{BD} s následnou oscilací způsobenou disperzem a odraženými napěťovými pulsy. Takto zobrazený průběh měřicího napětí (rázové síly) na čase je možné přímo vytisknout na tiskárně připojené přes LPT1 na osciloskop, nebo pomocí RS232 přenést naměřená data do počítače, kde budou v běžně dostupném tabulkovém procesoru (např. Excel) nebo ve speciálním programu SCOPE je možné dále zpracovat.

Vstupní data pro výpočet, příklad pro vzorek T6 z oceli TRISTAL:

Dopadová rychlosť vzorku 85,2 m/s

napájecí napětí tenzometrů na dynamometru $U_n: 1,76$ V

naměřené napětí viz obr. 3, je $U_{BD}= 0,52$ V

K faktor tenzometru: 2,0 Zesílení snímaného signálu $z = 1000 \times$

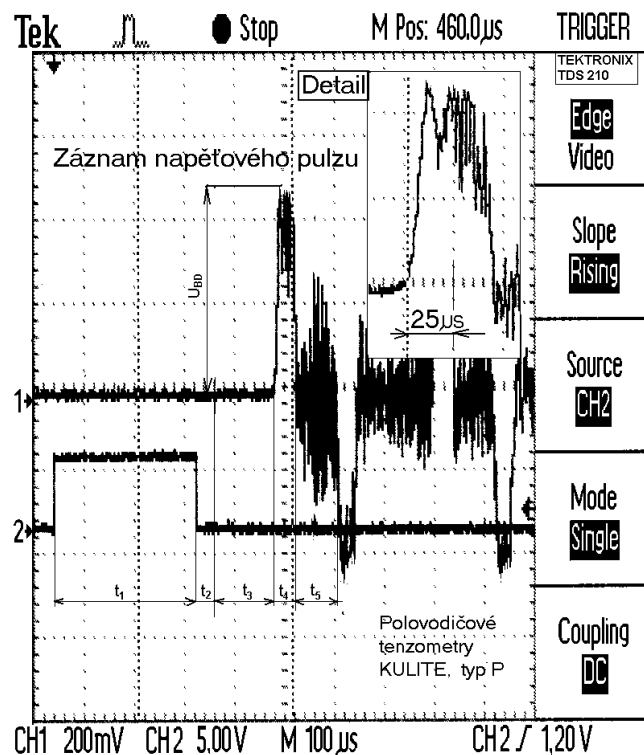
$$\varepsilon_{mer} = \frac{U_{BD}}{U_n} \frac{2}{K} \frac{1}{z \cdot (1 + \mu)} = \frac{0,52}{1,76} \frac{2}{2,0} \frac{1}{1000 (1 + 0,3)} = \underline{\underline{0,0002273}}$$

$$\sigma_1 = E \cdot \frac{1}{2} \varepsilon_{mer} = 210000 \cdot 0,00011365 = \underline{\underline{23,864 \text{ MPa}}}$$

$$\text{Výsledná rázová síla. } F = \sigma \cdot S = 23,864 * 314,15 = 7496,76 N = \underline{\underline{7,5 \text{ kN}}}$$

Rovněž bylo zkoumáno trvání napěťového pulsu, jeho velikost a průběh vyvolaný dopadem zkušebního vzorku na tuhou překážku. Díky této úpravě dopadové plochy může experiment poskytnout důležitá data (dobu napěťového pulsu, max. velikost a průběh nap. pulsu, příp. sílu vyvolanou v tyči po dopadu zkušebního vzorku), která jsou zajímavá a důležitá při porovnání simulace a experimentu vysokorychlostního děje.

Při experimentech byly použity dva typy tenzometrů, které byly nalepeny uprostřed tyče v délce 400 mm od okraje tyče. Při použití odporových tenzometrů firmy HBM typu LY 11 0,6/120 byly tenzometry nalepeny do plného mostu. 2 aktivní tenzometry byly přilepeny na tyči podélne a dva kompenzační byly nalepeny napříč osy tyče. Při použití 4 polovodičových tenzometrů firmy KULITE byly tenzometry nalepeny do plného mostu rovněž přímo na tyči (dva v podélném a dva v příčném směru). Důvodem použití dvou odlišných typů tenzometrů bylo prokázání shody průběhu a doby napěťového pulsu při náhlém rázovém zatížení tyče. U obou dvou typů tenzometrů byla zjištěna prokazatelná shoda jednak ve velikosti a průběhu napěťových pulsů, tak i v době jejich trvání. Typické průběhy napěťových pulsů na tyči s polovodičovými tenzometry jsou zobrazeny na obr. 4 a obr.5. Napěťový pulz indikovaný polovodičovými tenzometry se zesílením 10 x představuje obr.4

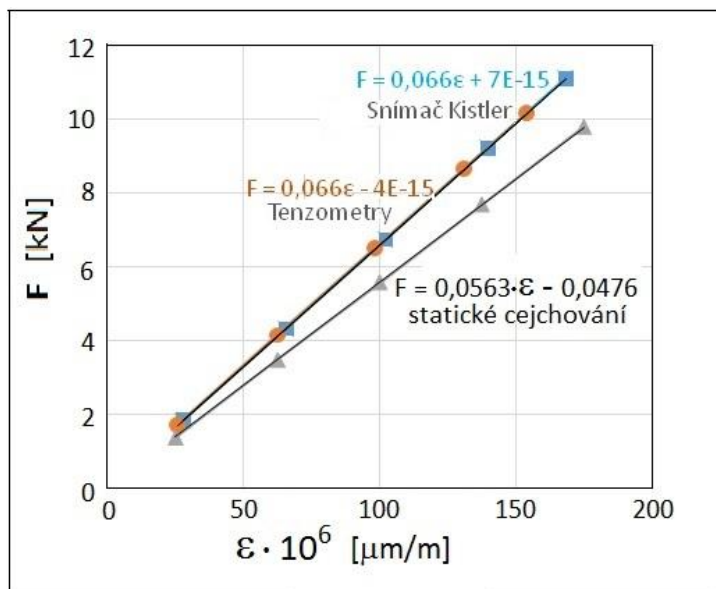


Obr. 5 Průběh napěťového pulzu získaný polovodičovými tenzometry (K=120)

Z obr. 5 jsou patrné dva základní záznamy. Pod číslem 2 (druhý kanál paměťového osciloskopu) je průběh doby průletu zkušebního vzorku z oceli TRISTAL měřícím zařízením dopadovou rychlosťí vzorku $v_o = 87,4 \text{ m/s}$, doba t_1 . Jestliže vzorek proletí kolem první fotodiody dojde ke způštění celého zařízení měřicího napěťové pulsy. Tím se eliminuje vliv vedlejších rušivých el. signálů, které by mohly ovlivnit průběh měření

Forej2003

napěťového pulsu. Křivka 1 (první kanál paměťového osciloskopu) na obr. 5 znázorňuje samotný průběh napěťového pulsu na tyči. $U_{BD} = 450$ mV je velikost měřicího napětí při napájení $U_n = 2,41$ V. Doba t_1 je doba průletu zkušebního vzorku mezi 2 fotodiodami vzdálené 25 mm od sebe, t_2 je doba, kterou vzorek letí k čelu tyče (neboť poslední fotodioda je vzdálená 5 mm od čela dopadové plochy). t_3 představuje dobu po kterou se napěťový puls šíří rychlosť zvuku k měřícímu zařízení (tenzometrem), t_4 je délka napěťového pulsu a doba t_5 je čas za který urazí napěťová vlna k volnému čelu tyče, kde se odrazí a šíří se s opačnou amplitudou zpět k tenzometru.



Obr.6 Cejchovní diagram měřící tyče TAT

Měřící tyč je vyrobena rovněž z vysoce pevné oceli MARAGING. Byla cejchována staticky do 100 kN na hydraulickém lisu a byla získána závislost zatížení na elastické deformaci dynamometru, viz obr. 6. K cejchování tenzometrického dynamometru (měrné tyče) byl použit automatický 32 kanálový analyzátor řízený procesorem. K dynamickému cejchování měrné tyče byl, vedle tenzometrů zapojených do Wheatonova mostu, použit i snímač KISTLER 9222.

8.4 Závěry

Typické průběhy napěťových pulsů na tyči viz obr. 4 a obr.5 dokládají že, u obou dvou typů tenzometrů byla zjištěna prokazatelná shoda jednak ve velikosti a průběhu napěťových pulsů, tak i v době jejich trvání. Zkoušky byly provedeny na ocelích TRISTAL a 12 050. Pro porovnání hodnot napěťových pulsů byly u oceli TRISTAL zaznamenány napěťové pulsy při dopadových rychlostech vzorků: 203 m/s, 193,78 m/s, 183 m/s, 163,7 m/s, 120,3 m/s, 92,3 m/s, 46,4 m/s, 33,8 m/s a 26,64 m/s. Při měření na tyči s odporovými, tak i polovodičovými tenzometry byly dosaženy srovnatelné výsledky. Při vysokých rychlostech jsou amplitudy a velikosti tlumení vysoké, zatímco při nízkých rychlostech jsou nízké. Výsledky dynamického cejchování měřící tyče TAT prokázaly dobrou shodu pro tenzometrické snímače a snímač Kistler 9222

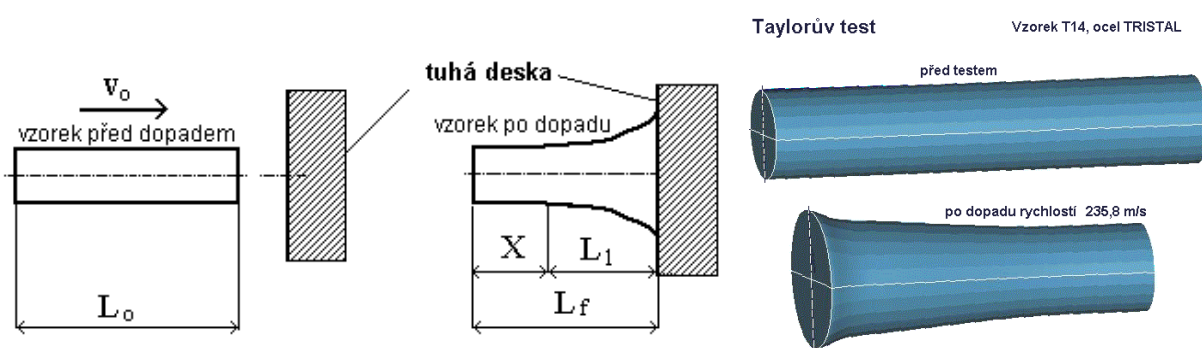
Studijní literatura

- [1] FOREJT, M., BUCHAR, J. JOPEK, M., KREJČÍ, J. Parametric numerical studies of the Taylor test. In TANGER s.r.o. *Proceedings of the 11th International Metalurgical & Materials Conference, Symposium B, METAL 2002 Hradec nad Moravicí*. 1st ed. Ostrava, TANGER, TU-VŠB and CSNMT, Ostrava, May 14 - 16 2002. vol 1. p 80/1-80/7. CD ROM, ISBN 80-85988-73-9.
- [2] FOREJT, M., KREJČÍ, J., JOPEK, M., BUCHAR, J., PERNICA, Z. Dynamic models of formed materials. *Acta Mechanica Slovaca*. 2002, vol. 6. no. 2, p. 21-26. ISSN 1335-2393
- [3] FOREJT, M., JOPEK, M., PERNICA, Zb., KRÁSNÝ, D. Zjišťování rázových sil a napětí při Taylorově testu. (Measurement of deformatio forces and stresses during the Taylor Anvil Test). *Proceedings of the 8th International Conference TECHNOLOGY 2003*. Slovak University of Technology in Bratislava. 1st ed. September 9-10. 2003. Vol.1. p 118-1 - 118-4. CD ROM. ISBN 80-227-1935-8
- [4] ŠLAIS Miroslav, Milan FOREJT a Ivo DOHNAL. Verification of measurements of dynamic loading during the Taylor anvil test. MM Science Journal, 2016, No 5, p. 1343-1345. ISSN 1805-0476

9. PROVEDENÍ TAYLOROVA TESTU A JEHO VYHODNOCENÍ

9.1 Taylorův kompresní test a jeho simulace

Kompresní rázové zkoušky jsou provedeny Taylorovým testem-TAT na pneumatickém kanónu v laboratoři ÚST FSI VUT v Brně pro válcové vzorky $\phi 5 \times 25$ mm s broušenými čely z tvařitelných ocelí. Rozsah dopadových rychlostí je 40 až 250 m s⁻¹.

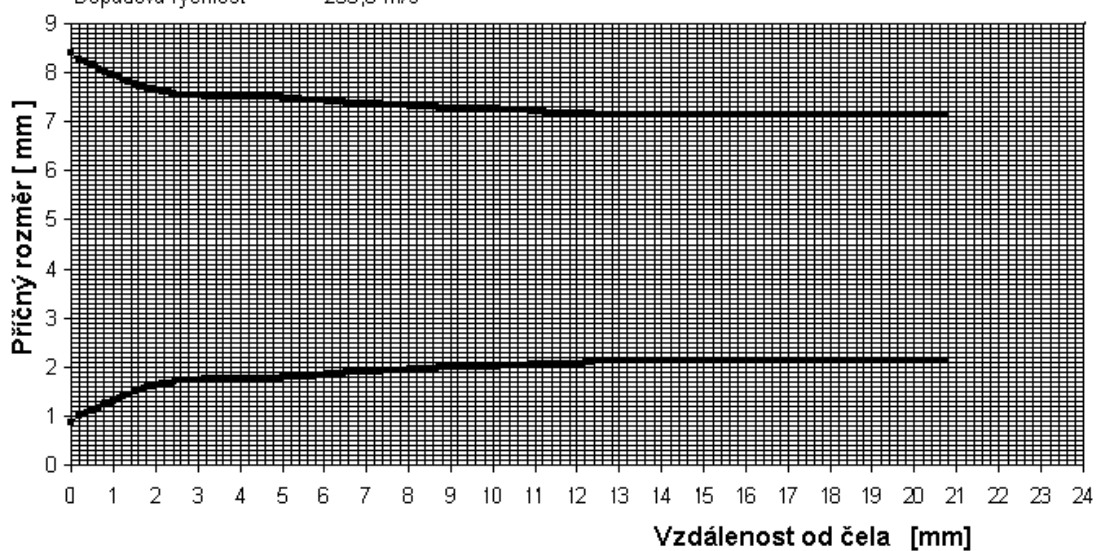


Do metodiky modelování byly jako nezbytné zahrnuty: ověřování mechanických vlastností a tvařitelnosti ocelí, obrazová analýza tvaru vzorku po TAT s využitím programu LUCIA, metalografické hodnocení struktur, a měření pole mikrotvrdoští HV na osových řezech vzorků na počítačem řízeném tvrdoměru LECO.

Vyhodnocení tvaru obrazovou analýzou

Původní rozměr vzorku $\phi 5,00 - 25,00$ mm
Konečný rozměr vzorku $\phi 7,54 - 20,83$ mm
Dopadová rychlosť 235,8 m/s

Ocel 12 050.3, vzorek 5-14



Stanovení dynamických mezí kluzu a ostatních parametrů rázového kompresního děje- TAT

Matematický model:

1) Vzorec pro dynamickou mez kluzu:

a) podle Taylora:

$$\sigma_y = \rho \times v_0^2 \frac{10^{-6} (L_o - x)}{2(L_o - L_1) \ln \frac{L_o}{x}}$$

b) podle Wilkinse a Guinina:

$$x=0 \\ \frac{L_f}{L_o} = \exp\left(\frac{-\rho_o \times v_o^2}{2\sigma_y}\right) \Rightarrow \sigma_y = \frac{\rho_o \times v_o^2 \times 10^{-6}}{2 \ln \frac{L_o}{L_f}}$$

2) Určení tvářecí síly a zrychlení (resp. zpomalení)

$$F_{max} = +m \times a_{max} = m \times 2a = m \times 2 \frac{dv}{dt} \times \frac{dx}{dx} = m \times 2 \times v \frac{dv}{dx}$$

$$F_{max} \int_0^{\Delta l} dx = 2m \int_{v_p}^0 v dv$$

$$\frac{1}{2} F_{max} \times \Delta l = -m \times \frac{v_o^2}{2} \Rightarrow \text{maximální rázová síla z rovnoměrně zpomaleného pohybu}$$

$$Ap = Ekin \\ F_{max} = -m \frac{v_o^2}{\Delta l} \quad (N) \\ a_{max} = -\frac{v_o^2}{\Delta l} \quad (\text{ms}^{-2}) \quad a_{stř} = -\frac{v_o^2}{2\Delta l} \quad (\text{ms}^{-2})$$

9.2 Konstitutivní rovnice Johnson-Cooka

K matematickému popisu závislosti deformačního odporu (deformační napětí, flow stress) na efektivní plastické deformaci (true plastic strain), rychlosti deformace (high strain rate) a na teplotě je použit osvědčený konstitutivní vztah dle Johnson-Cooka pro BCC materiály, který zahrnuje základní fyzikální parametry. Tento konstitutivní vztah je mj. vhodný pro dynamické kompresní testy s vlivem setrvačných sil a mechanických rezonancí (medium rate, dynamic low) a dobře predikuje deformační chování ocelí, zvláště při objemovém tváření na tvářecích automatech.

$$\sigma = \left(\sigma_0 + B \cdot \dot{\Phi}^n \right) \left[1 + C \cdot \ln \frac{\dot{\Phi}}{\Phi_0} \right] \left[1 - (T^*)^m \right]$$

kde σ_0 , B , C , n , m , představuje 5 experimentálně a simulací stanovených vstupních parametrů a homologická teplota je definována podílem

$$T^* = \frac{T - T_o}{T_m - T_o}$$

T je teplota materiálu, [K]

T_o je referenční teplota (teplota okolí) při statické mezi kluzu $\sigma = \sigma_o$, [K]

T_m je teplota tavení, [K]

σ_o je mez kluzu stanovená z kvázistatických kompresních testů, [MPa]

n je exponent zpevnění,

Φ_o je referenční rychlosť deformace, 1 s⁻¹

Φ je efektivní logaritmická rychlosť deformace (rychlosť deformace), [s⁻¹],

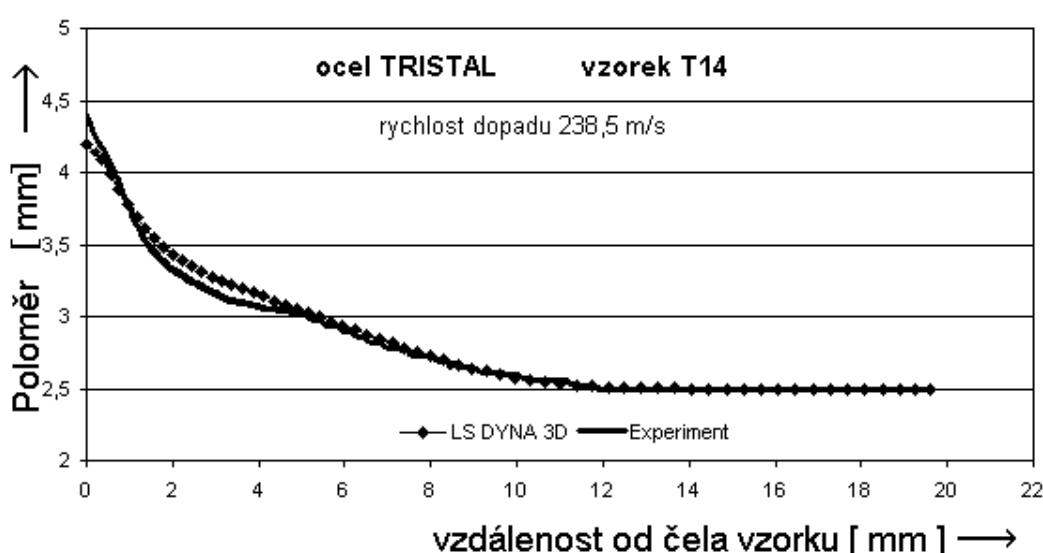
m je teplotní koeficient odpevnění

C parametr, který určuje citlivost na rychlosť deformace

B pevnostní parametr

9.3 Optimalizace parametrů konstitutivních rovnic simulací TAT.

Parametry Johnson-Cook konstitutivní rovnice uvedené v tabulce Tab.1 jsou výsledkem počítačové simulace kompresního testu programem MKP LS DYNA 3D. Vstupními hodnotami jsou: geometrie vzorku po kompresním testu TAT za různých rychlosťí dopadu vzorku, statické meze kluzu σ_o z pěchovacích zkoušek, ostatní fyzikální parametry předmětného materiálu, model dle konstitutivní rovnice Johnson-Cooka. Optimalizace parametrů Johnson-Cook konstitutivní rovnice byla prováděna cestou dosažení nejlepší shody tvaru vzorku [6], [10], [13], [19]. Rozdíly průměrů vzorku z experimentu a ze simulace se pohybují od asi 5% až do 10%, což vyjadřuje poměrně dobrou shodu. Pro sledované rychlosťi deformace do 1000 s⁻¹ jde především o nejlepší shodu tvaru ve střední oblasti vzorků, jak ukazuje následující příklad.

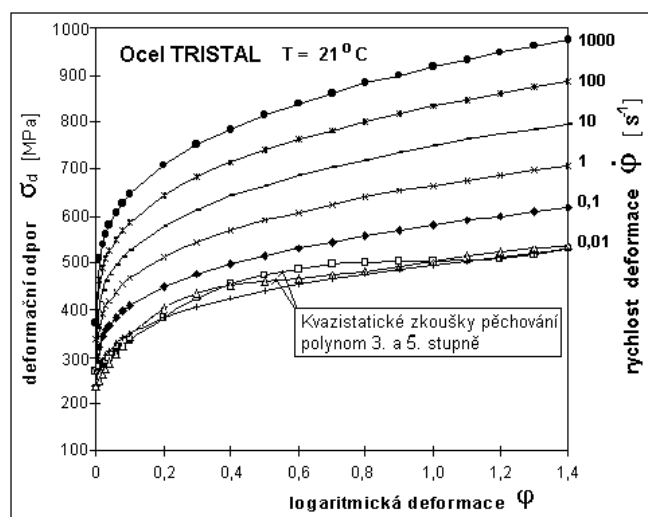
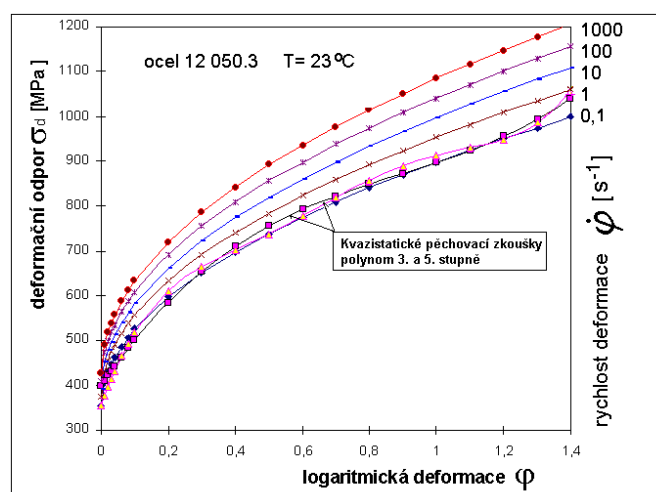


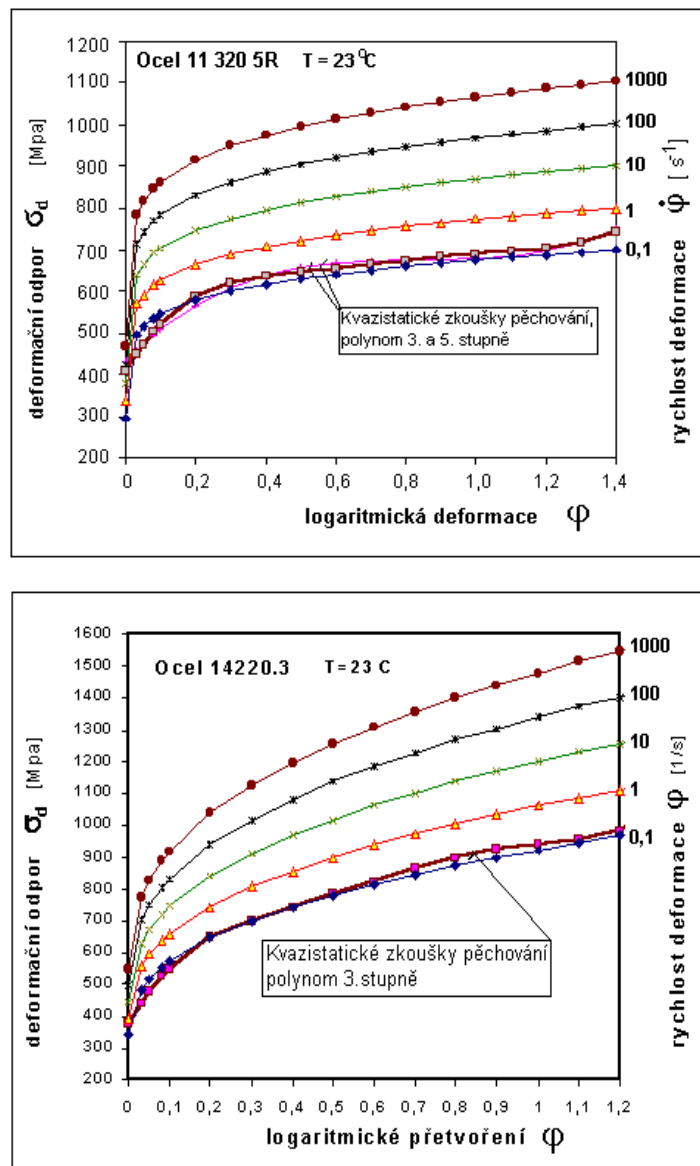
Tab.1

| Parametry konstitutivní Johnson-Cook rovnice pro Taylorův kompresní test | | | | |
|--|------------------|-----------------|-------------------|------------------|
| | Ocel 12 050.3 | Ocel TRISTAL | Ocel 11 320 5R | Ocel 14 220.3 |
| σ_0 | 375 | 273 | 450 | 400 |
| B | 580 | 401 | 350 | 680 |
| C | 0,02 | 0,055 | 0,055 | 0,057 |
| n | 0,5 | 0,3 | 0,18 | 0,4 |
| m | 1,04 | 0,72 | 0,70 | 0,70 |

9.4 Křivky deformačních odporů pro vybrané oceli,

jsou součástí materiálových modelů na webových stránkách





9.5 Experimentální zařízení

Laboratoř vysokých rychlostí deformace - LVRD, B1/411, byla zřízena na FSI VUT v Brně při ÚST, odboru technologie tváření a plastů v r.1994. Experimentální pneumatická zařízení umožňují provádět Taylorův test a Hopkinsonův test. Jde o jedinělá, v Evropě unikátní zařízení. Současně jsou využívány: mechanická laboratoř na ÚMI-NoM, - laboratoř elektronové a světelné mikroskopie ÚMI-OSFA, - spolupráce s ÚFM AV ČR v Brně při měření a strukturním hodnocení.

Pneumatické zařízení pro Taylorův test doplněno digitálním paměťovým osciloskopem TEKTRONIX 210D, řídícím a vyhodnocovacím počítačem a měřícím zesilovačem ke snímání napěťových pulsů pomocí polovodičových tenzometrů. Dále byl vyvinut tenzometrický dynamometr k měření dopadových sil a nový typ časového snímače s fotodiody a plastickými optickými vlákny. Zařízení na bázi moderní mikroelektroniky umožňuje snímat čas průletu na bázi 25 mm bezprostředně před dopadem vzorku. Současně připojení na osciloskop TEKTRONIX umožňuje automatické spouštění záznamu napěťového pulzu, K vyhodnocování signálů zaznamenaných osciloskopem TEKTRONIX je používán profesionální software SCOPE 5.5.

Studijní literatura

- [1] FOREJT,M., JOPEK,M., BUCHAR,J. Plastic deformation při vysokých rychlostech deformace. Plastic deformation at high strain rates. In *TECHNOLÓGIA '99 Bratislava*. Proceedings of the 6th International Conference presented by the STU Bratislava, September 8.-9. 1999. Volume 1. Printed by STU Bratislava 1999. pp 286-289. ISBN 80-227-1255-8.
- [2] FOREJT,M., JOPEK,M., BUCHAR,J. Constitutive Equations for the Behaviour of BCC Steels at High Strain Rates. In *METAL 2000 Ostrava*. Proceedings of the 9th International Metalurgical Conference, Symposium B presented by the TANGER s.r.o.and CSNMT, Ostrava, May 16 - 18 2000. Published by TANGER Ostrava. pp 214/1-214/6. CD ROM, ISBN 80-85988-48-8.
- [3] FOREJT,M., JOPEK,M., BUCHAR,J. Plastic deformation at real compression rates. In *METAL FORMING 2000*. Proceedings of the 8thInternational Conference presented by the Hgf TU Krakow, Poland, 3-7 September 2000. Ed. Pietrzyk at al. Published by Balkema, Rotterdam, 2000. pp 729-732. ISBN 90 5809-157-0.
- [4] FOREJT,M., JOPEK,M. BUCHAR,J. Behaviour of BCC steels at hihg strain rates. (Chování tvářené oceli při vysokých rychlostech deformace). In *FORM 2000*. Proceedings of the 5thInternational conference presented by the TU Institut of Technology of Brno, September 19-20, 2000. Edited by Forejt Milan. Published by Brno University of Technology, Printed by PC-DIR,Co.Ltd, Brno 2000, pp. 101-106. ISBN 80-214-1661-0.
- [5] JOPEK,M. Měření rychlosti dopadu vzorku u Taylorova testu. Speed measurement by Taylor test. In *FORM 2000*. Proceedings of the 5thInternational conference presented by the TU Institut of Technology of Brno, September 19-20, 2000. Edited by Forejt Milan. Published by Brno University of Technology, Printed by PC-DIR,Co.Ltd, Brno 2000, pp. 95-100. ISBN 80-214-1661-0.
- [6] FOREJT,M., BUCHAR,J., JOPEK,M. High strain rates compresion loading of BCC steels. In *CO-MAT-TECH 2000*. Proceedings of the 8th International research conference, presented by the MTF STU Trnava, Slovakia, October 19-20, 2000. Volume 1. Edited by Milan Turňa. Published by STU Bratislava, 2000, pp. 45-50. ISBN 80-227-1413-5.
- [7] FOREJT,M., KREJČÍ,J., JOPEK,M., BUCHAR,J., PERNICA,Z.: Dynamic models of formed materials. *Acta Mechanica Slovaca*. 2002, Ročník 6. Číslo 2, pp. 21-26. ISSN 1335-2393

10. ZJIŠŤOVÁNÍ DYNAMICKÝCH MECHANICKÝCH VLASTNOSTÍ MATERIÁLŮ METODOU HOPKINSONOVA TESTU

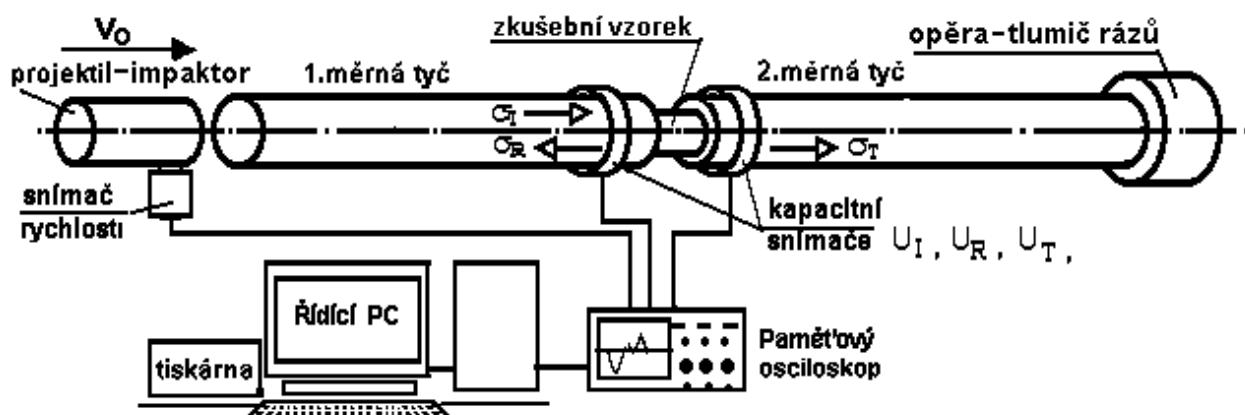
10.1 Úvod

Metoda Hopkinsonovy měrné dělené tyče -HMDT (Hopkinson Split Pressure Bar-HSPB) slouží pro zjišťování dynamických mechanických vlastností materiálů. Praktický význam Hopkinsonova testu spočívá v získávání údajů o tvářených materiálech za vyšších rychlostí deformace, které jsou potřebné do výpočtových modelů a pro simulační programy tvářecích dějů.

Pro střední rychlosti zatěžování se nejprve využívala experimentální zařízení ve tvaru různě upravených kladiv, padostrojů a jiných typů běžných zkušebních strojů [Mielnik, Gillis, Lindholm aj.). U těchto metod byla obtížná interpretace poskytnutých výsledků, což postupně vedlo k vývoji metod, vycházejících ze sledování šíření vln tyčemi kruhového průřezu. Pro vysoké rychlosti deformace je to např. metoda Hopkinsonovy měrné dělené tyče -HMDT

Základní uspořádání této metody prvně realizoval Kolsky, resp. Davis [150], později byly zpracovány i další varianty této zkoušky. Pro tahové namáhání je v současnosti používána Lindholmova úprava.

U vysokých rychlostí zatěžování, při kterých je metoda Hopkinsonovy měrné dělené tyče využívána, mají důležitý vliv setračné síly, šíření napěťové vlny, mechanické rezonance, (*u kvazistatických a středních rychlosťí nefigurují a proto se deformace neuvažují*).



Schematické uspořádání Hopkinsonova testu.

10.2. Laboratoř vysokých rychlostí deformace

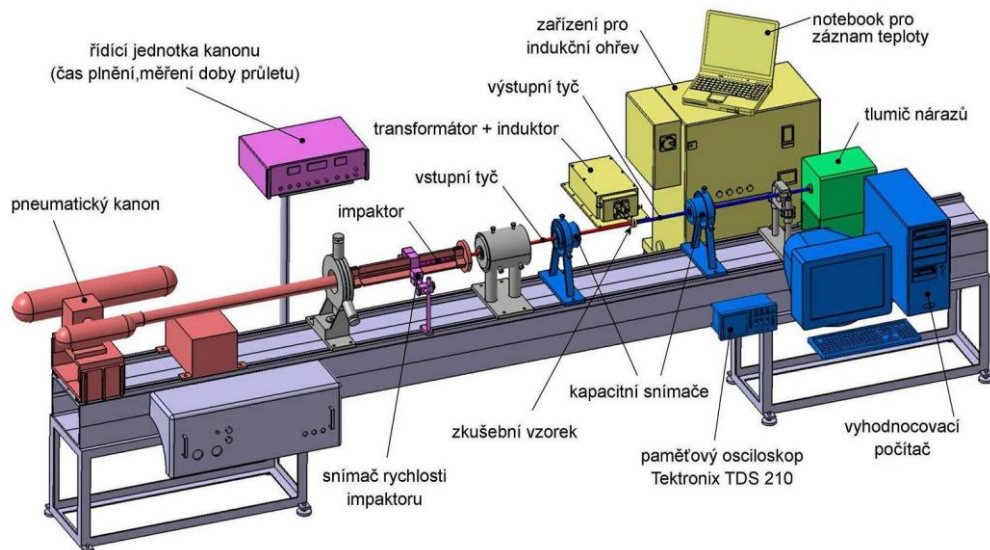
Zařízení HMDT bylo dříve využíváno a provozováno na Akademii věd ČR, Ústavu fyziky materiálu v Brně. Laboratoř vysokých rychlostí deformace - LVRD byla zřízena na Fakultě strojního inženýrství VUT v Brně při Ústavu strojírenské technologie, odboru technologie tváření v roce 1994 za podpory ÚFM AV České republiky. Experimentální pneumatické zařízení –kanón umožňuje provádět Hopkinsonův test-HT (Hopkinson pressure bar test- HPBT). Laboratoř VRD je na základě smlouvy využívána i Lesnickou dřevařskou fakultou -LDF Mendelovy zemědělské a lesnické univerzity-MZLU v Brně. Jde o ojedinělé, v Evropě unikátní zařízení.

Laboratoř je vybavena měřícím a vyhodnocovacím zařízením (tenzometrické, kapacitní snímače, bezkontaktní snímače teploty, digitální paměťové osciloskopy Tektronix 210 a HP54624A s řídicími počítači PCi III. generace s vyhodnocovacím software. Laboratoř je především využívána při řešení grantových projektů a výzkumných záměrů, dále ve výuce i při řešení současných problémů průmyslové a vojenské praxe. V rámci laboratoře byla úspěšně vyřešena a obhájena již 3 téma doktorandského studia.



10.3. Hopkinsonův test měrnou dělenou tyčí-HMDT

Měřící a elektronické součásti byly speciálně vyvinuty, vyrobeny a uzpůsobeny na konkrétní požadavky zařízení. Hlavní části zařízení jsou měrné tyče mezi nimiž je vložen, (uchycen) zkušební vzorek. Tyče jsou vyrobeny z vysokopevné oceli 13 240. Průměr obou tyčí je 15 mm, délka 800 mm. Razník-projektil je vyroben ze shodného materiálu jako měrné tyče a je akcelerován pomocí expandujícího vzduchu ze zásobníku. Aby došlo k plné přeměně kinetické energie razníku v potenciální energii, je čelo razníku zakulacené a dochází tedy k osovému bodovému nárazu na měrnou tyč.

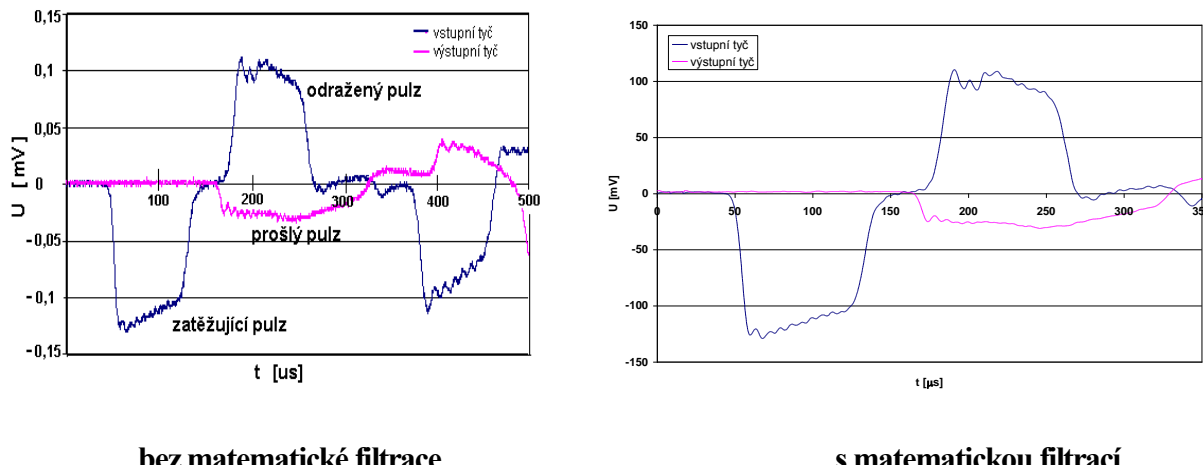


Tlak expandujícího vzduchu lze regulovat dobou komprese vzduchu v zásobníku- vzdušníku. Rychlosť nárazu razníku na měrnou tyč je vypočtena z rovnoměrného pohybu průletu mezi dvěma fotodiodyami vzdálenými 20 mm od sebe. Zařízení se skládá ze dvou elastických tlakových tyčí mezi nimiž je vložen zkušební vzorek. Typické je, že nárazová tyč je poháněna k dopadové tyči, kde vyvolá elastickou tlakovou vlnu (tlakový

napěťový pulz), která se generuje uvnitř dopadové tyče, šíří se týc rychlosí zvuku až na rozhraní týc-vzorek a časově závisí na deformaci. Tato deformace se měří pomocí snímačů (kapacitních nebo tenzometrických), které jsou umístěny na týcích. Na rozhraní dopadové tyče a zkušebního vzorku je část tlakové vlny odražena, část pohlcena do zkušebního vzorku a část tlakové vlny prochází (je přenesena) do opěrné výstupní tyče. Odražená vlna se šíří zpět dopadovou tyčí jako tahová a způsobí deformaci, která je opět zaznamenána snímačem. U tlakové vlny, která je pohlcena do zkušebního vzorku se změří tlaková deformace.

Změny napěťových pulsů (výchylek) jsou měřeny pomocí kapacitních radiálních snímačů-kondenzátorů. Kondenzátory mají tyto vstupní hodnoty: kapacita kondenzátoru v klidovém stavu 4,228 pF, napětí na kondenzátoru 70 V, parazitní kapacita 21,86 pF. Změny osového napětí z radiálních kondenzátorů jsou zaznamenány na samostatné kanály paměťového osciloskopu (v našem případě na osciloskop fy. TEKTRONIX). Na první kanál osciloskopu jsou zaznamenány data z prvého radiálního kondenzátoru, konkrétně zatěžovaného a odraženého napěťového pulsu, na druhý kanál je zaznamenán prošlý napěťový puls měřený na druhém radiálním kondenzátoru. Takto zaznamenané napěťové pulsy lze pomocí linky RS 232 přenést do počítače HP Brio, posléze vyhodnotit ve speciálním programu SCOPE.

Typické záznamy pulzů vyhodnocené pomocí programu Scope 5.5



bez matematické filtrace

s matematickou filtrací

Z průběhu a velikostí napěťových pulzů můžeme stanovit dynamické mechanické vlastnosti materiálu. Vyhodnocují se:

- deformace,
- rychlosti deformace a
- napětí ve vzorku.

10.4. Postup vyhodnocení měření

Vzorek testovaného materiálu má formu válečku o průměru d_o a délce l_o a je umístěn mezi dvě ocelové tyče kruhového průřezu. V důsledku interakce napěťového pulsu, který je iniciován na konci prvej tyče, s materiélem vzorku, dochází k přestupu napěťového pulsu $\sigma_T(t)$ k částečnému odrazu tohoto pulsu jako $\sigma_R(t)$. Úspěšná realizace dané metody je podmíněna správnou volbou materiálu tyčí, které musí být v průběhu šíření napěťového pulsu v elastickém stavu. Doba napěťového pulsu λ_l musí vyhovovat podmínce

$$\frac{d}{\lambda} = \frac{c_{el}}{2\pi}$$

kde $c_{el..}$ je rychlosí elastické vlny [m/s]

$d...$ je průměr tyče [mm]

Při průchodu **napěťového pulsu $\sigma_I(t)$** je u tvárných materiálů vzorek charakterizován konečnou poměrnou plastickou deformací ε_p :

$$\varepsilon_p = \frac{(l_o - l)}{l_o}$$

kde l_o je původní délka vzorku

l je délka po deformaci

Důležitá je identifikace těch parametrů funkcí σ_T , σ_R , σ_I , které mají přímý vztah k velikosti ε_p . Na základě akustických předpokladů o rychlosti vlny v poměru k rozměrům tyče ($\lambda > d_o/2$) lze vlnu považovat za jednorozměrnou a měření povrchové deformace tyče lze brát jako správný ukazatel osové deformace měrné tyče. To umožňuje zjištění průběhu axiální deformace ε_T , ε_R , ε_I použitím tenzometrů, resp. průběhu osového napětí $\sigma_T(t)$, $\sigma_R(t)$, $\sigma_I(t)$ použitím radiálních kondenzátorů. Řešení šíření vlny napětí je obecným předpokladem vyhodnocení experimentu.

Základní podmínky platnosti HMDT:

- a) vzorek i tyče jsou ve stavu jednoosé napjatosti
- b) napětí σ a deformace ε jsou homogenní podél osy vzorku.

Pro analýzu a vyhodnocování výsledků HMDT jsou nutné znalosti detekovaných průběhů osových napětí $\sigma_T(t)$, $\sigma_R(t)$, $\sigma_I(t)$ a délky zkušebního vzorku. Základní vztahy, vycházející z těchto předpokladů, mají podobu:

$$\dot{\varepsilon} = (1/z_b l_o) [(\sigma_I(t) - \sigma_T(t) - \sigma_R(t))],$$

$$\sigma(t) = \sigma_T(t) = \sigma_R(t) + \sigma_I(t) = 0,5[\sigma_I(t) + \sigma_R(t) + \sigma_T(t)]$$

kde $\dot{\varepsilon}$ je rychlosť deformace ve vzorku, $[s^{-1}]$

$\sigma(t)$ je osové napětí ve vzorku

z_b je měrná akustická impedance vzorku vypočte se: $z_b = \rho c_0$

Deformace ve vzorku ε se vypočte integrací rychlosti deformace na čase.

$$\varepsilon = \int_0^t \dot{\varepsilon}(t) dt$$

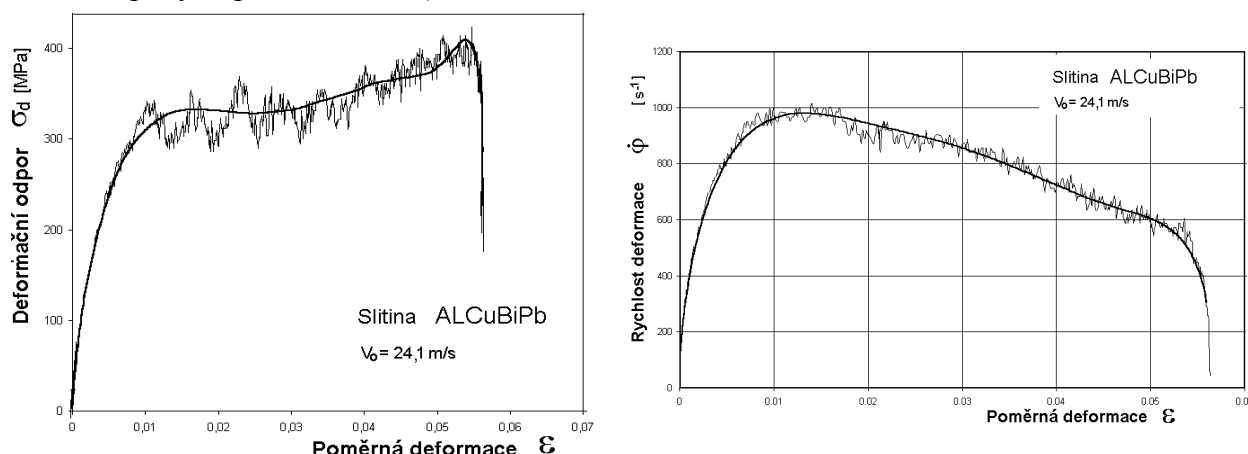
Poznámky k experimentu

V prvním kroku přípravy měření je nutné navrhnout geometrii zkušebních vzorků. Vzorky nemohou být většího průměru než měrné tyče z důvodu přenosu osového rázového napětí na vzorek. U takového experimentu by došlo ke kombinované, těžko definované deformaci a nesplnily by se základní podmínky platnosti zkoušky tj. vzorek i tyče jsou ve stavu jednoosé napjatosti. Napětí σ a deformace φ jsou homogenní podél osy vzorku což je důležité pro vyhodnocení experimentu.

Naopak vzorek nemůže mít malý průměr neboť by bylo obtížné zajistit centrování vzorku mezi měrnými tyčemi. Mohlo by tak dojít k asymetrické deformaci vzorku, což by opět nesplňovalo podmínky platnosti zkoušky. Délka vzorku byla zvolena 5,2 mm. Délka byla zvolena s ohledem na možnosti zařízení. Délka nemůže být příliš velkých rozměrů z několika důvodů. Prvním je možnost nerovnoměrné deformace vzorku při rázovém zatížení. Druhým důvodem je možnost nevýrazného záznamu nebo v krajním případě pohlcení přechodového napětí druhé měrné tyče deformací vzorku. **Ideální se tedy jeví poměr L/D = 0,5.** K získání dostatečné deformace vzorku vyvolané rázem a k získání potřebné rychlosti deformace se jeví optimální rozměry L = 5 mm a D = 10 mm.

Druhým podstatným faktorem měření je tření na rozhraní čel tyče a vzorku. Při rychlosti deformace v rozmezí **1000 až 5000 s⁻¹** se log. deformace ve vzorku pohybuje v rozmezí **0,005-0,04**. Prakticky to znamená, že vzorek se zkrátí v rozmezí 0,1 až 0,4 mm. Takovéto zkrácení se fakticky neprojevilo na zjevné změně průměru vzorku. Proto se lze domnívat, že vzhledem k rychlosti děje a deformacím je **součinitel tření mezi rozhraním čel tyče a vzorku roven hydrodynamickým hodnotám**. I z předchozích výzkumů případně výzkumných pracích renomovaných laboratoří vysokých rychlostí deformace bylo taktéž zjištěno, že součinitel tření je možné považovat za velmi nízký, zdánlivě téměř nulový.

Pro potvrzení nebo vyvrácení by bylo nutné provést zkoušky na zařízeních, u kterých je možné zkoušet vzorky až o několik řádů větších rozměrů při dosažení vyšších deformací jako např. v laboratoři European Commission, Joint Research Centre, Institute for the Protection and Security of the Citizen v Isprě v Itálii. Přenos a hlavně porovnání výsledků z těchto případných testů by bylo komplikované přenést a následně porovnat z dosavadními výsledky měření, neboť zkoušený materiál by musel být totožný svým chemickým složením, tepelným zpracováním, atd.).



První obrázek zobrazuje výslednou závislosti napětí ve vzorku na log. deformaci získanou po přepočtu rázového, odraženého a přechodového napěťového pulsu. Z tohoto obrázku jsou patrné značné disperze, které jsou častým doprovodným jevem při dynamických záznamech. Další obrázek zaznamenívá průběh rychlosti deformace během přetvoření vzorku při rázu na čelo tyče-kovadlinu.

Hlavní výhodou Hopkinsonova testu je tedy přímé vyhodnocení potřebných závislostí: napětí – deformace a rychlosť deformace – deformace.

Studijní literatura

- [1] PERNICA,Z., JOPEK,M., FOREJT,M. Zkoušení materiálu pomocí Hopkinsonova testu. In *JUNIORMAT'01*. Sborník mezinárodní konference vydán ČSNMT a ÚMI FSI VUT Brno, 19-20. září 2001. Vydání 1. Tiskárna Cicero Ostrava, s.127-128. ISBN 80 214-1885-0.
- [2] KRÁSNY,D., PERNICA,Z.: Determination of dynamic mechanical properties of material by using Hopkinson test. In JUNIOR-EUROMAT 2002 in Lausanne. *Proceedings of the Junior-Euromat Conference*. 1st ed. Lausanne, Federation of European Materials Societies. September 2-5, 2002. Volume 1. p 2
- [3] KRÁSNY,D., PERNICA,Z., . Vliv rozměru vzorku na průběh odezvových funkcí u metody Hopkinsonovy měrné dělené tyče. (The influence of the specimen dimension over the process of the response functions by using the Hopkinson pressure bar test). *Proceedings of the 8th International Conference TECHNOLOGY 2003*. Slovak University of Technology in Bratislava. 1st ed. September 9-10. 2003. Vol.1. p 127-1 -127-4. ISBN 80-227-1935-8